



KR0101279

KAERI/TR-1756/2001

순환우라늄 핵연료다발의
ASSERT-PV V2R8M1 코드 입력자료 모형

2001. 2

한국원자력연구소

제출문

한국원자력연구소장 귀하

본 보고서를 “중수로용 순환우라늄 핵연료기술개발” 과제 수행 중 수행된 기술보고서로 제출합니다.

제목 : 순환우라늄 핵연료다발의 ASSERT-PV V2R8M1 코드 입력자료
모형

2001년 2월

주저자 : 박주환 (핵연료설계기술 개발팀)
공저자 : 석호천 (핵연료설계기술 개발팀)

순환우라늄 핵연료다발의
ASSERT-PV V2R8M1 코드 입력자료 모형

작성자 : 박주환, 석호천

2001년 2월

한국원자력연구소

목 차

요약

ABSTRACT

1. 서론

2. 계산 모형

2.1 물성치 계산

2.2 기하학적 구조

2.3 열유속 분포

2.3.1 반경방향 출력 분포

2.3.2 축방향 열유속 분포

2.3.3 각 부수로로의 출력분률

2.4 과냉각 기포률 모형

2.5 기포률 계산 모형

2.6 2상류 증배계수 모형

2.7 가열 벽면 점성계수 수정 모형

2.8 층류 압력손실계수 모형

2.9 압력손실계수

2.9.1 마찰손실계수

2.9.2 부착물 및 다발이음매 형상손실계수

2.10 입구 및 출구 유동 조건 자료

2.11 축방향 절점수

2.12 횡류운동량 방정식 관련 입력자료

2.13 계산 결과의 수렴관련 자료

3. 계산 결과 및 검토

4. 결론

참고문헌

APPENDIX I : Sample Input Data for ASSERT code

APPENDIX II : Sample Output for ASSERT code

표 목차

- Table 1. Properties of Heavy Water (from HLWP Package in ASSERT code)
- Table 2. Geometry of RUFIC Bundle Calculated by CANGEON Code
- Table 3. Relative Axial Locations and Loss Coefficients of Each Appendage and Junction of RUFIC Bundle
- Table 4. Ring Power Ratio of a RUFIC Bundle
- Table 5. Rod Power Fraction in a Subchannel

그림 목차

- Figure 1. Subchannel and Rod Number of RUFIC Bundle for ASSERT Calculation
- Figure 2. Subchannel Flow Area Distribution
- Figure 3. Subchannel Relative Pressure Distribution
- Figure 4. Subchannel Liquid Temperature and Mixture Density Distribution
- Figure 5. Subchannel Non-equilibrium and Thermodynamic Quality Distribution
- Figure 6. Subchannel Void Fraction and Flow Enthalpy Distribution
- Figure 7. Subchannel Flow Rate and Mass Flux Distribution
- Figure 8. Subchannel Velocity Distribution
- Figure 9. Bundle Averaged Flow Rate and Mass Flux
- Figure 10. Axial Relative Pressure Distribution
- Figure 11. Axial Liquid and Vapor Temperature Distribution
- Figure 12. Axial Enthalpy and Void Fraction Distribution
- Figure 13. Axial Flow Non-Equilibrium and Equilibrium Quality Distribution
- Figure 14. Axial Bundle Averaged Velocity Distribution
- Figure 15. Axial Heat Flux and MCHFR Distribution
- Figure 16. Axial Crossflow Distribution in Subchannel Number 2
- Figure 17. Axial Crossflow Distribution in Subchannel Number 3
- Figure 18. Axial Crossflow Distribution in Subchannel Number 4 and 48
- Figure 19. Axial Crossflow Distribution in Subchannel Number 1 and 5

요 약

본 보고서는 ASSERT-PV V2R8M1 코드를 이용하여 CANDU 용 개량핵연료다발의 하나로 개발되고 있는 CANFLEX-RU (RUFIC) 핵연료다발의 부수로 해석을 수행할 경우 그 적용성 검토 및 해석을 위해 필요한 입력자료 모형 개발 보고서로 작성되었다. 본 ASSERT는 KAERI/AECL의 JRDC 협정에 의해 캐나다 AECL로부터 binary file 형태로 입수되었다.

ASSERT 코드는 COBRA-IVi 코드와는 달리 CANDU-6 용 핵연료다발의 부수로 방법에 의한 열수력 해석을 위해 개발되었으며, 43개 핵연료봉을 갖는 CANDU 다발에 적용될 수 있도록 수정되었다. 따라서, ASSERT 코드를 RUFIC 핵연료 채널에 적용하는데 있어서 문제가 없으며, 이에 따라 ASSERT 코드를 순환우라늄 핵연료다발 적용시 요구되는 RUFIC 핵연료의 ASSERT 입력자료 모형을 제시하였다. 또한, ASSERT는 입력자료를 준비할 경우 사용자가 원하는 바에 따라 자신의 모형식을 이용할 수 있도록 되어 있으므로 사용자의 사용 방법에 따라 결과가 상이할 수 있다. 따라서, 본 보고서를 작성하므로써 입력자료의 근거와 사용의 정확성 및 계산 결과에 대한 신뢰성을 얻고자 함이었다.

ABSTRACT

This report describes the input modelling for subchannel analysis of CANFLEX-RU (RUFIC) fuel bundle which has been developed for an advanced fuel bundle of CANDU-6 reactor, using ASSERT-PV V2R8M1 code. Execution file of ASSERT-PV V2R8M1 code was recently transferred from AECL under JRDC agreement between KAERI and AECL.

ASSERT-PV V2R8M1 which is quite different from COBRA-IV-i code has been developed for thermalhydraulic analysis of CANDU-6 fuel channel by subchannel analysis method and updated so that 43-element CANDU fuel geometry can be applied. Hence, ASSERT code can be applied to the subchannel analysis of RUFIC fuel bundle. The present report was prepared for ASSERT input modelling of RUFIC fuel bundle. Since the ASSERT results highly depend on user's input modelling, the calculation results may be quite different among the user's input models. The objective of the present report is the preparation of detail description of the background information for input data and gives credibility of the calculation results.

1. 서론

본 보고서는 ASSERT-PV V2R8M1 코드[1]를 CANDU 용 순환우라늄 핵연료다발(CANFLEX-RU 혹은 RUFIC 다발)에 적용하는 경우 요구되는 입력자료 모형을 제시하였다. ASSERT 코드는 COBRA-IV-i[2]를 근간으로 하여 1980년대 초부터 캐나다의 AECL에서 CANDU 원자로와 같이 수평 채널내 다발이 장전된 경우의 단상 및 이상류 유동 및 열전달을 해석하기 위해 개발해 왔다. ASSERT 코드는 COBRA 코드와 근본적으로 다른 측면은 먼저, 유동장내에 열적으로 비평형 상태의 축방향 및 횡방향 상대속도(drift flux)를 계산할 수 있도록 하였다. 이에 따라, 열적으로 평형상태에 있는 균일 모형에서 (equal-velocity/equal-temperature) 개량된 drift-flux 모형(unequal-velocity/unequal-temperature)을 이용할 수 있도록 함으로써 평형 및 비평형 상태의 액체 및 기체상에 대한 열전달을 해석할 수 있도록 하였다. 또한, ASSERT 코드는 정상운전 조건에 대한 모사 뿐만 아니라 LORC(Loss of Regulation Condition) 경우와, 드라이아웃이 발생하는 테까지 유동장을 모사할 수 있도록 되어 있다. 최근에 ASSERT-PV V2R8M1으로 개선되면서 부수로간의 기하학적 연결 방법에 대한 수정을 함으로써 43-핵연료다발 (CANFLEX) 모사가 가능하도록 하였으며, 43-핵연료다발에 대한 해석을 위한 입력 및 출력 자료 증가를 수용할 수 있도록 하였다.

본 보고서는 이러한 ASSERT-PV 코드를 순환우라늄에 적용할 경우 요구되는 기하학적 입력자료 뿐만 아니라, 축 및 반경방향 출력분포, 입력손실계수 자료 등에 대한 입력 모형 보고서로 작성되었다. ASSERT 코드는 입력자료를 준비할 경우 사용자가 원하는 모형식을 이용할 수 있도록 되어 있으므로 사용자의 사용 모형에 따라 결과가 상이할 수 있다. 다음 항에서는 ASSERT 코드에서 필요로 하는 RUFIC 핵연료다발과 관련된 입력자료의 계산 방법 및 결과, 그리고 이용된 모형에 대해 기술하였다. 기술된 내용의 순서는 코드 입력자료의 순서에 따르도록 하였다.

본 계산을 위해 선택된 계산대상 채널은 베텐이 부착된 순환우라늄 핵연료다발 장전 CANDU 채널이었으며, 냉각유체는 중수를 고려하였다. 생산된 입력자료는 Appendix I에 첨부하였으며, 그 계산결과는 Appendix II에 첨부하였다.

2. 계산 모형

2.1 물성치 계산

필요한 열역학적 및 전달물성치 자료들은 포화상태에서의 값으로 주어진다. ASSERT 코드는 "NPACK" property routine (HLWP property package)이 포함되어 있으므로 이를 이용할 수 있으나 입력으로 물성치를 넣어줄 수도 있다. 포화물성치 입력시 코드에서 요구되는 물성치들은 압력(MPa), 온도 ($^{\circ}\text{C}$), 액체 비체적(m^3/kg), 기체 비체적(m^3/kg), 액체 엔탈피(kJ/kg), 기체 엔탈피(kJ/kg), 액체 점성계수(kg/ms), 액체 열전도도(W/m'K) 및 표면장력(N/m) 등이다. 본 계산 시에는 HLWP를 이용하였다.(group 1, N4=1), 이 경우 물성치를 입력자료로 넣어주는 것보다 계산시간은 길어지게 된다. 또한, 축방향 각 절점에서의 물성치를 계산할 때 계통압력을 이용하여 계산하거나, 국소 압력을 이용하여 계산 할 수 있으며, 본 모형에서는 국소압력을 이용하여 계산하였다. (group 1, N5=0)

2.2 열전달 및 압력손실계수 모형

부수로내에서의 열전달 계산시 액체 및 기체에 대해 열적 평형 상태를 고려하는 경우와 비평형 상태를 고려할 수 있는데 본 모형에서는 액상에 대해서는 비평형을 (group 2, N1=1), 기상에 대해서는 열적 평형 상태를(group 2, N2=0) 고려하였다.

2.2.1 단상류 압력손실계수 모형

마찰 압력손실계수로는 층류 및 난류에 대한 마찰손실계수가 주어지도록 되어 있다. (group 2.0) 층류 유동에 대한 압력손실계수 모형으로 사용자가 기본 Reynolds 수의 함수 형태에 계수를 입력으로 넣어 주도록 되어 있다. 본 계산에서는 다음 식의 계수를 이용하였다. (group 2, N5=1)

$$f = aRe^b + c$$

여기서, a는 64, b는 -1 그리고 c는 0 이다.

그리고, 부수로에서의 난류유동시의 마찰손실계수를 계산하여야 하며, 이를 위해 난류의 경우에 대해서는 Colebrook-White의 implicit 모형을 고려하였다.(group 2, N2=2)

2.2.2 이상류 마찰 압력손실증배계수 모형

ASSERT-PV 코드에는 이상류 마찰 압력손실 증배계수 모형으로 8가지 중 한가지를 선택할 수 있으며, RUFIC 핵연료에 대한 모형에는 CANDU 핵연료다발 형상에 대해 가장

많이 사용되는 Friedel 상관식을 선택하였으며[3], 본 상관식은 다음과 같다. (group 2, No 3=6)

$$\phi_{LO}^2 = A + \frac{3.21X^{0.78}(1-X)^{0.224} \left(\frac{\rho_f}{\rho_g}\right)^{0.91} \left(\frac{\mu_g}{\mu_f}\right)^{0.19} \left(1 - \frac{\mu_g}{\mu_f}\right)^{0.7}}{Fr_{TP}^{0.0454} We_{TP}^{0.035}}$$

여기서,

$$A = (1-X)^2 + X^2 \left(\frac{\rho_f f_g}{\rho_g f_f}\right)$$

$$Fr_{TF} = \frac{G^2}{\rho_{TP}^2 g D}$$

$$We_{TP} = \frac{G^2 D}{\rho_{TP} \sigma}$$

$$\rho_{TP} = \left[\frac{X}{\rho_g} + \frac{(1-X)}{\rho_f} \right]^{-1}$$

X : quality

Fr : Froud number

We : Weber number

G : Mass flux

D : diameter

2.2.3 마찰손실계수의 가열 벽면 영향

핵연료 채널에는 열유속이 있는 고체 벽면이 있는 지점(예:핵연료봉 표면)과 없는 지점(예: 압력관)이 존재하는데 가열벽면에 대한 수정계수를 이용할 수 있다. ASSERT-PV 코드에서는 Tong's model[4]을 이용하도록 되어 있으며, 그 상관식은 다음과 같다.

$$\frac{f}{f_o} = 1 + \frac{P_h}{P_w} \left[\left(\frac{\mu_w}{\mu_b} \right)^{0.6} - 1 \right]$$

여기서 P_h 및 P_w 는 각각 핵연료채널의 가열길이 및 유체와의 접수길이를 나타낸다. μ_b 는 유체의 체적온도(bulk temperature)에서의 점성계수이며, μ_w 는 다음 식으로 계산된 고체 벽면 유체온도에서의 유체의 점성계수이다.

$$T_w = T_b + \frac{q'}{P_h \cdot h}$$

여기서 열전달계수 h 는 Dittus-Boelter 상관식을 사용한다.

그룹 3을 위한 용도별 표지판. (group 3)

2.3. 韓國語 読音表

(2, N10 = 0)

2.2.7. 01가운드 헬스 퍼포먼스 훈련기준 수립

于2001年5月1日实行.

2.2.6 等效電阻的串聯

의 음악을 듣기로부터. (group 2, $N_7 = 1$)

부수증 00-11-01 | 휴대폰 번호: 010-1234-5678 | 주소: 서울특별시 강남구 테헤란로 123 | 웹사이트: www.koreatech.com

2.2.5. 흐리게 만드는 공통 속성 및 예제

$$\frac{hd}{K} = 0.023 \left(\frac{GD}{C_{p\mu}} \right)^{0.8} \left(\frac{\mu}{K} \right)^{0.4}$$

(group 2, N6 = 0)

한국현대문학전집은 1990년부터 2000년까지 출판된 100권의 저작을 수록하는 대한민국 문학사에 기여한 저작집이다.

2.2.4 組織管理子系統

N4=1)

한국 전통 음악의 특징은 다음과 같다.

핵연료다발의 부수로별 기하학적구조에 대해서는 group 4에서 처리하며, 부수로 형태, 유동 면적, 접수길이, 가열길이, 인접수로 번호, 인접부수로 사이의 간격, 부수로 무게중심간 거리, 부수로간 무게중심간 가상 연결선의 각도(수직일 경우 0) 등에 대한 자료가 요구된다. 특히, 무게중심간 거리와 가상연결선의 각도는 지배방정식을 푸는데 중요한 자료가 되므로 이에 대한 정확한 계산 입력자료가 요구된다.

본 계산 대상 핵연료다발은 RUFIC 핵연료다발이었으며, 원자로에 장전된 상태를 모사하게 되므로 다발 중심과 압력관 중심이 일치되지 않고 편심이 발생한다. 따라서, 최소 대칭단면은 180도 대칭 단면이 되지만 전체 부수로를 모사하였다. Figure 1에 RUFIC 핵연료다발의 단면과 각 부수로들의 형상 및 번호를 나타내었다. Figure 1에서의 각 부수로의 면적, 부수로 면적 중심(Centroid), 봉간 간격 및 부수로간에 이루어지는 각도(offset angle)에 대해 CANGEON 프로그램[6]을 이용하여 계산하였으며, 부수로간 이루어지는 가상선의 각도는 수직선을 0도로 하여 계산하였다. 또한 핵연료다발의 중심이 압력관 중심에서 아래쪽으로 편심되며, 그 편심은 압력관의 크립 발생률에 따라 달라지고 0 % 크립의 경우 편심은 0.65 mm (압력관 직경 : 103.38 mm), 3.1 % 크립의 경우 편심은 2.275 mm (압력관 직경 : 106.63 mm), 5.1 % 크립의 경우 편심은 3.275 mm (압력관 직경 : 108.67 mm)이다. 12개 다발이 장전된 한 개 채널의 총 길이는 5.9436 m (card group 9.3의 Z변수)이었다. 또한 유동 방향은 수평 유동으로 THETA 값은 0.0 (수직유동인 경우 : 0, card group 9.3의 THETA 변수)이었다. CANGEON 프로그램을 이용해 각 node 번호에 대해 계산된 기하학적인 자료를 Table 2에 요약하였다.

2.5 축방향 각 지점에서의 부수로 유동면적

ASSERT 코드는 해석시 필요한 경우 축방향 임의의 지점에 대해 부수로 면적이 바뀌어지는 것을 모사할 수 있다. 이를 위해서는 부수로 면적이 바뀌는 지점의 축방향 위치(입구에서의 출구까지 거리에 대한 상대 위치)와 면적 변화가 발생하는 부수로의 개수(group 5, N1) 및 축방향 지점의 개수(group 5, N2)가 요구된다. 그리고, 부수로 면적의 변화에 대한 입력은 공칭 부수로 면적에 대한 비 ($AFACT = A_i/A_{nominal}$)로 나타낸다. 본 모형에서는 부수로 면적이 일정한 것으로 고려하였다. (group 5 입력 선택하지 않음)

2.6 부착물 및 다발 이음매 형상손실계수

RUFIC 핵연료다발의 외형은 CANFLEX 다발과 동일하며 부착물의 위치 및 형상도 동일하다. 이들 부착물 지점에서의 압력손실계수 (일명 : 형상손실계수)는 참고문헌 [7]에 제

시된 손실계수를 이용하였고, 각 부품별로 채널 전체길이에 대한 입구에서의 축방향 상대적 위치 및 손실계수는 Table 3에 요약하였다. 여기서, 채널 입구 및 출구부분에서의 손실계수는 다발 이음매(junction)에서의 손실계수와 동일한 값을 이용하였으며, 각 부수로별로 동일한 압력손실계수를 이용하였다. (group 7 입력자료)

2.7 핵연료봉 출력 분률 및 임계열유속

핵연료봉의 기하학적 자료에 대해서는 핵연료봉의 형상, 봉 번호, 직경, 봉의 반경방향 출력비, 임의의 봉 주변 봉번호, 임의의 봉에서 주변 부수로로의 출력분률 등이 요구된다. 그리고, 핵연료봉의 온도 계산이 요구되는 경우 핵연료 피복관 및 핵연료심에 대한 물성치가 필요하며, 본 모형에서는 고려하지 않았다. (group 8, N3 = 0)

2.7.1 반경방향 출력 분포

RUFIC 핵연료다발에 대한 반경방향 출력 분포는 핵적 계산으로부터 얻어지며, 연소도가 달라짐에 따라 분포가 달라진다. 본 모형에서는 RUFIC 핵연료다발의 반경방향 열유속 분포가 가장 급격한 초기 연소도에 대한 값을 이용하였고[5], Table 4와 같다.

2.7.2 각 부수로의 출력분률

각 부수로로 전달되는 출력은 그 부수로에 속해 있는 핵연료봉으로부터 출력값의 총합이 되므로 이에 대한 출력분률이 필요하며, 이 값은 부수로내에 점유되고 있는 핵연료봉 면적(각도)에 비례한다. 이에 대한 결과를 Table 5에 요약하였다.

2.7.3 CHF 상관식

부수로 해석에서는 임계열유속 평가시 각 부수로에 대해 계산을 수행하므로 부수로 형상을 등가 수력직경으로 가정한 원형관에 대한 임계열유속 상관식의 적용이 가능하다. 지금까지의 수많은 임계열유속 상관식들 중 table lookup method[8]가 가장 잘 예측하는 것으로 알려져 있으며, AEESRT-PV 코드에서는 group 8.0의 N4 option 카드에 제시된 11가지의 모형식들 중 table lookup method를 선택하였다. 임계열유속 계산시 필요한 경우 임계열 유속 수정계수를 이용할 수 있으며 (group 8의 N11 = 1 인 경우), 임계열유속 수정계수들로는 다음과 같다.

- 직경에 대한 수정계수 (group 8.2, NCK1)
- 봉 간간격에 대한 수정계수 (group 8.2, NCK2)

- 수평유동에 대한 수정계수 : 유동성충화 고려시 (group 8.2, NCK3)
- 임계열유속 향상 수정계수 : 이 모형을 이용하는 경우 group 7.2의 부품에 대한 손실계수 및 임계열유속 향상계수에 대한 자료가 요구됨 (group 8.2, NCK 4)
- BLA 방법 적용시의 임계열유속 수정계수 (group 8.2, NCK 5)

본 모형에서는 임계열유속 수정계수를 이용하지 않았다. (group 8의 N11 = 0)

2.8 계산 제어자료 및 축방향 절점수

2.8.1 출력 제어 자료

계산 결과 제어 자료로 출력자료를 제어하는 부분에서는 시간 구간 및 축방향 모든 자료를 출력하는 방법과 축방향 매 N1 절점 및 시간구간 N2에서의 자료를 출력하는 경우가 있다. (group 9의 N1 및 N2 선택).

2.8.2 축방향 절점 자료

계산하고자 하는 축방향 절점에 대해서는 축방향 균일 절점수를 이용하는 경우와 비균일 절점수를 이용하는 경우가 있으며, 본 모형에서는 균일 절점수를 이용하였다. (group 9, N6 = 0)

2.8.3 축방향 출력 분포의 수정인자

축방향 출력에 대한 자료는 group 3의 축방향 열속 분포에서 정해지며, 여기서는 임의의 축방향 위치에서의 출력급등과 같이 축방향 출력이 바뀔 경우 이에 대해 축방향 각 절점에서의 출력분포를 수정할 수가 있으며, 각 절점에서의 수정인자를 입력할 수 있다. 이 경우에는 group 9.6 항에 대한 자료를 입력해야 한다. 본 모형에서는 전술한 2.3 항의 축방향 열속 분포를 이용하였다.(group 9, N7 = 0)

2.8.4 축 및 횡방향 운동량 방정식의 관성항 고려

축방향 운동량 방정식의 관성항을 고려하게 되며, 이 경우 group 9의 N8=1로 두게 되며, 횡방향 관성항을 고려하는 경우 N9 = 1로 둔다.

2.8.5 과도 상태 계산

과도 상태시의 계산이 가능하며 이 경우 group 9.2의 과도상태 시간 구간을 입력한다. 본 모형에서는 정상상태만 고려하였다.

2.8.6 그밖의 기하학적 자료 및 계수

핵연료 채널의 총 길이(Z)는 설계치인 594.36 cm로 두었으며, 축방향 절점수는 150개, 핵연료 채널 설치 각도는 90도로 CANDU 원자로의 수평 채널로 고려하였다. 횡방향 유동에 의한 손실계수는 default 값인 0.5로 두었으며, 횡방향 운동량 relaxation parameter은 default 값인 1.0 (no relaxation)으로, 축방향 운동량 relaxation parameter은 default 값인 1.0 (no relaxation)으로, 밀도 relaxation parameter는 default 값인 1.0 (no relaxation), 엔탈피 relaxation parameter은 default 값인 1.0 (no relaxation)으로 두었다.

2.9 열 및 기포 혼합에 대한 자료

열 및 기포 혼합에 대한 상관식을 이용할 수 있으나 본 모형에서는 이를 모형을 고려하지 않았다.

2.9.1 열혼합 상관식

열 혼합에 대한 모형은 두가지를 선택할 수 있으며, power-law 상관식과 Rogers-Rosehart 상관식을 이용할 수 있다. 매끄러운 핵연료다발에 일반적으로 많이 적용되는 식으로 Rogers-Rosehart 모형을 이용할 수 있다. (group 10 N1 = 1).

2.9.2 기포 확산 계수

기포 확산계수 모형은 ASSERT-PV에서는 power-law 상관식이 주로 이용된다. (group 10 N2 = 1).

2.10 운전자료

입구 및 출구 유동조건 자료로 입구압력, 입구온도 및 입구질량유속 및 평균열유속이 필요하며, 본 계산에서 적용한 경우는 CANDU 원자로의 설계치 값을 이용하였으며, 다음과 같다.

출구 압력	: 10.0 MPa
입구 온도	: 256.0 °C
입구 질량유속	: 5.5350 kg/m's
평균 열유속	: 1.02838 MW/m'

2.11 수렴관련 자료

본 해석에 이용된 정상상태 혹은 과도상태시의 해를 구하기 위한 계산시 수렴과 관련된 인자들에 대한 입력자료는 ASSERT 코드의 default 값을 대부분 이용하였으며, 다음과 같다.

- 에너지 방정식의 해를 위한 최대 반복회수 (IELIMT) : 10
- 내부 반복계산을 위한 최대 반복회수 (MAXINR) : 20
- 외부 반복계산을 위한 최대 반복회수 (NTRIES) : 20
- 압력 재 평형을 위한 내부 반복회수 (IREBAL) : 매 4번
- 엔탈피의 최대 상대 오차 (HERROR) : 10-8
- 유량 계산에 대한 허용오차 (EERROR) : 10-4
- 질량보존 방정식의 residual 상대 오차 (MERROR) : 10-5
- 횡방향 운동량 방정식의 residual 상대오차 (TERROR) : 10-5
- 축방향 운동량 방정식의 residual 상대오차 (AXEROR) : 10-5
- 횡류량 저항인자(KIJ) : 0.5
- 횡방향 운동량 방정식의 relaxation 인자 (WRELAX) : 1.0 (no relaxation)
- 축방향 운동량 방정식의 relaxation 인자 (FRELAX) : 1.0 (no relaxation)
- 밀도 relaxation 인자 (RRELAX) : 1.0 (no relaxation)
- 엔탈피 relaxation 인자 (HRELAX) : 1.0 (no relaxation)

3. 계산 결과 및 검토

전술한 입력자료 모형들을 이용하여 베텐이 부착된 CANFLEX 다발에 대해 입력자료를 생산하였으며, Appendix I에 첨부하였다. 계산대상 핵연료 채널의 부수로로 나누어진 형상은 Figure 1과 같다. CANDU 원자로의 경우 핵연료다발이 수평으로 장전되므로 핵연료다발 중심과 압력관 중심 사이의 편심때문에 180 대칭이 최소 대칭구조로 되지만 본 계산에서는 전 부수로에 대해 계산을 수행하였다. 이때 CANFLEX 다발의 전체 부수로 개수는 70개가 되며, 전체 핵연료봉 개수는 43개가 된다.

Appendix I의 입력자료를 이용하여 계산된 결과를 Appendix II에 수록하였다. ASSERT 코드의 출력 자료는 크게 네가지 부분으로 나누어진다. 첫째 입력자료의 출력부분, 둘째 핵연료다발 평균 유동변수들의 계산결과, 셋째 각 부수로에 대한 유동변수들에 대한 계산결과, 임계열유속에 대한 결과 등이다. ASSERT 코드에 의해 계산된 각각의 유동변수 결과들을 Figure 2에서 Figure 19에 나타내었다.

Figure 2에 각 부수로별 유동면적을 나타내었다. 중심부수로 1번에서 7번까지는 모두 삼각부수로이었으며, 내부부수로 8번에서 21번까지는 사각부수로 및 삼각부수로가 교대로 배치되고, 중간부수로는 22번에서 49번까지로 사각부수로후 세 개의 삼각부수로가 교대로 배열된다. 외곽부수로는 50번에서 70번까지 벽면부수로로 배열된다. 부수로 유동 면적이 가장 적은 부수로는 내부부수로의 삼각부수로이며, 외곽부수로의 가장 하부부수로의 경우도 유동 면적이 낮은 지역이었다.

Figure 3에는 Figure 1의 부수로 1번 압력을 기준으로 했을 때 각 부수로별 상대 압력분포를 나타내었다. RUFIC 핵연료다발 중심을 기준으로 상부 부수로가 하부 부수로 보다 상대 압력이 높은 것으로 나타났으며, 중심부수로(부수로 1번에서 7번까지)의 경우 부수로 1번과 7번보다 아래쪽에 위치한 부수로 2번에서 4번으로 아래로 내려갈수록 압력이 높으며, 다시 부수로 4번에서 7번으로 올라갈수록 압력이 낮아졌다. 이러한 경향은 내부부수로(부수로 8번에서 21번까지)에서도 같은 경향으로 나타났으며, 중간부수로(부수로 22번에서 49번까지) 및 외곽부수로(부수로 50번에서 70번까지)의 경우에도 동일한 경향으로 나타났다.

Figure 4에는 냉각재의 온도와 액체 및 기체 혼합밀도를 채널출구 지점에서의 부수로별로 나타내었다. 전체 부수로 냉각재 평균 온도는 313 °C이며, 외곽부수로를 제외한 대부분 부수로들은 냉각재 평균온도보다 조금씩 높았으나 외곽부수로는 평균온도보다 상당히 낮았으며, 특히, 외곽 상부부수로의 경우에 냉각재 온도가 평균온도보다 약 3 ~ 4 °C 까지 낮았다. 냉각재 혼합밀도는 352 kg/m³이며, 중심 부수로 및 하부부수로들의 밀도가 낮았으며, 중

력의 방향과는 반대로 나타났다. 이는 압력관내에 위치한 핵연료다발의 중력에 의한 편심 때문에 외곽 하부부수로들의 유동면적이 상부쪽보다 상당히 작아 하부부수로들의 유량이 상부부수로의 유량보다 적어지며 이로 인해 다발 중심선에서 하부쪽으로의 부수로들에서 밀도가 낮아진 것으로 판단된다.

Figure 5에는 채널 출구에서의 부수로별 유동 비평형 견도 및 질량평형 견도(열역학적 견도)를 나타내었다. 출구 견도는 하부 부수로에서 가장 높은 것으로 나타났으며, 상부 부수로로 갈수록 낮아졌다. 최고견도 부수로 번호는 13, 14, 15 및 35번 부수로이었다. 이는 이들 부수로의 혼합밀도, 상대 압력이 낮았기 때문이며, 외곽부수로의 상부부수로 견도가 가장 낮은 이유는 외곽 상부부수로들의 유동 면적이 크기 때문이다.

Figure 6에는 채널출구에서 부수로별 기포율과 유동 엔탈피를 나타내었다. 기포율이 높은 경우 엔탈피도 높고, 최고 높은 기포율 혹은 엔탈피를 갖는 부수로는 13, 14, 15 및 35번 부수로이었으며, Figure 5의 견도와 같은 경향을 나타내었다.

Figure 7에는 질량유량 및 질량유속을 나타내었다. 유량이 높은 부수로가 질량유속이 높았다. 최소유량 부수로는 내부부수로 13번 및 15번이었으며, 최소 질량유속 부수로는 외곽부수로 60번이었다. 최고 질량유량 및 질량유속 부수로는 외곽부수로 50번 및 70번이었다.

Figure 8에는 각 부수로 유속을 나타내었다. 유속이 가장 높은 부수로는 내부부수로 14번이었으며, 중간부수로 33번 및 37번도 유속이 높았다. 외곽부수로의 유속은 다른 부수로에 비해 상대적으로 낮게 나타났다.

Figure 9에서 Figure 11에는 다발평균 축방향 유동특성을 나타내었다. Figure 9에는 채널의 유량 및 질량 유속을 나타내었다. 채널 유량은 23 kg/s 이었으며, 질량유속은 5.5 kg/m²s 이었다.

Figure 10에는 채널 입구에서 축방향 압력분포를 나타내었다. 고려된 유동 조건에서 채널 전체 압력강하는 약 493 kPa이 발생하였다. 축방향 압력의 급강하가 발생하는 부분이 존재하며, 이는 다발 이음매에서의 큰 압력강하 손실 때문이다.

Figure 11에는 액체 및 증기상태의 냉각재 축방향 온도분포를 나타내었다. 액체의 온도는 입구에서 출구에 가까워짐에 따라 온도가 증가하다가 출구 쪽 약 세 번째 다발에서 최고 온도 약 313 °C에 도달되었다가 낮아진다. 이는 축방향으로 코사인 형태의 출력분포로 인해 입구에서 출구 쪽으로 가까워질수록 온도가 증가하다가 냉각재가 포화상태에 도달된 후에는 압력 감소에 따라 포화온도가 떨어지기 때문이며, 또한, 온도곡선이 매끄럽지 않는 이유는 다발 이음매 및 부착물에서의 압력강하가 다르기 때문이다. 증기의 온도는 입구 쪽에서 가장 높고 출구 쪽에서 가장 낮다. 이는 축방향 압력 강하가 일어나므로 포화온도가 낮아지기

때문에 증기의 온도가 낮아진다. 입구에서 축방향으로 40 cm 떨어진 지점에서 증기온도가 0.7 °C 섭동이 있었으며, 110 cm 떨어진 지점에서 다시 0.7 °C 정도 증기온도가 강하하였다. 이는 계산상의 오차로 보인다.

Figure 12에는 유동 엔탈피 및 기포율을 나타내었다. 엔탈피 및 기포율이 단조증가를 하며, 입구에서 120 cm 떨어진 지점에서 기포가 발생하기 시작하여 출구에서 최고 기포율이 53 %가 되었다.

Figure 13에는 냉각재의 축방향 건도분포를 나타내었으며, 출구에 가까워질수록 건도가 증가하였다. 입구에서 250 cm 떨어진 지점에서 다발 평균 유동 비평형 건도가 발생하기 시작하였으며, 다발평균 최대 유동 비평형 건도는 약 11 %이다. 입구에서 370 cm 떨어진 지점에서 평형건도가 영보다 커져 출구에서 최대 평형 건도는 12 % 이었으며, 입구에서의 과냉각도는 26 % 이었다.

Figure 14에는 유속 분포를 나타내었다. 유속이 6 m/s에서 서서히 증가하다가 급격히 증가하며 최대 14 m/s에 도달하며, 냉각재가 포화상태에 도달된 후에는 액체 및 증기 혼합밀도가 급격히 감소하기 때문에 유속이 급격히 증가하게 된다.

Figure 15에는 축방향 열유속 정규분포와 최소 임계출력비를 나타내었다. 축방향 열속분포가 영인 지점은 다발간 이음매 부분을 나타내며, 최소 임계열유속은 입구에서 축방향 430 cm 떨어진 지점이며, 9 번째 다발의 마지막 버턴이 존재하는 지점 부근에 해당하였다. 또한 반경방향으로는 35번 핵연료봉의 37번 부수로에서 최소 임계출력비가 존재하였다.

Figure 16에서 Figure 19까지는 축방향 각 절점에서의 부수로간 횡류 분포를 나타내고 있다. 횡류량은 $W(i,j)$ 로 나타내었고 $W(i,j)$ 가 양의 값이 될 때는 i-부수로에서 j-부수로로 횡류가 유출된다는 것을 의미하며, 음이 될 때는 이와 반대로 유입되는 것을 나타낸다. Figure 16에서는 2번 부수로에서 10번 부수로 및 3번 부수로와의 횡류량을 나타내고 있으며, 10번 부수로로부터 2번 부수로로 횡류가 유입되는 경우 2번 부수로에서 3번 부수로로 횡류가 유출이 되는 것을 알 수 있다. Figure 17은 부수로 3번에서의 축방향 횡류 분포를 나타내고 있다. 4번 부수로 및 12번 부수로에서 횡류 방향이 같다는 것은 3번 부수로에 인접된 2번 부수로 및 4번 부수로로의 횡류 방향이 다르다는 것을 의미한다. 즉 4번 및 12번 부수로에서 3번 부수로로 횡류가 유입될 때 3번 부수로에서 2번 및 4번 부수로로 횡류가 유출되게 된다. Figure 18은 4번 부수로 및 48번 부수로의 횡류를 나타내고 있으며, Figure 19에서는 1번 부수로 및 5번 부수로의 횡류를 나타내고 있다.

4. 결론

본 입력자료 모형 보고서를 통해 CANFLEX 다발의 ASSERT 코드에 의한 부수로 해석에 필요한 여러 가지 입력자료의 모형식 및 자료의 근거를 제시하였다. 본 입력자료 생산시 주의해야 할 점은 COBRA-IV-i 코드와는 달리 축방향 혹은 부수로간의 지배방정식의 형태가 드리프트 플럭스 모형 혹은 2-유체 모형을 이용하고, 중력을 영향이 고려되고 있으므로 부수로간의 무게중심간 거리, 각 핵연료봉의 수직에 대해 어긋나 있는 이격 각도에 대한 정확한 입력자료를 요한다. 이들 기하학적 입력자료는 당소에서 개발된 CANGE0 코드를 이용하여 작성하였다. RUFIC 핵연료다발에 대해 본 보고서에서 제시된 모형들을 이용하여 부수로 해석을 수행하였으며, 그 결과를 요약하면 다음과 같다.

부수로별 계산된 결과를 보면 부수로별 상대 압력 하부부수로 보다 상부부수로가 높았으며, 및 엔탈피, 건도 및 기포율 분포는 하부 부수로가 높은 것으로 나타남으로써 중력의 방향과는 반대로 나타났다. 이는 압력관내에 위치한 핵연료다발의 중력에 의한 편심 때문에 외곽 하부부수로들의 유동면적이 상부쪽보다 상당히 작아 하부부수로들의 유량이 상부부수로의 유량보다 적어지며 이로 인해 다발 중심선에서 하부쪽 부수로들의 엔탈피 분포가 높아졌기 때문인 것으로 판단된다.

부수로 단면의 내부 및 외부 부수로별의 온도 분포를 보면, 전체 부수로 냉각재 평균 온도는 313 °C이며, 외곽부수로를 제외한 대부분 부수로들은 냉각재 평균온도보다 조금씩 높았으나 외곽부수로는 평균온도보다 3 ~ 4 °C로 상당히 낮게 나타났다. 또한, 최고 건도를 나타내는 부수로 번호는 채널 단면의 하부쪽 부수로에서 나타났으며, 이는 이들 부수로의 혼합밀도, 상대 압력이 낮았기 때문이다.

다음으로 핵연료채널 단면 평균 축방향 유동특성에서 축방향 압력분포를 볼 때 고려된 유동 조건에서 채널 전체 압력강하는 약 493 kPa이 발생하였고, 축방향 압력의 급강하가 발생하는 부분이 존재하였으며, 이는 다발 이음매에서의 큰 압력강하 손실 때문이다. 축방향 액체 및 증기상태의 냉각재 축방향 온도분포는 입구에서 출구에 가까워짐에 따라 온도가 증가하다가 출구 쪽 약 세 번째 다발에서 최고 온도 약 313 °C에 도달되었다가 다시 강하하며, 이는 축방향으로 코사인 형태의 출력분포로 인해 입구에서 출구 쪽으로 가까워질수록 온도가 증가하다가 냉각재가 포화상태에 도달된 후에는 압력 감소에 따라 포화온도가 떨어졌기 때문이다. 또한, 온도곡선이 매끄럽지 않는 이유는 다발 이음매 및 부착물에서의 압력강하가 다르기 때문이다. 냉각재의 축방향 건도분포를 나타내었으며, 출구에 가까워질수록 건도가 증가하였으며, 입구에서 250 cm 떨어진 지점에서 다발 평균 유동 비평형 건도가 발

생하기 시작하였다. 축방향 열유속 정규분포와 최소 임계출력비를 볼 때 최소 임계열유속은 입구에서 축방향 430 cm 떨어진 지점이며, 9 번째 다발의 마지막 버턴이 존재하는 지점 부근에 해당하였다. 또한 반경방향으로는 35번 핵연료봉의 37번 부수로에서 최소 임계출력비가 존재하였다.

본 ASSERT 코드에 의한 부수로 해석 입력자료 모형은 RUFIC 핵연료다발의 부수로 상세 해석에 이용될 수 있으며, RUFIC 핵연료다발의 압력손실계수, 축 및 반경방향 열유속 분포 등의 열수력적 정확한 입력 자료가 주어진다면 기존 37-핵연료봉다발 혹은 CANFLEX-NU 다발과의 부수로 측면에서의 상호 비교 분석이 가능할 것으로 보인다.

참고문헌

- [1] E.K. Zariffeh and P. Pfeiffer, ASSERT-PV V2R8M1 : Release Documentation for ASSERT-PV V2R8M1
- [2] C.W. Stewart et al., COBRA-IV-i, An Interim Version of COBRA for Thermalhydraulic Analysis for Rod Bundle Nuclear Fuel Elements and Cores, March 1976.
- [3] L. Friedel, Improved Friction Pressure Drop Correlations for Horizontal and Vertical Two-Phase Pipe Flow, European Two-Phase Flow Group Meeting, Ispra, Italy, Vol. 18, No. 7, pp. 485-492.
- [4] L.S. Tong, Pressure Drop Performance of a Rod Bundle, Heat Transfer in Rod Bundles, ASME, pp. 57-69, 1968
- [5] 석호천 외, 중수로용 개량핵연료 기반연구 및 실용화, KAERI/RR-2011/99, 과학기술처, 2000. 5.
- [6] J.H. Park, J.S. Jun, H.C. Suk, D.H. Hwang and Y.J. Yoo, CANGEQ Program Description and User's Instruction, KAERI/TR-000/97, October 1997.
- [7] AECL Memo from L. Leung to G. Havel, FCT-00-90, Sept. 2000.
- [8] Groeneveld, D.C., Cheng, S.C., and Doan, T. 1986 AECL-UO Critical Heat Flux Lookup Table, Heat Transfer Engineering, Vol. 7, No. 1-2, pp. 46-62.

Table 1. Properties of Heavy Water (from HLWP Package in ASSERT code)

P MPa	T °C	v_f m^3/kg	v_x m^3/kg	h_f kJ/kg	h_x kJ/kg	μ N/m	K $W/m \cdot ^\circ C$	σ N/m
0.001	9.63	0.000904	117.28798	24.62	2333.59	0.001759	0.582753	0.073350
0.002	20.03	0.000905	60.52671	68.74	2350.86	0.001294	0.598051	0.071850
0.004	31.34	0.000907	31.41717	116.70	2369.75	0.000961	0.612420	0.070117
0.005	35.27	0.000908	25.48753	133.04	2376.14	0.000873	0.616880	0.069492
0.006	38.52	0.000909	21.48881	146.66	2381.51	0.000810	0.620360	0.068968
0.008	43.70	0.000910	16.39434	169.04	2390.25	0.000734	0.625522	0.068121
0.010	47.94	0.000912	13.27883	186.93	2397.27	0.000680	0.629414	0.067415
0.020	62.15	0.000918	6.91164	246.61	2420.13	0.000538	0.640297	0.064974
0.040	77.62	0.000926	3.60967	311.91	2445.07	0.000432	0.648509	0.062208
0.050	83.15	0.000929	2.92806	335.07	2453.45	0.000402	0.650363	0.061195
0.060	87.78	0.000932	2.46821	354.21	2460.48	0.000380	0.651938	0.060338
0.080	95.10	0.000937	1.88425	384.44	2471.85	0.000349	0.653486	0.058965
0.100	101.05	0.000941	1.52692	409.49	2480.87	0.000327	0.654189	0.057835
0.200	121.57	0.000957	0.79466	495.54	2509.98	0.000267	0.652956	0.053844
0.300	134.56	0.000968	0.54384	549.02	2527.08	0.000239	0.649388	0.051247
0.400	144.53	0.000978	0.41593	590.40	2539.36	0.000220	0.645258	0.049215
0.500	152.67	0.000986	0.33749	624.55	2548.85	0.000207	0.641024	0.047532
0.600	159.73	0.000993	0.28397	654.25	2556.25	0.000197	0.636742	0.046056
0.700	165.93	0.001000	0.24515	680.22	2562.19	0.000189	0.632530	0.044746
0.800	171.39	0.001006	0.21571	703.08	2567.26	0.000182	0.628477	0.043583
0.900	176.23	0.001012	0.19260	723.42	2571.61	0.000177	0.624614	0.042542
1.000	180.59	0.001017	0.17398	741.83	2575.35	0.000172	0.620930	0.041598
1.500	198.58	0.001042	0.11737	819.16	2588.02	0.000155	0.603700	0.037643
2.000	212.62	0.001062	0.08857	880.36	2594.65	0.000144	0.588072	0.034491
2.500	224.32	0.001081	0.07108	931.86	2597.88	0.000136	0.573632	0.031820
3.000	234.19	0.001099	0.05930	975.76	2598.93	0.000129	0.560511	0.029544
3.500	242.65	0.001116	0.05080	1014.08	2598.42	0.000125	0.548600	0.027576
4.000	250.14	0.001132	0.04436	1048.83	2596.73	0.000121	0.537563	0.025826
4.500	257.08	0.001147	0.03929	1081.53	2594.12	0.000117	0.526924	0.024200
5.000	263.52	0.001163	0.03520	1112.03	2590.74	0.000114	0.516690	0.022689
5.500	269.47	0.001178	0.03180	1140.65	2586.69	0.000112	0.506928	0.021291
6.000	275.03	0.001193	0.02895	1167.76	2582.08	0.000109	0.497577	0.019989
6.500	280.28	0.001208	0.02650	1193.75	2576.94	0.000107	0.488514	0.018761
7.000	285.27	0.001223	0.02439	1218.74	2571.33	0.000105	0.479678	0.017597
7.500	290.03	0.001238	0.02255	1242.81	2565.27	0.000104	0.471080	0.016494
8.000	294.56	0.001253	0.02093	1266.03	2558.81	0.000102	0.462728	0.015450
8.500	298.88	0.001268	0.01950	1288.45	2551.96	0.000100	0.454628	0.014462
9.000	302.99	0.001284	0.01821	1310.16	2544.72	0.000099	0.446781	0.013528
9.500	306.91	0.001300	0.01705	1331.23	2537.08	0.000098	0.439186	0.012644
10.000	310.66	0.001316	0.01601	1351.71	2529.05	0.000097	0.431840	0.011809
10.500	314.23	0.001332	0.01505	1371.69	2520.60	0.000095	0.424736	0.011019
11.000	317.66	0.001349	0.01418	1391.23	2511.76	0.000094	0.417865	0.010271
11.500	320.93	0.001366	0.01337	1410.40	2502.49	0.000093	0.411216	0.009563
12.000	324.08	0.001384	0.01263	1429.27	2492.82	0.000093	0.404775	0.008891
12.500	327.11	0.001403	0.01194	1447.92	2482.72	0.000092	0.398525	0.008252
13.000	330.03	0.001422	0.01130	1466.40	2472.20	0.000091	0.392448	0.007644
13.500	332.86	0.001442	0.01071	1484.80	2461.26	0.000090	0.386522	0.007064
14.000	335.61	0.001463	0.01015	1503.17	2449.82	0.000089	0.380724	0.006508
14.500	338.28	0.001485	0.00962	1521.60	2437.82	0.000089	0.375027	0.005975
15.000	340.90	0.001508	0.00912	1540.08	2425.19	0.000088	0.369405	0.005462
15.500	343.47	0.001532	0.00865	1558.62	2411.86	0.000087	0.363826	0.004967
16.000	346.00	0.001558	0.00820	1577.31	2397.76	0.000087	0.358267	0.004487
16.500	348.47	0.001585	0.00777	1596.20	2382.81	0.000086	0.352803	0.004027
17.000	350.87	0.001615	0.00736	1615.31	2366.96	0.000086	0.347450	0.003589
17.500	353.21	0.001647	0.00696	1634.68	2350.07	0.000085	0.342205	0.003170
18.000	355.49	0.001683	0.00657	1654.66	2331.84	0.000085	0.337062	0.002770
18.500	357.72	0.001723	0.00619	1675.58	2311.95	0.000084	0.332016	0.002388
19.000	359.90	0.001768	0.00582	1697.78	2290.08	0.000084	0.327059	0.002024
19.500	362.02	0.001821	0.00544	1721.60	2265.38	0.000083	0.322185	0.001676
20.000	364.11	0.001885	0.00505	1747.49	2236.60	0.000083	0.317386	0.001345

Table 2. Geometry of RUFIC Bundle Calculated by CANGEQ Code

FULL CHANNEL OF RUFIC BUNDLE WITH 3.1 % CREPT P/T (UNIT:mm)	
***** GEOMETRY BASIC INPUT *****	
SYMMETRIC ANGLE	: 360
ANGLE OF UPPER SYMMETRIC BOUNDARY LINE	: 90
TOTAL NUMBER OF RODS	: 43
TOTAL NUMBER OF SUBCHANNELS	: 70
TOTAL NUMBER OF RINGS	: 4
PRESSURE TUBE DIAMETER	: 106.63
X-ECCENTRICITY	: 0
Y-ECCENTRICITY	: 3.295
RING NUMBER	: 1
RING RADIUS	: 0
RELATIVE RING POWER RATIO	: 0.977
NUMBER OF RODS AT 1-RING	: 1
ACTUAL NUMBER OF RODS AT 1-RING	: 1
ROD DIAMETER OF 1-RING	: 13.5
FIRST ROD OFFSET ANGLE AT 1-RING	: 0
RING NUMBER	: 2
RING RADIUS	: 17.34
RELATIVE RING POWER RATIO	: 1.032
NUMBER OF RODS AT 2-RING	: 7
ACTUAL NUMBER OF RODS AT 2-RING	: 7
ROD DIAMETER OF 2-RING	: 13.5
FIRST ROD OFFSET ANGLE AT 2-RING	: 0
RING NUMBER	: 3
RING RADIUS	: 30.75
RELATIVE RING POWER RATIO	: 0.861
NUMBER OF RODS AT 3-RING	: 14
ACTUAL NUMBER OF RODS AT 3-RING	: 14
ROD DIAMETER OF 3-RING	: 11.5
FIRST ROD OFFSET ANGLE AT 3-RING	: 12.85714
RING NUMBER	: 4
RING RADIUS	: 43.84
RELATIVE RING POWER RATIO	: 1.083
NUMBER OF RODS AT 4-RING	: 21
ACTUAL NUMBER OF RODS AT 4-RING	: 21
ROD DIAMETER OF 4-RING	: 11.5
FIRST ROD OFFSET ANGLE AT 4-RING	: 0
CALCULATION FUEL GEOMETRY	
FUEL ROD AREA	: 4780.52227 mm ²
SUBCHANNEL AREA	: 4149.42089 mm ²
HEATED PERIMETER	: 1603.78305 mm
WETTED PERIMETER	: 1938.77107 mm
HYDRAULIC DIAMETER	: 8.56093 mm
CALCULATION ERROR OF RESULTS(RELATIVE ERROR,%)	
ERROR OF TOTAL SUBCHANNEL AREA	: 2.5121E-6
ERROR OF ROD AREA OCCUPIED	: 3.4951E-8

Table 3. Relative Axial Locations and Loss Coefficients of Each Appendage and Junction
of RUFIC Bundle

Bundle Serial Number	Relative Axial Location of Appendages and Junctions (Location/Total Length)				
Bundle 1	.0091	.0743	.0209	.0624	.0417
Bundle 2	.0924	.1576	.1043	.1457	.1250
Bundle 3	.1757	.2409	.1876	.2291	.2083
Bundle 4	.2591	.3243	.2709	.3124	.2917
Bundle 5	.3424	.4076	.3543	.3957	.3750
Bundle 6	.4257	.4909	.4376	.4791	.4583
Bundle 7	.5091	.5743	.5209	.5624	.5417
Bundle 8	.5924	.6576	.6043	.6457	.6250
Bundle 9	.6757	.7409	.6876	.7291	.7083
Bundle 10	.7591	.8243	.7709	.8124	.7917
Bundle 11	.8424	.9076	.8543	.8957	.8750
Bundle 12	.9257	.9909	.9376	.9791	.9583
Loss Coefficient, K	Bearing-Pad Plane	Button Plane		Spacer Plane	Junction Fully Aligned
	0.00006	0.0707		0.1325	0.3586

Table 4. Ring Power Ratio of a RUFIC Bundle

Ring Identification	Center Ring	Inner Ring	Intermediate Ring	Outer Ring
Radial Power Factor	0.977	1.032	0.861	1.083

Table 5. Rod Power Fraction in a Subchannel

RN	DR inch	Radial LR	PHI frac	LR	PHI frac	LR	PHI frac												
1	1.350	0.916	1	0.143	2	0.143	3	0.143	4	0.143	5	0.143	6	0.143	7	0.143			
2	1.350	0.956	1	0.179	7	0.179	20	0.242	21	0.158	8	0.242	2	0.179					
3	1.350	0.956	1	0.179	8	0.242	9	0.158	10	0.242	12	0.242	3	0.179					
4	1.350	0.956	2	0.179	10	0.242	11	0.158	12	0.242	13	0.158	14	0.242	4	0.179			
5	1.350	0.956	3	0.179	12	0.242	13	0.158	14	0.242	16	0.242	5	0.179					
6	1.350	0.956	4	0.179	14	0.242	15	0.158	16	0.242	18	0.242	6	0.179					
7	1.350	0.956	5	0.179	16	0.242	17	0.158	18	0.242									
8	1.350	0.956	6	0.179	18	0.242	19	0.158	20	0.242	7	0.179							
9	1.150	0.895	8	0.258	21	0.171	49	0.177	22	0.148	23	0.177	9	0.171					
10	1.150	0.895	8	0.258	23	0.246	24	0.148	25	0.177	10	0.258							
11	1.150	0.895	9	0.171	25	0.177	26	0.148	27	0.246	11	0.171							
12	1.150	0.895	10	0.258	27	0.246	28	0.148	29	0.177									
13	1.150	0.895	11	0.171	29	0.177	30	0.148	31	0.246	12	0.258							
14	1.150	0.895	12	0.258	31	0.246	32	0.148	33	0.177	13	0.171							
15	1.150	0.895	13	0.171	33	0.177	34	0.148	35	0.246	14	0.258							
16	1.150	0.895	14	0.258	35	0.246	36	0.148	37	0.177	15	0.171							
17	1.150	0.895	15	0.171	37	0.177	38	0.148	39	0.246	16	0.258							
18	1.150	0.895	16	0.258	39	0.246	40	0.148	41	0.177	17	0.171							
19	1.150	0.895	17	0.171	41	0.177	42	0.148	43	0.246	18	0.258							
20	1.150	0.895	18	0.258	43	0.246	44	0.148	45	0.177	19	0.171							
21	1.150	0.895	19	0.171	45	0.177	46	0.148	47	0.246	20	0.258							
22	1.150	0.895	20	0.258	47	0.246	48	0.148	49	0.177	21	0.171							
23	1.150	0.902	48	0.153	70	0.274	50	0.274	22	0.153	49	0.146							
24	1.150	0.902	22	0.199	50	0.275	51	0.273	23	0.254									
25	1.150	0.902	23	0.254	51	0.275	52	0.272	24	0.199									
26	1.150	0.902	24	0.153	52	0.276	53	0.272	26	0.153	52	0.276							
27	1.150	0.902	26	0.199	53	0.276	54	0.277	55	0.271	28	0.199							
28	1.150	0.902	27	0.254	54	0.277	55	0.271	28	0.199									
29	1.150	0.902	28	0.153	55	0.277	56	0.271	30	0.153	29	0.146							
30	1.150	0.902	30	0.199	56	0.276	57	0.271	31	0.254									
31	1.150	0.902	31	0.254	57	0.276	58	0.272	32	0.199									
32	1.150	0.902	32	0.153	58	0.275	59	0.273	34	0.153	33	0.146							
33	1.150	0.902	34	0.199	59	0.274	60	0.273	35	0.254									
34	1.150	0.902	35	0.254	60	0.273	61	0.274	36	0.199									
35	1.150	0.902	36	0.153	61	0.273	62	0.275	38	0.153	37	0.146							
36	1.150	0.902	38	0.199	62	0.272	63	0.276	39	0.254									
37	1.150	0.902	39	0.254	63	0.271	64	0.276	40	0.199									
38	1.150	0.902	40	0.153	64	0.271	65	0.277	42	0.153	41	0.146							
39	1.150	0.902	42	0.199	65	0.271	66	0.277	43	0.254									
40	1.150	0.902	43	0.254	66	0.271	67	0.276	44	0.199									
41	1.150	0.902	44	0.153	67	0.272	68	0.276	46	0.153	45	0.146							
42	1.150	0.902	46	0.199	68	0.272	69	0.275	47	0.254									
43	1.150	0.902	47	0.254	69	0.273	70	0.275	48	0.199									

RN : Rod number

DR : Rod diameter

RADIAL : Radial power factor rod (i) as a fraction of the average rod power

LR : Identification numbers of subchannels surrounding rod

PHI : Fraction of the total rod power input to adjacent subchannel

fract : Fraction

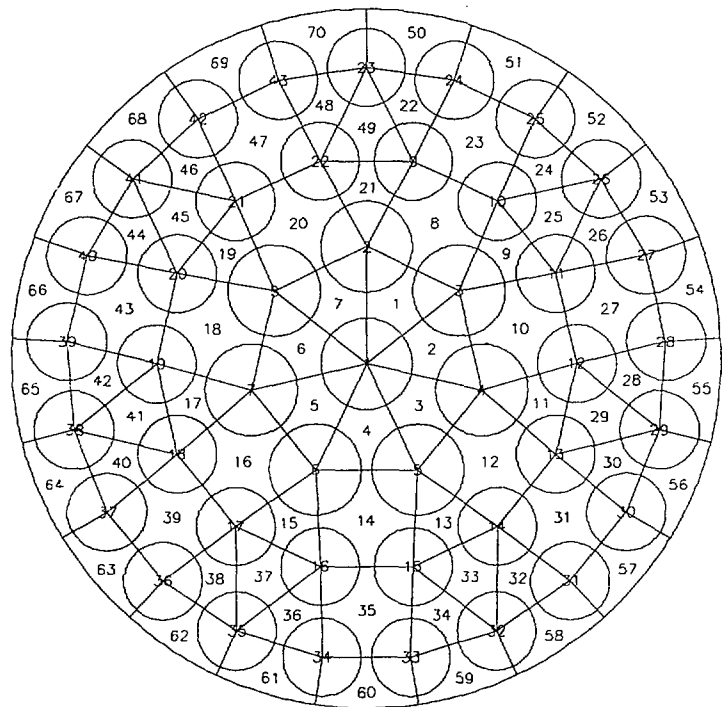


Figure 1. Subchannel and Rod Number of RUFIC Bundle for ASSERT Calculation

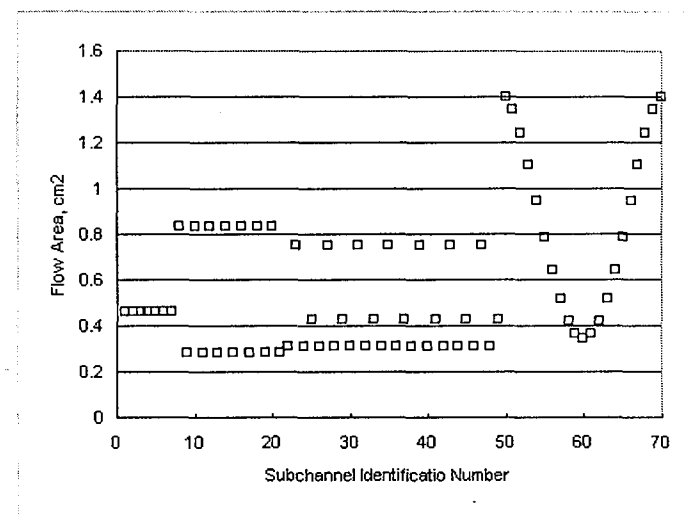


Figure 2. Subchannel Flow Area Distribution

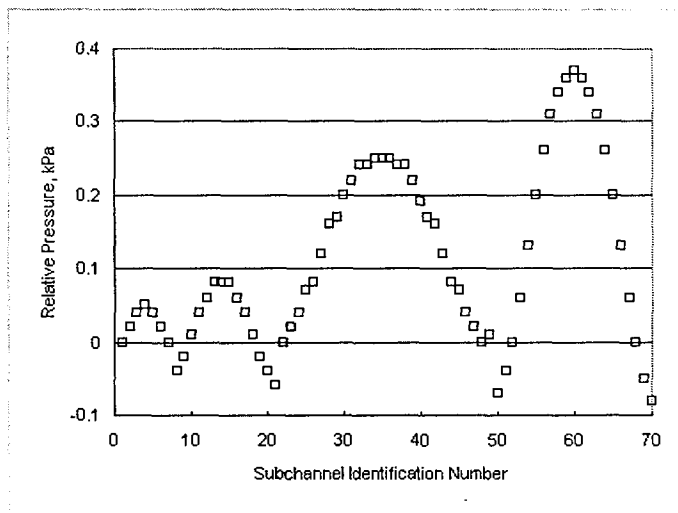


Figure 3. Subchannel Relative Pressure Distribution

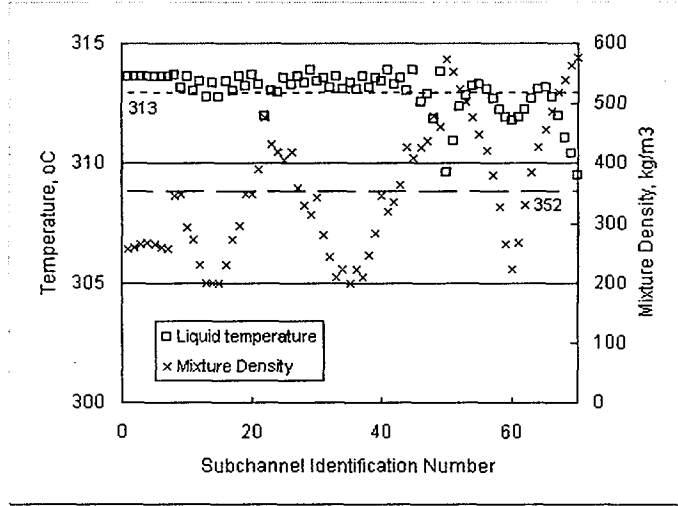


Figure 4. Subchannel Liquid Temperature and Mixture Density Distribution

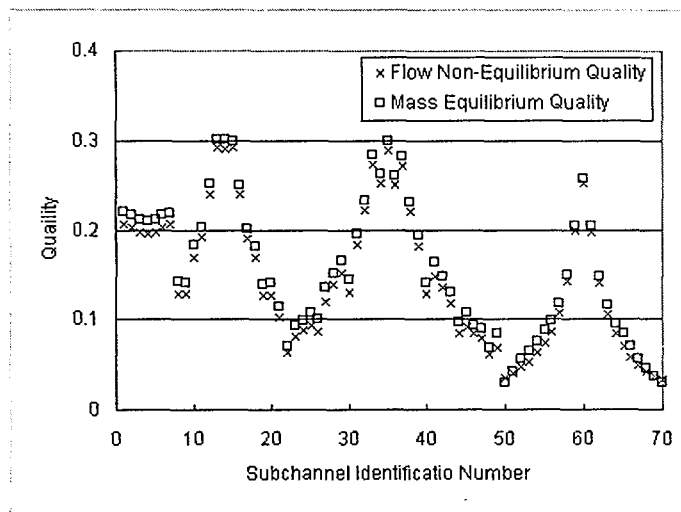


Figure 5. Subchannel Non-equilibrium and Thermodynamic Quality Distribution

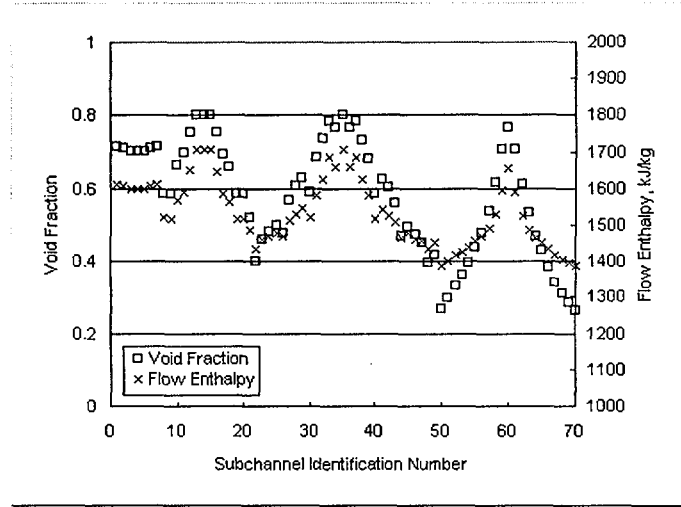


Figure 6. Subchannel Void Fraction and Flow Enthalpy Distribution

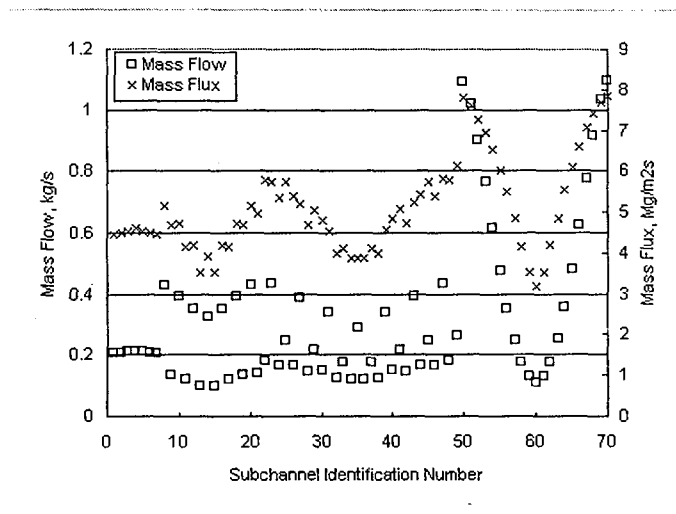


Figure 7. Subchannel Flow Rate and Mass Flux Distribution

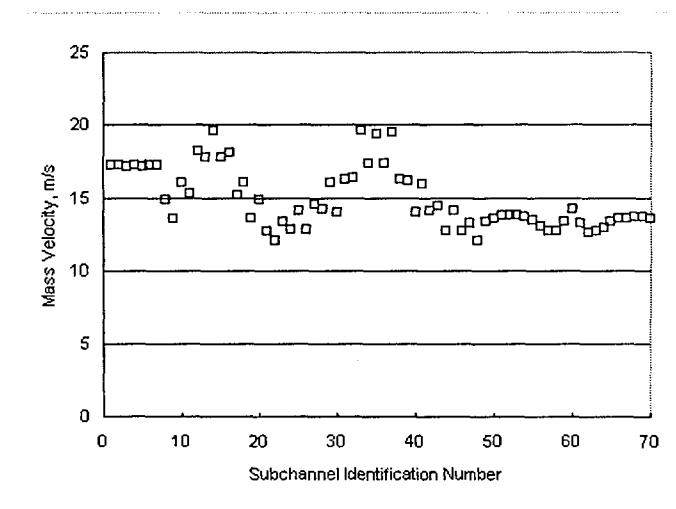


Figure 8. Subchannel Velocity Distribution

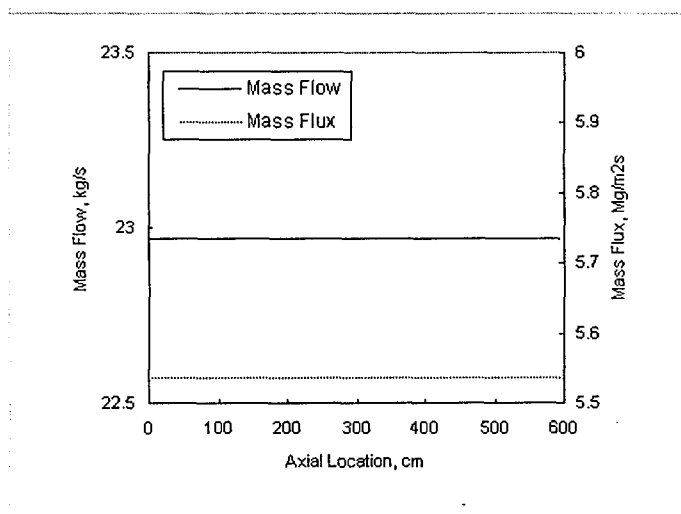


Figure 9. Bundle Averaged Flow Rate and Mass Flux

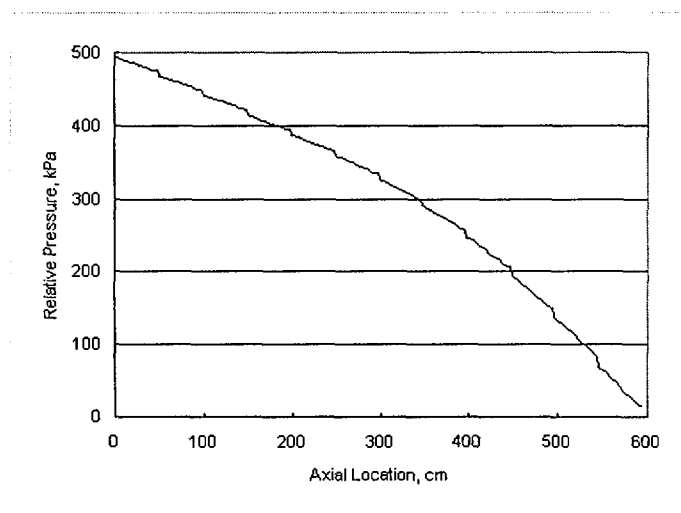


Figure 10. Axial Relative Pressure Distribution

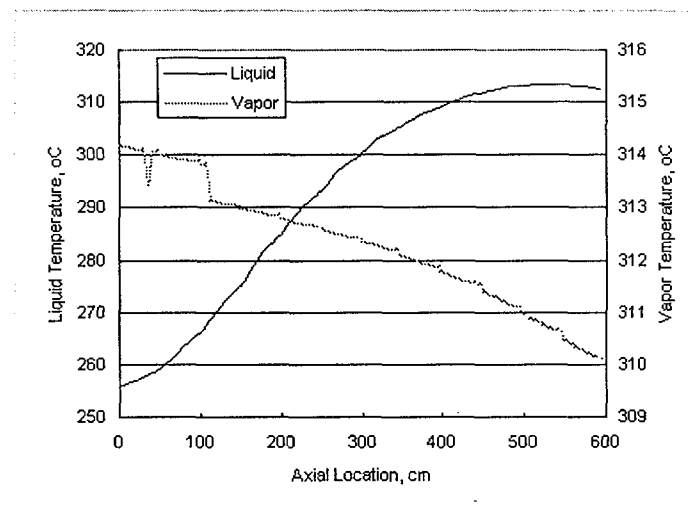


Figure 11. Axial Liquid and Vapor Temperature Distribution

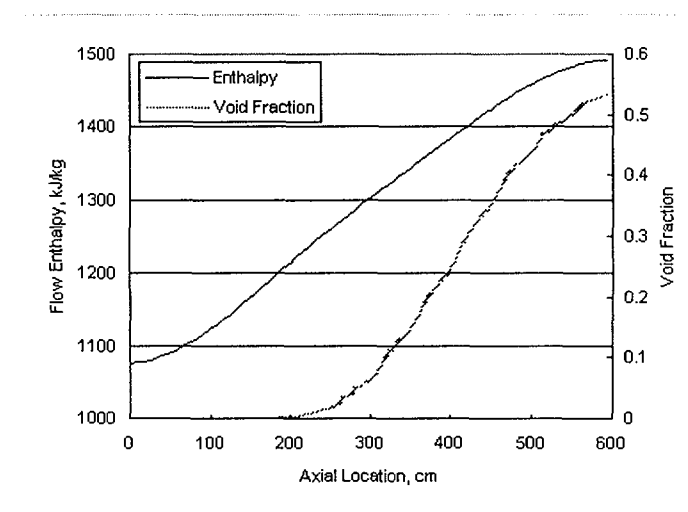


Figure 12. Axial Enthalpy and Void Fraction Distribution

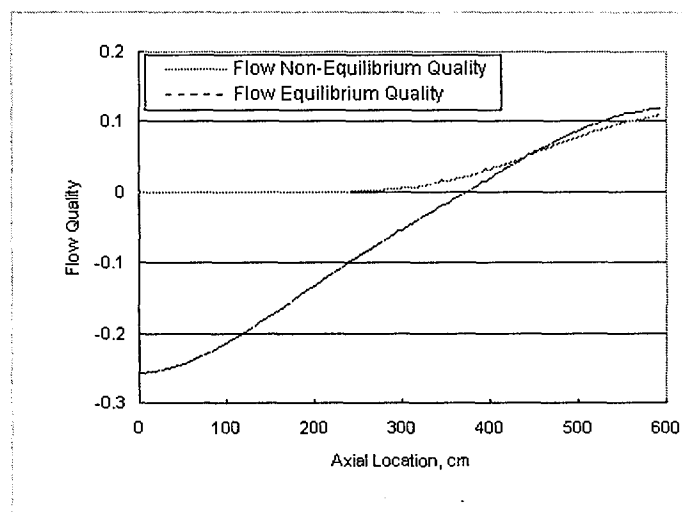


Figure 13. Axial Flow Non-Equilibrium and Equilibrium Quality Distribution

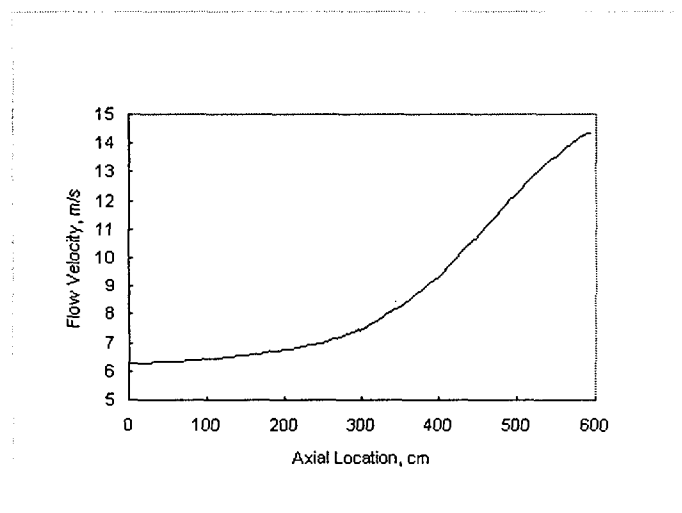


Figure 14. Axial Bundle Averaged Velocity Distribution

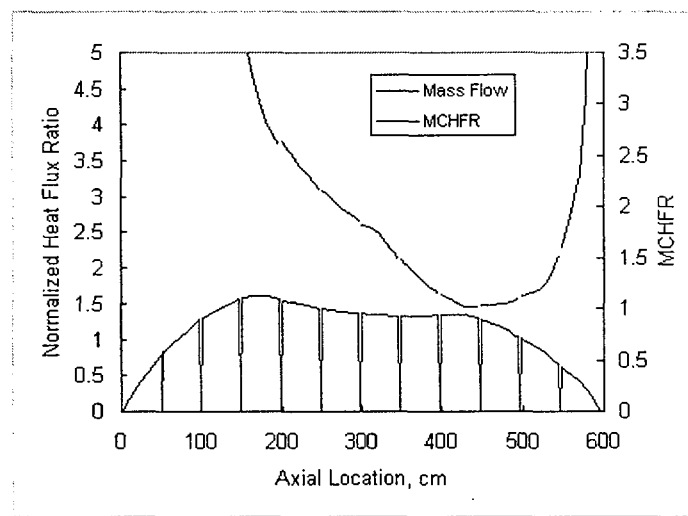


Figure 15. Axial Heat Flux and MCHFR Distribution

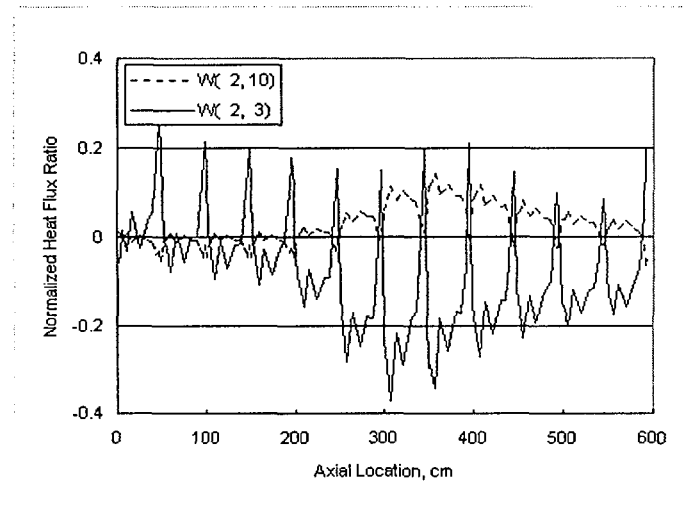


Figure 16. Axial Crossflow Distribution in Subchannel Number 2

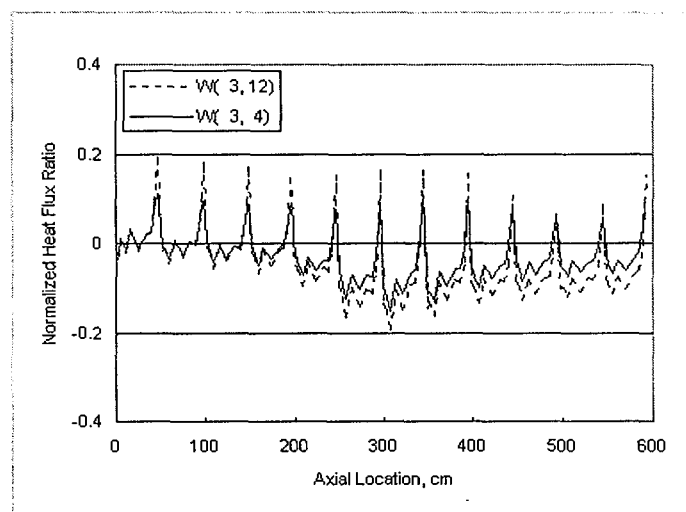


Figure 17. Axial Crossflow Distribution in Subchannel Number 3

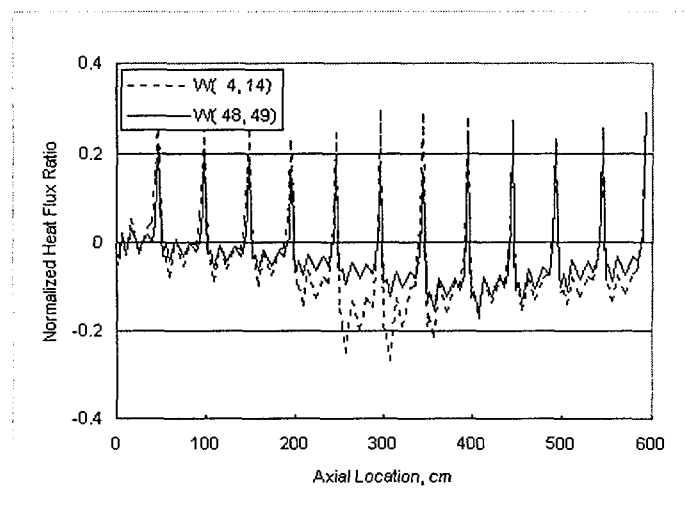


Figure 18. Axial Crossflow Distribution in Subchannel Number 4 and 48

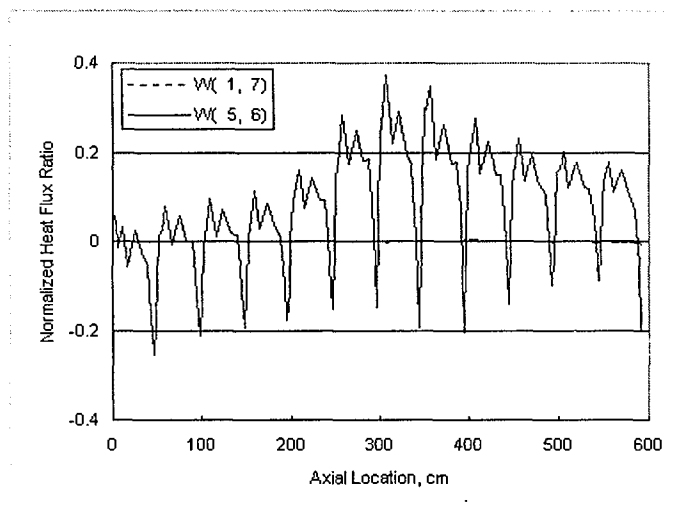


Figure 19. Axial Crossflow Distribution in Subchannel Number 1 and 5

APPENDIX I : Sample Input Data for ASSERT code

```

=====
/
/   FILE: IM_pv_v2r8_0101.inp      J.H. Park  2001-01-18
/
/   *****
/   **      ASSERT INPUT MODELLING      **
/   **      FOR ASSERT-PV V2R8          **
/   **      -----      **
/   **      INPUT MODELLING CASE 0101: **
/   **      RUFIC (43-ELEMENT) BASE CASE **
/   *****
/
/ DISCLOSURE
/ This input file is for input modelling of RUFIC (CANFLEX-RU) bundle
/ for ASSERT-PV V2R8 application. It represents a CANDU fuel channel
/ containing twelve RUFIC. The geometry input data were generated by CANGEQ
/ code which was developed by J.H. Park at KAERI.
/
/ DESCRIPTION
/ - twelve fully-aligned RUFIC, CANFLEX-RU fuel bundles
/ - horizontal and uniform 3.1 % crept pressure tube
/ - heavy water-steam properties determined by HLWP at local (axial) pressure
/ - exit-skewed cosine axial heat flux profile
/ - fresh fuel radial heat flux distribution
/ - loss factors for bundle junctions, mid-plane spacer, bearing pads
/ and button planes.
/ - CHF determined by the LW-T-1995 lookup table
/
=====
/
/ 9999
/
/=====
/ 80101SISI1 ASSERT-PV V2R8 Input Modelling : RUFIC(CANFLEX-RU) CANDU Base Case
/=====
/
/ Group 1: Fluid Properties
/-----
/ N4 = 1: properties determined from HLWP property package
/ N5 = 0: properties evaluated using local (axial) pressure
/ N6 = 2: heavy-water coolant
/-----
/ 1 0 0 0 1 0 2
/-----
/ Group 2: Friction Factor and Two-Phase Flow Options
/-----
/ N1 = 1: liquid non-equilibrium and vapour thermal equilibrium
/ N2 = 2: Colebrook-White turbulent friction factor, 0.8 um roughness height
/ N3 = 6: Friedel correlation for two-phase friction multiplier
/ N4 = 0: wall viscosity correction to friction factor
/ N5 = 1: laminar friction factor f = 64/Re
/ N6 = 0: Dittus-Boelter single-phase heat transfer correlation
/ N7 = 1: include gravity terms in transverse momentum equation
/ N8 = 1: include axial relative velocity option
/ N9 = 1: include lateral relative velocity option
/ N10 = 0: homogeneous two-phase multiplier for form losses
/-----
/ 2 1 2 6 0 1 0 1 1 1 0
/ 0.00008    * sheath roughness of 0.8 um.
/ 64.0 -1.0   * laminar friction factor f = 64/Re
/ 0.0        * axial relative velocity coefficients (not used)
/ 1.50 2.00   * lateral relative velocity coefficients
/-----
/ Group 3: Axial Heat Flux Distribution
/-----
/ Exit-skewed cosine axial heat flux profile from the RUFIC bundles ???????
/ This profile reflects the unheated bundle end-plates at the beginning
/ and the end of the channel, each assumed to be 0.75 cm long.
/ The heat fluxes are normalized by the average heat flux over the HEATED
/ length.
/-----
/ 3 64

```

```

0.0 0.0.0159.1790.0317.3347.0476.4635.0635.5794.0794.6864
.0952.7844.1111.8729.1270.9519.14291.024.15871.091.17461.152
.19051.208.20631.258.22221.304.23811.347.25401.382.26981.404
.28571.410.30161.396.31751.374.33331.349.34921.322.36511.299
.38101.282.39681.266.41271.250.42861.234.44441.220.46031.208
.47621.197.49211.187.50791.178.52381.170.53971.164.55561.159
.57141.156.58731.154.60321.153.61901.152.63491.152.65081.158
.66671.166.68251.173.69841.177.71431.173.73021.156.74601.127
.76191.090.77781.048.79371.004.8095.9589.8254.9084.84130.856
.8571.7998.8730.7408.8889.6774.9048.6070.9206.5301.93650.447
.9524.3574.9683.2584.9841.1380 1.0 0.0
/-
/ Group 4: Subchannel Layout and Dimension Data
/-
/ RUFIC 43-Rod Full Bundle
/ Fresh fuel radial flux distribution (RFD).
/ Produced by CANGEQ code
/ Fuel Channel Dimensions:
/ Pressure tube inside diameter = 10.338 cm(10.338 design value)
/ Bundle diameter (incl bearing pads) = 10.250 cm(10.268 37-element)
/ Rod diameters (8 inner) = 1.350 cm
/ Rod diameters (35 outer) = 1.150 cm
/ Ring # Rods Diameter Offset RFD
/ - centre 1 0.0 0 0.910
/ - inner 7 3.468 0 0.947
/ - intermediate 14 6.150 12.857143 0.898
/ - outer 21 8.768 0 1.090
/ Computed Total Dimensions:
/ - flow area = 36.13361 cm2
/ - wetted perimeter = 192.85609 cm
/ - heated perimeter = 160.37830 cm
/ - hydraulic diameter = 7.49442 cm
/-

```

4	70	70			
1.45972.1212.121	7.3840.8545270.0	8.15471.329	25.7	2.3840.8545141.4	
2.45972.1212.121	10.15471.329	77.1		3.3840.8545192.9	
3.45972.1212.121	12.15471.329128.6			4.3840.8545244.3	
4.45972.1212.121	14.15471.329180.0			5.3840.8545295.7	
5.45972.1212.121	16.15471.329231.4			6.3840.8545347.1	
6.45972.1212.121	18.15471.329282.9			7.3840.8545 38.6	
7.45972.1212.121	20.15471.329334.3				
8.83333.9183.918	21.18721.133297.6	23.21851.334	25.7	9.18721.133113.8	
9.28351.9061.906	25.2185.8851	51.4		10.18721.133169.1	
10.83333.9183.918	27.21851.334	77.1		11.18721.133165.2	
11.28351.9061.906	29.2185.8851102.9			12.18721.133220.5	
12.83333.9183.918	31.21851.334128.6			13.18721.133216.7	
13.28351.9061.906	33.2185.8851154.3			14.18721.133271.9	
14.83333.9183.918	35.21851.334180.0			15.18721.133268.1	
15.28351.9061.906	37.2185.8851205.7			16.18721.133323.3	
16.83333.9183.918	39.21851.334231.4			17.18721.133319.5	
17.28351.9061.906	41.2185.8851257.1			18.18721.133 14.8	
18.83333.9183.918	43.21851.334282.9			19.18721.133 10.9	
19.28351.9061.906	45.2185.8851308.6			20.18721.133 66.2	
20.83333.9183.918	47.21851.334334.3			21.18721.133 62.4	
21.28351.9061.906	49.2185.8851 0.0				
22.30961.8061.806	49.3958.7050241.8	50.15681.310	6.9	23.18751.104119.4	
23.74993.6133.613	51.15681.522	26.3		24.18751.104112.0	
24.30961.8061.806	52.15681.263	45.9		25.3958.7050169.7	
25.42911.8061.806	26.3958.7050113.2				
26.30961.8061.806	53.15681.214	59.1		27.18751.104170.8	
27.74993.6133.613	54.15681.392	77.9		28.18751.104163.5	
28.30961.8061.806	55.15681.107	97.1		29.3958.7050221.1	
29.42911.8061.806	30.3958.7050164.6				
30.30961.8061.806	56.15681.052109.0			31.18751.104222.3	
31.74993.6133.613	57.15681.230128.1			32.18751.104214.9	
32.30961.8061.806	58.1568.9567147.4			33.3958.7050272.5	
33.42911.8061.806	34.3958.7050216.1				
34.30961.8061.806	59.1568.9276159.5			35.18751.104273.7	
35.74993.6133.613	60.15681.145180.0			36.18751.104266.3	
36.30961.8061.806	61.1568.9276200.5			37.3958.7050323.9	
37.42911.8061.806	38.3958.7050267.5				
38.30961.8061.806	62.1568.9567212.6			39.18751.104325.1	
39.74993.6133.613	63.15681.230231.9			40.18751.104317.7	
40.30961.8061.806	64.15681.052251.0			41.3958.7050 15.4	
41.42911.8061.806	42.3958.7050318.9				
42.30961.8061.806	65.15681.107262.9			43.18751.104 16.5	
43.74993.6133.613	66.15681.392282.1			44.18751.104 9.2	
44.30961.8061.806	67.15681.214300.9			45.3958.7050 66.8	

45.42911.8061.806	46.3958.7050	10.3
46.30961.8061.806	68.15681.261314.1	47.18751.104 68.0
47.74993.6133.613	69.15681.522333.7	48.18751.104 60.6
48.30961.8061.806	70.15681.310353.1	49.3958.7050118.2
49.42911.8061.806		
501.3993.7151.992	70.70201.558270.0	51.68621.554107.9
511.3443.6991.991	52.64061.543125.7	
521.2403.6711.988	53.57001.526143.3	
531.1033.6341.984	54.48191.507160.8	
54.94693.5941.980	55.38481.487178.0	
55.78883.5541.977	56.28761.468195.0	
56.64183.5191.973	57.19881.453211.9	
57.51683.4901.970	58.12551.444228.7	
58.42203.4681.968	59.07341.441245.3	
59.36293.4551.967	60.04641.441261.8	
60.34283.4501.966	61.04641.441278.2	
61.36293.4551.967	62.07341.441294.7	
62.42203.4681.968	63.12551.444311.3	
63.51683.4901.970	64.19881.453328.1	
64.64183.5191.973	65.28761.468345.0	
65.78883.5541.977	66.38481.487 2.0	
66.94693.5941.980	67.48191.507 19.2	
671.1033.6341.984	68.57001.526 36.7	
681.2403.6711.988	69.64061.543 54.3	
691.3443.6991.991	70.68621.554 72.1	
701.3993.7151.992		

/ Group 7: Appendage Loss Factors (Uniform)

/ Appendage Types:

/ 1) Bundle Inlet

/ 2) Oblong Buttons (used)

/ 3) Cylindrical Buttons (not used)

/ 4) Midplane Spacer and Bearing Pads

/ 5) Bundle Junction

/

/ Description:

/ Appendage loss factors are obtained from AECL Memo (FCT-00-90, Sept. 2000).

/ Bearing pad height was assumed 1.4 mm.

/ Each subchannel K-factor was assumed uniform

/

7	2	0	73	5	
*	Axial	Location and	Appendage	Type	---
.0002	1.0091	2.0209	3.0417	4.0624	3.0743 2
.0833	5.0924	2.1043	3.1250	4.1457	3.1576 2
.1667	5.1757	2.1876	3.2083	4.2291	3.2409 2
.2500	5.2591	2.2709	3.2917	4.3124	3.3243 2
.3333	5.3424	2.3543	3.3750	4.3957	3.4076 2
.4167	5.4257	2.4376	3.4583	4.4791	3.4909 2
.5000	5.5091	2.5209	3.5417	4.5624	3.5743 2
.5833	5.5924	2.6043	3.6250	4.6457	3.6576 2
.6667	5.6757	2.6876	3.7083	4.7291	3.7409 2
.7500	5.7591	2.7709	3.7917	4.8124	3.8243 2
.8333	5.8424	2.8543	3.8750	4.8957	3.9076 2
.9167	5.9257	2.9376	3.9583	4.9791	3.9909 2
.9998	5				

* --- Type 1 : Bundle Entrance & Exit ---

1.3586
2.3586
3.3586
4.3586
5.3586
6.3586
7.3586
8.3586
9.3586
10.3586
11.3586
12.3586
13.3586
14.3586
15.3586
16.3586
17.3586
18.3586
19.3586
20.3586

21.3586
22.3586
23.3586
24.3586
25.3586
26.3586
27.3586
28.3586
29.3586
30.3586
31.3586
32.3586
33.3586
34.3586
35.3586
36.3586
37.3586
38.3586
39.3586
40.3586
41.3586
42.3586
43.3586
44.3586
45.3586
46.3586
47.3586
48.3586
49.3586
50.3586
51.3586
52.3586
53.3586
54.3586
55.3586
56.3586
57.3586
58.3586
59.3586
60.3586
61.3586
62.3586
63.3586
64.3586
65.3586
66.3586
67.3586
68.3586
69.3586
70.3586

* --- Type 2: Bearing Pads ---

1.0001
2.0001
3.0001
4.0001
5.0001
6.0001
7.0001
8.0001
9.0001
10.0001
11.0001
12.0001
13.0001
14.0001
15.0001
16.0001
17.0001
18.0001
19.0001
20.0001
21.0001
22.0001
23.0001
24.0001
25.0001
26.0001
27.0001

28.0001
29.0001
30.0001
31.0001
32.0001
33.0001
34.0001
35.0001
36.0001
37.0001
38.0001
39.0001
40.0001
41.0001
42.0001
43.0001
44.0001
45.0001
46.0001
47.0001
48.0001
49.0001
50.0001
51.0001
52.0001
53.0001
54.0001
55.0001
56.0001
57.0001
58.0001
59.0001
60.0001
61.0001
62.0001
63.0001
64.0001
65.0001
66.0001
67.0001
68.0001
69.0001
70.0001

* --- Type 3: Cylindrical Buttons ---

1.0707
2.0707
3.0707
4.0707
5.0707
6.0707
7.0707
8.0707
9.0707
10.0707
11.0707
12.0707
13.0707
14.0707
15.0707
16.0707
17.0707
18.0707
19.0707
20.0707
21.0707
22.0707
23.0707
24.0707
25.0707
26.0707
27.0707
28.0707
29.0707
30.0707
31.0707
32.0707
33.0707
34.0707

* --- Type 4: Midplane Spacer and Bearing Pads ---
 1.1325
 2.1325
 3.1325
 4.1325
 5.1325
 6.1325
 7.1325
 8.1325
 9.1325
 10.1325
 11.1325
 12.1325
 13.1325
 14.1325
 15.1325
 16.1325
 17.1325
 18.1325
 19.1325
 20.1325
 21.1325
 22.1325
 23.1325
 24.1325
 25.1325
 26.1325
 27.1325
 28.1325
 29.1325
 30.1325
 31.1325
 32.1325
 33.1325
 34.1325
 35.1325
 36.1325
 37.1325
 38.1325
 39.1325
 40.1325
 41.1325

42.1325
43.1325
44.1325
45.1325
46.1325
47.1325
48.1325
49.1325
50.1325
51.1325
52.1325
53.1325
54.1325
55.1325
56.1325
57.1325
58.1325
59.1325
60.1325
61.1325
62.1325
63.1325
64.1325
65.1325
66.1325
67.1325
68.1325
69.1325
70.1325

* --- Type 5: Bundle Junction ---

1.3586
2.3586
3.3586
4.3586
5.3586
6.3586
7.3586
8.3586
9.3586
10.3586
11.3586
12.3586
13.3586
14.3586
15.3586
16.3586
17.3586
18.3586
19.3586
20.3586
21.3586
22.3586
23.3586
24.3586
25.3586
26.3586
27.3586
28.3586
29.3586
30.3586
31.3586
32.3586
33.3586
34.3586
35.3586
36.3586
37.3586
38.3586
39.3586
40.3586
41.3586
42.3586
43.3586
44.3586
45.3586
46.3586
47.3586
48.3586

49.3586
50.3586
51.3586
52.3586
53.3586
54.3586
55.3586
56.3586
57.3586
58.3586
59.3586
60.3586
61.3586
62.3586
63.3586
64.3586
65.3586
66.3586
67.3586
68.3586
69.3586
70.3586

/-- Group 8: Rod Layout and Radial Power Data
/-- RUFIC 43-Rod Full Bundle
/ Fresh fuel radial flux distribution (RFD).
/ Produced by CANGEKO.
/-----
8 43 43 0 0 5 0 1 0 0 0 1
11.3500.859 1.1429 2.1429 3.1429 4.1429 5.1429 6.1429 7.1429
21.3500.908 1.1786 7.1786 20.2425 21.1579 8.2425
31.3500.908 1.1786 8.2425 9.1579 10.2425 2.1786
41.3500.908 2.1786 10.2425 11.1579 12.2425 3.1786
51.3500.908 3.1786 12.2425 13.1579 14.2425 4.1786
61.3500.908 4.1786 14.2425 15.1579 16.2425 5.1786
71.3500.908 5.1786 16.2425 17.1579 18.2425 6.1786
81.3500.908 6.1786 18.2425 19.1579 20.2425 7.1786
91.1500.889 8.2575 21.1710 49.1770 22.1481 23.2463
101.1500.889 8.2575 23.2463 24.1481 25.1770 9.1710
111.1500.889 9.1710 25.1770 26.1481 27.2463 10.2575
121.1500.889 10.2575 27.2463 28.1481 29.1770 11.1710
131.1500.889 11.1710 29.1770 30.1481 31.2463 12.2575
141.1500.889 12.2575 31.2463 32.1481 33.1770 13.1710
151.1500.889 13.1710 33.1770 34.1481 35.2463 14.2575
161.1500.889 14.2575 35.2463 36.1481 37.1770 15.1710
171.1500.889 15.1710 37.1770 38.1481 39.2463 16.2575
181.1500.889 16.2575 39.2463 40.1481 41.1770 17.1710
191.1500.889 17.1710 41.1770 42.1481 43.2463 18.2575
201.1500.889 18.2575 43.2463 44.1481 45.1770 19.1710
211.1500.889 19.1710 45.1770 46.1481 47.2463 20.2575
221.1500.889 20.2575 47.2463 48.1481 49.1770 21.1710
231.1501.118 48.1532 70.2738 50.2738 22.1532 49.1460
241.1501.118 22.1987 50.2776 51.2700 23.2537
251.1501.118 23.2537 51.2810 52.2666 24.1987
261.1501.118 24.1532 52.2836 53.2640 26.1532 52.2836
271.1501.118 26.1987 53.2852 54.2624 27.2537
281.1501.118 27.2537 54.2858 55.2618 28.1987
291.1501.118 28.1532 55.2853 56.2624 30.1532 29.1460
301.1501.118 30.1987 56.2838 57.2638 31.2537
311.1501.118 31.2537 57.2815 58.2661 32.1987
321.1501.118 32.1532 58.2787 59.2690 34.1532 33.1460
331.1501.118 34.1987 59.2755 60.2722 35.2537
341.1501.118 35.2537 60.2722 61.2755 36.1987
351.1501.118 36.1532 61.2690 62.2787 38.1532 37.1460
361.1501.118 38.1987 62.2661 63.2815 39.2537
371.1501.118 39.2537 63.2638 64.2838 40.1987
381.1501.118 40.1532 64.2624 65.2853 42.1532 41.1460
391.1501.118 42.1987 65.2618 66.2858 43.2537
401.1501.118 43.2537 66.2624 67.2852 44.1987
411.1501.118 44.1532 67.2640 68.2836 46.1532 45.1460
421.1501.118 46.1987 68.2666 69.2810 47.2537
431.1501.118 47.2537 69.2700 70.2776 48.1987
0 0 1 0 * apply CHF correction factor for orientation
/-----
/ Group 9: Calculation Control Data
/-----
9 0 0 0 0 0 3 0

```
18 18 200 1 1.E-6 1.E-4 1.E-6 1.E-5 1.E-5
1.E15 1 0.5 0 594.4 146 90.0 1.0 0.6670.667 1.00.667
1249.5348.03 10
/-
/ Group 10: Mixing Parameters
/-
10 1 0
0.05 0.0 * Constant turbulent void diffusion mixing coefficient
/-
/ Group 11: Operating Conditions and Forcing Function Data
/-
11 1 1
* Pout Tin G Q'' 10.00 256.00 5.5350 1.028384 * 20 kg/s, 9.5 MW
/-
/ Group 12: Output Printout Options
/-
12 0 1 0 0 9 0 0 0 6
60
4 5 6 7 8 9 10 11 12
0
0
```

APPENDIX II : Sample Output for ASSERT code

ASSERT - PV V2R8 (VERSION 2 RELEASE 8) | | |
ADVANCED SOLUTION OF SUBCHANNEL EQUATIONS | | |
IN REACTOR THERMALHYDRAULICS | | |

ASSERT IS A STATE OF THE ART SUBCHANNEL THERMALHYDRAULIC ANALYSIS CODE BEING DEVELOPED TO
COMPUTE FLOW AND ENTHALPY DISTRIBUTIONS FOR COOLANT BOILING IN ROD ARRAYS. ASSERT USES
ADVANCED DRIFT-FUX CONCEPTS AND THERMAL NON-EQUILIBRIUM TO PERMIT THE PHASES IN BOILING
WATER FLOWS TO EXHIBIT UNEQUAL VELOCITIES AND UNEQUAL TEMPERATURES (CVUTL).

THE CURRENT VERSION WAS DEVELOPED JOINTLY BY D.S. ROWE AND ASSOCIATES AND THE COMPUTATIONAL
ANALYSIS SECTION, FUEL CHANNEL THERMALHYDRAULICS BRANCH, FUEL AND FUEL CYCLE DIVISION,
CHALK RIVER LABORATORIES.

USER INFORMATION IS REPORTED IN:
ASSERT-PV V2R8 USERS MANUAL, COG-97-460

E.K. ZARIFEEI, G.M. WADDINGTON, N. HAMMOUDA, L.N. CARLUCCI, V.G. FRISINA,
J.C. KITELEY, D.S. ROWE AND P. PFIFFER

ASSERT IS THE PROPERTY OF:
ATOMIC ENERGY OF CANADA LIMITED
CHALK RIVER LABORATORIES - FUEL CHANNEL THERMALHYDRAULICS BRANCH

ASSERT HAS BEEN PARTIALLY FUNDED UNDER THE CANDO OWNERS GROUP (COG). ONTARIO HYDRO,
NEW BRUNSWICK POWER AND HYDRO QUEBEC HAVE RIGHTS TO USE ASSERT UNDER THE COG AGREEMENT.
USE BY THIRD PARTIES IS RESTRICTED BY THIS AGREEMENT.

ASSERT-PV V2R8 (VERSION 2 RELEASE 8)
1998 JULY

COPY OF USER INPUT

00003 0.00008 * sheath roughness of 0.8 um.
 00006 64.0 -1.0 * laminar friction factor f = 64 Re
 00007 0.0 * axial relative velocity coefficients (not used)
 00008 1.50 2.00 * lateral relative velocity coefficients

**** / Group 3: Axial Heat Flux Distribution

**** / Exponent-skewed cosine axial heat flux profile from the RUFIC bundles ????????

**** / This profile reflects the unheated bundle end-plates at the beginning
and the end of the channel, each assumed to be 0.75 cm long.

**** / The heat fluxes are normalized by the average heat flux over the HEATED
length

00009 3 64
 00010 0.0 0.0159 1790.0317.3347.0476.4635.0633.5794.0794.6864
 00011 .0527844111.87291270.9514.29112413871.09117461.152
 1905129822063.253.2221.304.2381.147.25401.382.26981.404
 00012 28571410.30161.306.31751.374.33331.3491.34921.322.36311.299
 00013 38101.282.30681.269.41271.250.42961.234.44441.220.46031.208
 00014 47621.197.49211.187.50791.178.52381.170.53871.164.55561.159
 00015 57141.156.58731.154.60321.133.61901.152.63491.152.65081.158
 00016 .66711.66.68251.173.694.41.177.71.431.173.73021.156.74601.127
 00017 76191.690.77781.048.79371.004.8095.9389.825.1984.84130.856
 00018 8571.793.8730.7408.8881.6774.9348.6070.9206.5301.93650.447
 00019 9324.3574.9085.2584.8841.1380 1.0 0.0

**** / Group 4: Subchannel Layout and Dimension Data

**** / RUFIC 49-Rod Full Bundle
 **** / Fresh fuel radial flux distribution (RFD).
 **** / Produced by CANGEO code.

**** / Fuel Channel Dimensions:

- **** / Pressure tube inside diameter = 10.663 cm(10.388 design value)
- **** / Bundle diameter (fin bearing pads) = 10.250 cm(10.268 37-element)
- **** / Rod diameter (8 inner) = 1.350 cm
- **** / Rod diameter (35 outer) = 1.150 cm
- **** / Ring = Rods Diameter Offset = RFD
- **** / - centre 1 0.0 0 0.910
- **** / - inner 7 3.468 0 0.947
- **** / - intermediate 14 6.150 12.857143 0.988
- **** / - outer 21 8.768 0 1.090

**** / Computed Total Dimensions:

- **** / flow area = 36.13361 cm²
- **** / wetted perimeter = 192.83609 cm
- **** / heated perimeter = 160.37939 cm
- **** / hydraulic diameter = 7.49442 cm

00021 4 70 70
 00022 1.45972.1212.121 7.3840.8545270.0 8.15471.329 257 2.3840.8545141.4
 00023 2.45972.1212.121 10.15471.329 77.1 3.3840.8545192.9
 00024 3.45972.1212.121 12.15471.329128.6 4.3840.8545244.3
 00025 4.45972.1212.121 14.15471.329180.0 5.3840.8545295.7
 00026 5.45972.1212.121 16.15471.329231.4 6.3840.8545347.1
 00027 6.45972.1212.121 18.15471.329282.9 7.3840.8545 38.6
 00028 7.45972.1212.121 20.15471.329334.3
 00029 8.28333.9183.918 21.18721.133207.6 23.21851.334 25.7 9.18721.133138.8
 00030 9.28333.9051.906 25.21851.8861.51.4 10.18721.133169.1
 00031 10.28333.9183.918 27.21851.334 77.1 11.18721.133165.2
 00032 11.28333.9061.906 29.21851.8861.1029 12.18721.133220.5
 00033 12.28333.9183.918 31.21851.334128.6 13.18721.133216.7
 00034 13.28333.9061.906 33.21851.8861.164.3 14.18721.133271.3
 00035 14.28333.9061.906 35.21851.33421.0 15.18721.133268.1
 00036 15.28333.9061.906 37.21851.8861.205 16.18721.133252.3
 00037 16.28333.9183.918 39.21851.334221.4 17.18721.133193.5
 00038 17.28351.9061.906 41.21851.8861.257.1 18.18721.133 148
 00039 18.28351.9183.918 43.21851.334282.9 19.18721.133 109
 00040 19.28351.9061.906 45.21851.8861.308.6 20.18721.133 66.2
 00041 20.28333.9183.918 47.21851.33434.3 21.18721.133 62.4
 00042 21.28351.9061.906 49.21851.8861 0.0
 00043 22.30911.8061.806 49.3858.7030241.8 50.15681.310 6.9 23.18751.104119.4
 00044 23.74938.6133.613 51.15681.522 26.3 24.18751.104112.0
 00045 24.30911.8061.806 52.15681.263 45.1 25.3958.7030169.7
 00046 25.42911.8061.806 26.3958.7030113.2
 00047 26.30601.8051.806 34.15681.214.59.1 27.18751.104170.8
 00048 27.74938.6133.613 54.15681.392 77.9 28.18751.104163.5
 00049 28.30601.8061.806 55.15681.107 97.1 29.3958.7030221.1
 00050 29.42911.8061.806 30.3958.7030164.6
 00051 30.30601.8061.806 56.15681.052109.0 31.18751.104222.3
 00052 31.74938.6133.613 57.15681.230128.8 32.18751.104214.9
 00053 32.30601.8061.806 58.15681.522147.4 33.3958.7030272.5
 00054 33.42911.8061.806 59.15681.7050216.1
 00055 34.30601.8061.806 50.15681.927015.6 35.18751.104273.7
 00056 35.74938.6133.613 60.15681.145180.9 36.18751.104265.3
 00057 36.30601.8061.806 61.15681.976200.5 37.3958.7030524.9
 00058 37.42911.8061.806 38.3958.703267.5
 00059 38.30601.8061.806 62.15681.9367212.9 39.18751.104325.1
 00060 39.74938.6133.613 63.15681.230231.9 40.18751.104317.7
 00061 40.30601.8061.806 64.15681.052251.0 41.3958.7030 15.4
 00062 41.42911.8061.806 42.3958.7030318.9
 00063 42.30601.8061.806 65.15681.107262.2 43.18751.104 165
 00064 43.74938.6133.613 66.15681.392282.1 44.18751.104 92
 00065 44.30601.8061.806 67.15681.214300.5 45.3958.7030 66.8
 00066 45.42911.8061.806 46.3958.7030 10.3
 00067 46.30601.8061.806 68.15681.261314.1 47.18751.104 68.0
 00068 47.74938.6133.613 69.15681.522333.7 48.18751.104 69.6
 00069 48.30601.8061.806 70.15681.31033.1 49.3958.7030118.2
 00070 49.42911.8061.806
 00071 50.3883.7151.902 70.70301.553270.0 51.68621.554107.9
 00072 51.13443.0981.94 52.64061.548125.7
 00073 52.12403.0711.98 53.57001.526148.3
 00074 54.1033.6341.984 54.48191.307108.8
 00075 54.94033.5941.980 55.38481.387178.0
 00076 55.78883.5341.977 56.26761.468195.0
 00077 56.61883.5101.973 57.19881.452211.9
 00078 57.51683.4001.970 58.12531.444228.7
 00079 58.42203.4681.976 59.07341.441245.3
 00080 60.34293.4301.96 60.04641.441261.8
 00081 60.34293.4301.96 61.04641.441278.2
 00082 61.36253.4351.97 62.07341.441234.7
 00083 62.42203.4681.968 63.12531.43311.3
 00084 63.51683.4301.970 64.18751.443328.1
 00085 64.42203.4681.973 65.26761.443328.0
 00086 65.78883.5341.976 66.38481.387 2.0
 00087 66.94683.5041.980 67.48191.507 192
 00088 67.10333.6341.984 68.57001.526 367
 00089 68.12403.6711.98 69.64091.547 54.3
 00090 69.3443.6391.991 70.68621.554 72.1
 00091 70.13933.7151.902

**** / Group 7: Appendage Loss Factors (Uniform)

Appendage Types:

- 1) Bundle Inlet
- 2) Oblong Buttons (used)
- 3) Cylindrical Buttons (not used)

**** / 4) Midplane Spacer and Bearing Pads
 **** / 5) Bundle Junction
 **** / Description:
 **** / Appendage loss factors are obtained from AECL Memo (FCT-00-90, Sept. 2000).
 **** / Bearing pad height was assumed 1.4 mm.
 **** / Each subchannel K-factor was assumed uniform
 **** /

	7	2	0	73	5	
	Axial Location and Appendage Type ---					
00092	0.002	1.0091	2.0209	3.0417	4.0624	3.0743 2
00093	0.833	5.0924	2.1043	3.1250	4.1457	3.1576 2
00095	.1667	5.1757	2.1876	3.2083	4.2291	3.2409 2
00096	2.500	5.2501	2.2709	3.2917	4.3124	3.3243 2
00097	.3333	5.3424	2.3543	3.3750	4.3957	3.4076 2
00098	.4167	5.4257	2.4376	3.4583	4.4791	3.4909 2
00099	.5000	5.5091	2.5209	3.5417	4.5624	3.5742 2
00100	.5833	5.5924	2.6043	3.6250	4.6457	3.6776 2
00101	.6667	5.6757	2.6876	3.7083	4.7291	3.7729 2
00102	.7500	5.7501	2.7709	3.7917	4.8124	3.8243 2
00103	.8333	5.8324	2.8543	3.8750	4.8957	3.9376 2
00104	.9167	5.9157	2.9376	3.9583	4.9791	3.9909 2
00105	.9998	5				

**** * --- Type 1 : Bundle Entrance & Exit ---

00106	13.536
00107	23.536
00108	33.536
00109	43.536
00110	53.536
00111	63.536
00112	73.536
00113	83.536
00114	93.536
00115	103.536
00116	113.536
00117	123.536
00118	133.536
00119	143.536
00120	153.536
00121	163.536
00122	173.536
00123	183.536
00124	193.536
00125	203.536
00126	213.536
00127	223.536
00128	233.536
00129	243.536
00130	253.536
00131	263.536
00132	273.536
00133	283.536
00134	293.536
00135	303.536
00136	313.536
00137	323.536
00138	333.536
00139	343.536
00140	353.536
00141	363.536
00142	373.536
00143	383.536
00144	393.536
00145	403.536
00146	413.536
00147	423.536
00148	433.536
00149	443.536
00150	453.536
00151	463.536
00152	473.536
00153	483.536
00154	493.536
00155	503.536
00156	513.536
00157	523.536
00158	533.536
00159	543.536
00160	553.536
00161	563.536
00162	573.536
00163	583.536
00164	593.536
00165	603.536
00166	613.536
00167	623.536
00168	633.536
00169	643.536
00170	653.536
00171	663.536
00172	673.536
00173	683.536
00174	693.536
00175	703.536

**** * --- Type 2 : Bearing Pads ---

00176	1.0001
00177	2.0001
00178	3.0001
00179	4.0001
00180	5.0001
00181	6.0001
00182	7.0001
00183	8.0001
00184	9.0001
00185	10.0001
00186	11.0001
00187	12.0001
00188	13.0001
00189	14.0001
00190	15.0001
00191	16.0001
00192	17.0001
00193	18.0001
00194	19.0001
00195	20.0001
00196	21.0001
00197	22.0001
00198	23.0001
00199	24.0001
00200	25.0001
00201	26.0001
00202	27.0001
00203	28.0001
00204	29.0001

00205	30.0001
00206	31.0001
00207	32.0001
00208	33.0001
00209	34.0001
00210	35.0001
00211	36.0001
00212	37.0001
00213	38.0001
00214	39.0001
00215	40.0001
00216	41.0001
00217	42.0001
00218	43.0001
00219	44.0001
00220	45.0001
00221	46.0001
00222	47.0001
00223	48.0001
00224	49.0001
00225	50.0001
00226	51.0001
00227	52.0001
00228	53.0001
00229	54.0001
00230	55.0001
00231	56.0001
00232	57.0001
00233	58.0001
00234	59.0001
00235	60.0001
00236	61.0001
00237	62.0001
00238	63.0001
00239	64.0001
00240	65.0001
00241	66.0001
00242	67.0001
00243	68.0001
00244	69.0001
00245	70.0001

----- Type 3: Cylindrical Buttons -----

00246	1.0707
00247	2.0707
00248	3.0707
00249	4.0707
00250	5.0707
00251	6.0707
00252	7.0707
00253	8.0707
00254	9.0707
00255	10.0707
00256	11.0707
00257	12.0707
00258	13.0707
00259	14.0707
00260	15.0707
00261	16.0707
00262	17.0707
00263	18.0707
00264	19.0707
00265	20.0707
00266	21.0707
00267	22.0707
00268	23.0707
00269	24.0707
00270	25.0707
00271	26.0707
00272	27.0707
00273	28.0707
00274	29.0707
00275	30.0707
00276	31.0707
00277	32.0707
00278	33.0707
00279	34.0707
00280	35.0707
00281	36.0707
00282	37.0707
00283	38.0707
00284	39.0707
00285	40.0707
00286	41.0707
00287	42.0707
00288	43.0707
00289	44.0707
00290	45.0707
00291	46.0707
00292	47.0707
00293	48.0707
00294	49.0707
00295	50.0707
00296	51.0707
00297	52.0707
00298	53.0707
00299	54.0707
00300	55.0707
00301	56.0707
00302	57.0707
00303	58.0707
00304	59.0707
00305	60.0707
00306	61.0707
00307	62.0707
00308	63.0707
00309	64.0707
00310	65.0707
00311	66.0707
00312	67.0707
00313	68.0707
00314	69.0707
00315	70.0707

----- Type 4: Midplane Spacer and Bearing Pads -----

00316	1.1325
00317	2.1325
00318	3.1325
00319	4.1325
00320	5.1325
00321	6.1325
00322	7.1325
00323	8.1325
00324	9.1325
00325	10.1325
00326	11.1325
00327	12.1325

00328	13.1325
00329	14.1325
00330	15.1325
00331	16.1325
00332	17.1325
00333	18.1325
00334	19.1325
00335	20.1325
00336	21.1325
00337	22.1325
00338	23.1325
00339	24.1325
00340	25.1325
00341	26.1325
00342	27.1325
00343	28.1325
00344	29.1325
00345	30.1325
00346	31.1325
00347	32.1325
00348	33.1325
00349	34.1325
00350	35.1325
00351	36.1325
00352	37.1325
00353	38.1325
00354	39.1325
00355	40.1325
00356	41.1325
00357	42.1325
00358	43.1325
00359	44.1325
00360	45.1325
00361	46.1325
00362	47.1325
00363	48.1325
00364	49.1325
00365	50.1325
00366	51.1325
00367	52.1325
00368	53.1325
00369	54.1325
00370	55.1325
00371	56.1325
00372	57.1325
00373	58.1325
00374	59.1325
00375	60.1325
00376	61.1325
00377	62.1325
00378	63.1325
00379	64.1325
00380	65.1325
00381	66.1325
00382	67.1325
00383	68.1325
00384	69.1325
00385	70.1325
*****	Type 5: Bundle Junction ***
00386	1.3585
00387	2.3585
00388	3.3585
00389	4.3585
00390	5.3585
00391	6.3585
00392	7.3585
00393	8.3585
00394	9.3585
00395	10.3585
00396	11.3585
00397	12.3585
00398	13.3585
00399	14.3585
00400	15.3585
00401	16.3585
00402	17.3585
00403	18.3585
00404	19.3585
00405	20.3585
00406	21.3585
00407	22.3585
00408	23.3585
00409	24.3585
00410	25.3585
00411	26.3585
00412	27.3585
00413	28.3585
00414	29.3585
00415	30.3585
00416	31.3585
00417	32.3585
00418	33.3585
00419	34.3585
00420	35.3585
00421	36.3585
00422	37.3585
00423	38.3585
00424	39.3585
00425	40.3585
00426	41.3585
00427	42.3585
00428	43.3585
00429	44.3585
00430	45.3585
00431	46.3585
00432	47.3585
00433	48.3585
00434	49.3585
00435	50.3585
00436	51.3585
00437	52.3585
00438	53.3585
00439	54.3585
00440	55.3585
00441	56.3585
00442	57.3585
00443	58.3585
00444	59.3585
00445	60.3585
00446	61.3585
00447	62.3585
00448	63.3585
00449	64.3585
00450	65.3585
00451	66.3585

```

00452   67.3586
00453   68.3586
00454   69.3586
00455   70.3586
***** / Group 8: Rod Layout and Radial Power Data
***** / RUFIC 48-Rod Full Bundle
***** / Fresh fuel radial flux distribution (RFD).
***** / Produced by CANGECO
***** /
00456   8   43   43   0   0   5   0   1   0   0   0   1
00457   11.3500.839  1.1420  2.1420  3.1420  4.1420  5.1420  6.1420  7.1420
00458   21.3500.908  1.1786  7.1786  20.2425  21.1579  8.2425
00459   31.3500.908  1.1786  8.2425  9.1579  10.2425  2.1786
00460   41.3500.908  2.1786  10.2425  11.1579  12.2425  3.1786
00461   51.3500.908  3.1786  12.2425  13.1579  14.2425  4.1786
00462   61.3500.908  4.1786  14.2425  15.1579  16.2425  5.1786
00463   71.3500.908  5.1786  16.2425  17.1579  18.2425  6.1786
00464   81.3500.908  6.1786  18.2425  19.1579  20.2425  7.1786
00465   91.1500.889  8.2375  21.1710  49.1770  22.1481  23.2463
00466   101.1500.889  8.2375  23.2463  24.1481  25.1770  9.1710
00467   111.1500.889  9.1710  25.1770  26.1481  27.2463  10.2575
00468   121.1500.889  10.2575  27.2463  28.1481  29.1770  11.1710
00469   131.1500.889  11.1710  29.1770  30.1481  31.2463  12.2575
00470   141.1500.889  12.2575  31.2463  32.1481  33.2463  13.2575
00471   151.1500.889  13.2575  33.2463  34.1481  35.2463  14.2575
00472   161.1500.889  14.2575  35.2463  36.1481  37.1770  15.1710
00473   171.1500.889  15.1710  37.1770  38.1481  39.2463  16.2575
00474   181.1500.889  16.2575  39.2463  40.1481  41.1770  17.1710
00475   191.1500.889  17.1710  41.1770  42.1481  43.2463  18.2575
00476   201.1500.889  18.2575  43.2463  44.1481  45.1770  19.1710
00477   211.1500.889  19.1710  45.1770  46.1481  47.2463  20.2575
00478   221.1500.889  20.2575  47.2463  48.1481  49.1770  21.1710
00479   231.1501.118  48.1532  70.2738  50.2738  22.1532  49.1460
00480   241.1501.118  22.1987  50.2776  51.2700  23.2357
00481   251.1501.118  23.2357  51.2810  52.2666  24.1987
00482   261.1501.118  24.1532  52.2836  53.2640  26.1532  52.2836
00483   271.1501.118  26.1987  53.2852  54.2624  27.2337
00484   281.1501.118  27.2537  54.2858  55.2618  28.1987
00485   291.1501.118  28.1532  55.2853  56.2624  30.1532  29.1460
00486   301.1501.118  30.1987  56.2858  57.2638  31.2337
00487   311.1501.118  31.2337  57.2815  58.2661  32.1887
00488   321.1501.118  32.1532  58.2797  59.2690  34.1532  33.1460
00489   331.1501.118  34.1987  59.2797  60.2690  35.1532
00490   341.1501.118  35.2257  60.2722  61.2755  36.1887
00491   351.1501.118  36.1532  61.2900  62.2787  38.1532  37.1460
00492   361.1501.118  38.1987  62.2661  63.2915  39.2337
00493   371.1501.118  39.2337  63.2638  64.2838  40.1987
00494   381.1501.118  40.1532  64.2624  65.2553  42.1532  41.1460
00495   391.1501.118  42.1987  65.2618  66.2838  43.2337
00496   401.1501.118  43.2537  66.2624  67.2832  44.1987
00497   411.1501.118  44.1532  67.2640  68.2836  46.1532  45.1460
00498   421.1501.118  46.1987  68.2666  69.2910  47.2337
00499   431.1501.118  47.2337  69.2700  70.2776  48.1987
00500   0   0   1   0   * apply CHF correction factor for orientation
***** / Group 9: Calculation Control Data
***** /
00501   9   0   0   0   0   0   0   3   0
00502   18   18   200   1   0.1E-6   1.E-4   LE-6   1.E-5   1.E-5
00503   1.E-10   0.05   0.05   0
00504   594.4   146   90.0   1.0   0.667/0.667   1.00.667
00505   1249.5348/0.03   10
***** / Group 10: Mixing Parameters
***** /
00506   10   1   0
00507   0.05   0.0   * Constant turbulent void diffusion mixing coefficient
***** / Group 11: Operating Conditions and Forcing Function Data
***** /
00508   11   1   1
00509   * Pint   Tin   G   Q*
00510   10.00   256.00   5.5350   1.028384   * 20 kg/s, 9.5 MW
***** / Group 12: Output Printout Options
***** /
00511   12   0   1   0   0   9   0   0   0   6
00512   4   5   6   7   8   9   10   11   12
00513   0
00514   0

```

1 ASSERT-PV DIMENSION PARAMETERS

- MC - Number of subchannels. Add 1 for the pressure tube and 2 for the feeders.
- MR - Number of fuel rods.
- MG - Number of subchannel gap connections. Add 1 for the pressure tube.
- MIX - Number of axial locations for control volumes. Add 4 for the inlet and exit plenum and their boundaries to satisfy maxNDIX*4, NDXIN*4, NDXIEX*4.
- MN - Number of radial nodes in TEMP2 fuel rod model (helium gap, cladding). Number of fuel pellet locations (axial, plus 3 gaps, cladding) for the TEMP2 fuel model. TEMP2 requirements normally determine this PARAMETER.
- MP - Number of entries in property table.
- MO - Number of gaps associated with a subchannel pair. LJI=MO+1 in dimension of LOCALLJLIMG. Use MO=5 for hexagonal array. Use MO=7 for square array including CANUDU.
- MSC - Number of azimuthal segments for fuel rod. Use 6 for up to six subchannels surrounding a rod.
- ML - Number of axial locations for gap and area variations.
- MA - Number of subchannels that can have area variations.
- MS - Number of gaps that can have gap spacing variations.
- MZ - Number of axial locations for grid spacers (appendages).
- MK - Number of grid spacer types.
- MT - Number of fuel types. Use 1 since only one fuel type is presently used in ASSERT-PV.
- MY - Number of axial fuel type subdivisions. Use 1 since axially varying zones are not presently supported in ASSERT-PV.
- MD - Number of elements in coefficient matrix COEFF(MD,MD), right side vector ERRORMD) and solution vector ANSWERMD. COEFF is used for both square and banded matrices. Set MD to the maximum of MC (MOMAX), MN (TEMP2) or 2*MX (REBAL2).
- MAXNS - Maximum number of neighbouring subchannels

MC= 100 MG= 201 MR= 100 MN= 10
 MW= 1 MP= 100 MN= 250 MB= 1
 MY= 1 MK= 25 NZ= 150 MS= 25
 MA= 35 ML= 50 NT= 1 MI= 1
 MO= 7 NI= 8 NI= 3 MD= 500
 INPUT FOR CASE 80101 ASSERT-PV V2R8 Input Modelling : RUFIC(CANFLEX-RU) CANDU Base DATE 101-1-18 TIME 16:18:31

SUMMARY OF INPUT OPTIONS											
GROUP	N1	N2	N3	N4	N5	N6	N7	N8	N9	N10	N11
0	0	0	1	0	2	0	0	0	0	0	0
1	2	6	0	1	0	1	1	0	0	0	0
2	64	0	0	0	0	0	0	0	0	0	0
3	70	0	0	0	0	0	0	0	0	0	0
4	72	0	73	5	0	0	0	0	0	0	0
5	43	43	0	0	5	0	1	0	0	0	1
6	0	0	0	0	0	3	0	0	0	0	0
7	10	1	0	0	0	0	0	0	0	0	0
8	1	1	0	0	0	0	0	0	0	0	0
9	0	1	0	0	9	0	0	6	0	0	0
10	0	1	0	0	0	0	0	0	0	0	0
11	0	1	0	0	0	0	0	0	0	0	0
12	0	1	0	0	9	0	0	6	0	0	0

-----GROUP 1: WATER-STEAM PROPERTY TABLE-----

PROPERTY TABLE HEAVY-WATER PROPERTIES FROM HLWP

P (MPAI)	T (DEG. C)	VF (M3/KG)	VG (M3/KG)	HF (KJ/KG)	HG (KJ/KG)	VIISC. (KG/S-MI)	KF (W/M-C)	SIGMA (N/M)
0.0010	9.62	0.000004	117.28708	24.62	233.59	0.001759	0.592753	0.073550
0.0020	20.03	0.000005	60.52071	68.74	235.86	0.001234	0.348051	0.071850
0.0040	31.34	0.000007	31.41717	116.70	236.75	0.000661	0.612420	0.070117
0.0080	55.27	0.000008	25.48753	133.04	237.14	0.000873	0.616880	0.064492
0.0090	58.52	0.000009	21.48891	146.66	238.51	0.000810	0.620360	0.068958
0.0080	43.70	0.000010	16.38434	169.04	239.25	0.000734	0.625522	0.068121
0.0100	47.94	0.000012	13.27885	186.93	237.27	0.000689	0.628414	0.067415
0.0200	62.15	0.000018	6.91164	246.61	242.13	0.000538	0.640217	0.064974
0.0400	77.62	0.000025	3.60967	311.91	245.07	0.000432	0.648505	0.062208
0.0500	83.15	0.000029	2.92800	335.07	245.45	0.000402	0.650563	0.061195
0.0600	87.78	0.000032	2.46821	354.21	246.48	0.000390	0.651938	0.060338
0.0800	95.10	0.000037	1.88423	384.44	247.85	0.000349	0.633486	0.058953
0.1000	101.05	0.000041	1.52092	409.49	248.87	0.000327	0.634181	0.057855
0.2000	121.57	0.000057	0.79466	495.54	239.98	0.000267	0.629156	0.053844
0.3000	134.56	0.000058	0.54384	549.02	237.08	0.000234	0.640241	0.052241
0.4000	145.53	0.000057	0.41295	586.47	237.36	0.000220	0.645254	0.051715
0.5000	152.47	0.000063	0.32939	624.55	238.85	0.000237	0.641024	0.047732
0.6000	159.73	0.000063	0.28397	654.25	236.76	0.000197	0.636742	0.046656
0.7000	165.93	0.0000100	0.24515	680.22	236.21	0.000189	0.632350	0.044746
0.8000	171.39	0.0000066	0.21571	703.08	236.26	0.000182	0.628477	0.045583
0.9000	176.23	0.000012	0.19360	723.42	237.61	0.000177	0.624614	0.042542
1.0000	180.59	0.000017	0.17398	741.83	237.35	0.000172	0.620430	0.041598
1.5000	198.58	0.000042	0.11737	819.16	238.02	0.000155	0.603700	0.037643
2.0000	212.62	0.000062	0.08457	840.36	234.63	0.000144	0.588072	0.034491
2.5000	224.22	0.000081	0.07108	911.86	237.88	0.000136	0.573532	0.031820
3.0000	234.19	0.000099	0.05930	975.76	238.93	0.000129	0.560511	0.025544
3.5000	242.63	0.000116	0.05040	1014.08	238.42	0.000125	0.548600	0.027576
4.0000	250.14	0.000132	0.04436	1048.83	236.73	0.000121	0.537563	0.025826
5.0000	257.08	0.000147	0.03723	1081.53	234.12	0.000117	0.523224	0.024200
6.0000	263.52	0.000163	0.03320	1112.03	230.74	0.000114	0.516940	0.022689
7.0000	269.47	0.000178	0.03180	1140.63	238.61	0.000112	0.508126	0.021211
8.0000	275.03	0.000183	0.02981	1167.76	238.08	0.000109	0.497577	0.019846
9.0000	280.49	0.000199	0.02750	1193.59	237.49	0.000107	0.484964	0.018651
10.0000	285.27	0.000223	0.02423	1219.74	237.33	0.000105	0.470778	0.017730
12.0000	299.03	0.000228	0.02235	1249.31	236.37	0.000104	0.471089	0.016504
14.0000	314.56	0.000233	0.02093	1266.03	235.81	0.000102	0.492728	0.015450
15.0000	328.88	0.000238	0.01850	1288.45	235.96	0.000100	0.454624	0.014462
16.0000	332.99	0.000244	0.01821	1310.16	234.72	0.000099	0.446781	0.013528
17.0000	340.91	0.000300	0.01703	1331.23	237.08	0.000098	0.438186	0.012644
18.0000	310.66	0.000316	0.01691	1351.71	232.03	0.000097	0.431840	0.011809
19.0000	314.24	0.000332	0.01503	1371.69	232.60	0.000095	0.424730	0.011019
20.0000	317.66	0.000349	0.01418	1391.23	231.76	0.000094	0.417863	0.010271
21.0000	320.93	0.000365	0.01337	1410.40	232.49	0.000093	0.411216	0.009563
22.0000	324.09	0.000384	0.01263	1429.27	232.82	0.000093	0.404775	0.008801
23.0000	327.11	0.000403	0.01194	1447.92	232.72	0.000092	0.398525	0.008232
24.0000	330.03	0.000422	0.01130	1466.40	247.20	0.000091	0.392448	0.007644
25.0000	332.86	0.000442	0.01071	1484.80	246.20	0.000090	0.396322	0.007064
26.0000	335.61	0.000463	0.01015	1503.17	244.82	0.000089	0.390724	0.006508
27.0000	338.28	0.000485	0.00962	1521.60	243.82	0.000089	0.373027	0.005975
28.0000	340.90	0.000508	0.00912	1540.08	242.19	0.000087	0.368465	0.005492
29.0000	343.77	0.000532	0.00859	1559.62	241.86	0.000087	0.363635	0.004995
30.0000	348.47	0.000565	0.00777	1566.20	239.81	0.000086	0.352903	0.004427
31.0000	350.87	0.000615	0.00736	1615.31	236.96	0.000086	0.347450	0.003589
32.0000	353.21	0.000647	0.00696	1634.68	235.07	0.000085	0.342205	0.003170
33.0000	355.49	0.000683	0.00637	1654.66	231.84	0.000085	0.337062	0.002770
34.0000	357.72	0.000723	0.00519	1675.58	231.93	0.000084	0.332016	0.002388
35.0000	360.90	0.000768	0.00582	1697.78	230.08	0.000084	0.327053	0.002024
36.0000	362.02	0.000821	0.00544	1721.60	226.38	0.000083	0.322183	0.001676
37.0000	364.11	0.000865	0.00503	1747.49	226.60	0.000083	0.317380	0.001345

SATURATION PROPERTIES CALCULATED AT CHANNEL 1 PRESSURE

SUBMODELS (CHF) BASED ON HEAVY-WATER COOLANT

-----GROUP 2: FRICTION FACTORS AND TWO PHASE FLOW OPTIONS-----

FRICTION FACTOR CORRELATION

Subchannel type: E, f = max (Colebrook type 2 roughness height = 8.00E-04 cm), 64.000*Re**(-1.000) + 0.0000

WALL VISCOSITY CORRECTION TO FRICTION FACTOR IS NOT INCLUDED

TWO-PHASE FLOW CORRELATIONS

LIQUID THERMAL NON-EQUILIBRIUM

VAPOUR THERMAL EQUILIBRIUM

Friedel Two-Phase Friction Multiplier

Two-phase multiplier for form losses: Homogeneous model

RELATIVE VELOCITY PARAMETERS

AXIAL DIRECTION 1 0.0000 0.0000 0.0000 0.0000

LATERAL DIRECTION 1 1.5000 2.0000 0.0000 0.0000

BLATRAL MOMENTUM GRAVITY HEAD TERMS INCLUDED

-----GROUP 3: AXIAL HEAT FLUX PROFILE TABLE-----

AXIAL LOCATION RELATIVE

IN L' KM HEAT FLUX

0.000	0.00	0.000
0.016	0.45	0.179
0.032	18.84	0.335
0.048	28.29	0.464
0.064	37.74	0.575
0.080	47.19	0.676
0.095	56.58	0.764
0.111	66.03	0.873
0.127	75.48	0.952
0.143	84.93	1.024
0.159	94.32	1.091
0.175	103.78	1.152
0.191	113.23	1.208
0.206	122.62	1.258
0.222	132.07	1.304
0.238	141.52	1.347
0.254	150.97	1.382
0.270	160.36	1.404
0.286	169.81	1.410
0.302	179.26	1.396
0.318	188.71	1.373
0.334	198.10	1.349
0.349	207.55	1.322
0.365	217.00	1.299
0.381	226.45	1.282
0.397	235.84	1.266
0.413	245.24	1.250
0.429	254.74	1.234
0.444	264.13	1.220
0.460	273.58	1.208
0.476	283.03	1.197
0.492	292.48	1.187
0.508	301.88	1.178
0.524	311.33	1.170
0.540	320.78	1.164
0.555	330.23	1.159
0.571	339.62	1.156
0.587	349.07	1.151
0.603	358.52	1.153
0.619	367.91	1.152
0.635	377.36	1.152
0.651	386.81	1.153
0.667	396.26	1.166
0.683	405.65	1.173
0.699	415.10	1.177
0.714	424.55	1.173
0.730	434.00	1.156
0.746	443.39	1.127
0.762	452.84	1.090
0.778	462.29	1.048
0.794	471.74	1.040
0.810	481.13	0.959
0.825	490.58	0.998
0.841	500.04	0.956
0.857	509.43	0.900
0.873	518.88	0.741
0.889	528.33	0.677
0.905	537.78	0.607
0.921	547.17	0.530
0.937	556.62	0.447
0.952	566.07	0.357
0.968	575.52	0.258
0.984	584.91	0.138
1.000	594.36	0.000

WEIGHTED AVERAGE AXIAL HEAT FLUX (assuming AFD normalized over channel length) = 1.00009

-----GROUP 4: SUBCHANNEL LAYOUT AND DIMENSION DATA-----

SURCHANNEL INPUT DATA

CHANNEL NO.	TYPE	FLOW AREA [CM ²]	WETTED PERIM. [CM]	PERIM. [CM]	HEATED DIAMETER [CM]	HYDRAULIC DIAMETER [CM]	(ADJACENT CHANNEL NO.)	SPACING [CM]	CENTROID DIST. [CM]	GAP ANGLE [DEG.]
1	1	0.4597	3.1210	3.1210	0.88935	(7.03840.875,	270.)	0.1554.320,	26.)	2.03840.855, 141.)
2	1	0.4597	3.1210	3.1210	0.88935	(10.0155.132,	77.)	0.3844.0455,	195.)	0.00000.000, 0.)
3	1	0.4597	3.1210	3.1210	0.88935	(12.0155.132,	125.)	0.3844.0455,	245.)	0.00000.000, 0.)
4	1	0.4597	3.1210	3.1210	0.88935	(14.0155.132,	180.)	0.3844.0455,	295.)	0.00000.000, 0.)
5	1	0.4597	3.1210	3.1210	0.88935	(16.0155.132,	231.)	0.3844.0455,	347.)	0.00000.000, 0.)
6	1	0.4597	3.1210	3.1210	0.88935	(18.0155.132,	283.)	0.3844.0455,	391.)	0.00000.000, 0.)
7	1	0.4597	3.1210	3.1210	0.88935	(20.0155.132,	334.)	0.00000.000,	0.)	0.00000.000, 0.)
8	1	0.8833	3.9180	3.9180	0.85074	21.0187.1.133,	281.)	0.219.1.134,	26.)	9.0187.1.133, 114.)
9	1	0.2835	1.9060	1.9060	0.53496	(23.0219.0.885,	51.)	0.187.1.133,	169.)	0.00000.000, 0.)
10	1	0.8833	3.9180	3.9180	0.85074	(27.0219.1.334,	77.)	11.0187.1.133,	165.)	0.00000.000, 0.)
11	1	0.2835	1.9060	1.9060	0.53496	(29.0219.0.885,	103.)	12.0187.1.133,	221.)	0.00000.000, 0.)
12	1	0.8833	3.9180	3.9180	0.85074	(31.0219.1.334,	129.)	13.0187.1.133,	217.)	0.00000.000, 0.)
13	1	0.2835	1.9060	1.9060	0.53496	(33.0219.0.885,	151.)	14.0187.1.133,	272.)	0.00000.000, 0.)
14	1	0.8833	3.9180	3.9180	0.85074	(35.0219.1.334,	180.)	15.0187.1.133,	268.)	0.00000.000, 0.)
15	1	0.2835	1.9060	1.9060	0.53496	(37.0219.0.885,	206.)	16.0187.1.133,	323.)	0.00000.000, 0.)
16	1	0.2835	3.9180	3.9180	0.85074	(39.0219.1.334,	234.)	17.0187.1.133,	380.)	0.00000.000, 0.)
17	1	0.2835	3.9180	3.9180	0.85074	(41.0219.0.885,	257.)	18.0187.1.133,	45.)	0.00000.000, 0.)
18	1	0.8833	3.9180	3.9180	0.85074	(43.0219.1.334,	283.)	19.0187.1.133,	11.)	0.00000.000, 0.)
19	1	0.2835	1.9060	1.9060	0.53496	(45.0219.0.885,	309.)	20.0187.1.133,	66.)	0.00000.000, 0.)
20	1	0.8833	3.9180	3.9180	0.85074	(47.0219.1.334,	334.)	21.0187.1.133,	62.)	0.00000.000, 0.)
21	1	0.2835	1.9060	1.9060	0.53496	(49.0219.0.885,	0.)	0.00000.000,	0.)	0.00000.000, 0.)
22	1	0.3006	1.8060	1.8060	0.68571	(49.0396.0.705,	242.)	50.0157.1.310,	7.)	23.0188.1.104, 118.)
23	1	0.7489	3.6130	3.6130	0.83022	(51.0157.1.522,	240.)	24.0188.1.104,	112.)	0.00000.000, 0.)
24	1	0.3006	1.8060	1.8060	0.68571	(52.0157.1.263,	46.)	25.0396.0.705,	170.)	0.00000.000, 0.)
25	1	0.4291	1.8060	1.8060	0.95039	(26.0396.0.705,	113.)	0.00000.000,	0.)	0.00000.000, 0.)
26	1	0.3096	1.8060	1.8060	0.68571	(54.0157.1.214,	50.)	27.0188.1.104,	171.)	0.00000.000, 0.)
27	1	0.7489	3.6130	3.6130	0.83022	(56.0157.1.392,	78.)	28.0188.1.104,	164.)	0.00000.000, 0.)
28	1	0.3096	1.8060	1.8060	0.68571	(58.0157.1.107,	97.)	29.0186.0.705,	221.)	0.00000.000, 0.)
29	1	0.4291	1.8060	1.8060	0.95039	(30.0396.0.705,	165.)	0.00000.000,	0.)	0.00000.000, 0.)
30	1	0.3096	1.8060	1.8060	0.68571	(36.0157.1.392,	201.)	37.0188.1.104,	222.)	0.00000.000, 0.)
31	1	0.7489	3.6130	3.6130	0.83022	(38.0157.1.263,	229.)	39.0188.1.104,	222.)	0.00000.000, 0.)
32	1	0.3096	1.8060	1.8060	0.68571	(39.0157.0.937,	147.)	33.0396.0.702,	275.)	0.00000.000, 0.)
33	1	0.4291	1.8060	1.8060	0.95039	(40.0396.0.703,	166.)	0.00000.000,	0.)	0.00000.000, 0.)
34	1	0.3096	1.8060	1.8060	0.68571	(50.0157.0.938,	169.)	35.0188.1.104,	274.)	0.00000.000, 0.)
35	1	0.7489	3.6130	3.6130	0.83022	(60.0157.1.143,	180.)	36.0188.1.104,	266.)	0.00000.000, 0.)
36	1	0.3096	1.8060	1.8060	0.68571	(61.0157.0.938,	201.)	37.0396.0.702,	324.)	0.00000.000, 0.)
37	1	0.4291	1.8060	1.8060	0.95039	(38.0396.0.703,	268.)	0.00000.000,	0.)	0.00000.000, 0.)
38	1	0.3096	1.8060	1.8060	0.68571	(62.0157.0.937,	213.)	39.0188.1.104,	325.)	0.00000.000, 0.)
39	1	0.7489	3.6130	3.6130	0.83022	(63.0157.1.280,	232.)	40.0188.1.104,	318.)	0.00000.000, 0.)
40	1	0.3096	1.8060	1.8060	0.68571	(64.0157.1.052,	251.)	41.0396.0.703,	15.)	0.00000.000, 0.)
41	1	0.4291	1.8060	1.8060	0.95039	(42.0396.0.703,	319.)	0.00000.000,	0.)	0.00000.000, 0.)
42	1	0.3096	1.8060	1.8060	0.68571	(65.0157.1.057,	263.)	43.0188.1.104,	17.)	0.00000.000, 0.)
43	1	0.4291	3.6130	3.6130	0.83022	(43.0157.1.392,	180.)	44.0188.1.104,	164.)	0.00000.000, 0.)
44	1	0.3096	1.8060	1.8060	0.68571	(67.0157.1.214,	301.)	45.0396.0.702,	67.)	0.00000.000, 0.)
45	1	0.4291	1.8060	1.8060	0.95039	(46.0396.0.703,	10.)	0.00000.000,	0.)	0.00000.000, 0.)
46	1	0.3096	1.8060	1.8060	0.68571	(68.0157.1.261,	314.)	47.0188.1.104,	68.)	0.00000.000, 0.)

47	1	0.7409	3.6130	3.6130	0.83022	{ 630.157,1.522, 334, (48.0,188,1.104,	61, (0.000,0.000,	0, (0.000,0.000,	0,)	
48	1	0.2005	1.8900	1.8900	0.65571	{ 700.157,1.310, 354, (49.0,188,0.765,	118, (0.000,0.000,	0, (0.000,0.000,	0,)	
49	1	0.2305	1.8900	1.8900	0.65539	{ 700.157,1.300, 354, (49.0,188,0.765,	118, (0.000,0.000,	0, (0.000,0.000,	0,)	
50	1	1.3940	3.7150	3.6920	1.25633	{ 700.770,2.048, 270, (51.0,588,1.554,	108, (0.000,0.000,	0, (0.000,0.000,	0,)	
51	1	1.3440	3.6900	3.6910	1.45337	{ 520.641,1.543,	126, (0.000,0.000,	0, (0.000,0.000,	0, (0.000,0.000,	0,)
52	1	1.2400	3.6710	3.6880	1.35113	{ 530.057,1.543,	143, (0.000,0.000,	0, (0.000,0.000,	0, (0.000,0.000,	0,)
53	1	1.1030	3.6340	3.6840	1.21409	{ 54.0,482,1.507,	161, (0.000,0.000,	0, (0.000,0.000,	0, (0.000,0.000,	0,)
54	1	0.1459	3.5940	3.6980	1.03387	{ 55.0,385,1.487,	178, (0.000,0.000,	0, (0.000,0.000,	0, (0.000,0.000,	0,)
55	1	0.7888	3.5540	3.9770	0.88779	{ 56.0,288,1.468,	195, (0.000,0.000,	0, (0.000,0.000,	0, (0.000,0.000,	0,)
56	1	0.6418	3.5190	3.9730	0.72933	{ 57.0,199,1.453,	212, (0.000,0.000,	0, (0.000,0.000,	0, (0.000,0.000,	0,)
57	1	0.5168	3.4900	3.9700	0.50232	{ 58.0,126,1.444,	229, (0.000,0.000,	0, (0.000,0.000,	0, (0.000,0.000,	0,)
58	1	0.4220	3.4680	3.9680	0.48674	{ 59.0,073,1.441,	245, (0.000,0.000,	0, (0.000,0.000,	0, (0.000,0.000,	0,)
59	1	0.3629	3.4550	3.9670	0.42016	{ 60.0,046,1.441,	262, (0.000,0.000,	0, (0.000,0.000,	0, (0.000,0.000,	0,)
60	1	0.3424	3.4500	3.9660	0.39745	{ 61.0,046,1.441,	278, (0.000,0.000,	0, (0.000,0.000,	0, (0.000,0.000,	0,)
61	1	0.3629	3.4550	3.9670	0.42016	{ 62.0,073,1.441,	295, (0.000,0.000,	0, (0.000,0.000,	0, (0.000,0.000,	0,)
62	1	0.4220	3.4680	3.9680	0.48674	{ 63.0,126,1.444,	311, (0.000,0.000,	0, (0.000,0.000,	0, (0.000,0.000,	0,)
63	1	0.5168	3.4900	3.9700	0.50232	{ 64.0,199,1.453,	328, (0.000,0.000,	0, (0.000,0.000,	0, (0.000,0.000,	0,)
64	1	0.6418	3.5190	3.9730	0.72933	{ 65.0,288,1.468,	345, (0.000,0.000,	0, (0.000,0.000,	0, (0.000,0.000,	0,)
65	1	0.7888	3.5540	3.9800	0.88779	{ 66.0,199,1.487,	362, (0.000,0.000,	0, (0.000,0.000,	0, (0.000,0.000,	0,)
66	1	0.9469	3.5240	3.8890	1.13387	{ 67.0,422,1.487,	19, (0.000,0.000,	0, (0.000,0.000,	0, (0.000,0.000,	0,)
67	1	1.1030	3.6240	3.8840	1.21409	{ 68.0,570,1.526,	37, (0.000,0.000,	0, (0.000,0.000,	0, (0.000,0.000,	0,)
68	1	1.2400	3.6710	3.8890	1.35113	{ 69.0,641,1.543,	54, (0.000,0.000,	0, (0.000,0.000,	0, (0.000,0.000,	0,)
69	1	1.3440	3.6900	3.9010	1.45337	{ 70.0,886,1.534,	72, (0.000,0.000,	0, (0.000,0.000,	0, (0.000,0.000,	0,)
70	1	1.3900	3.7150	3.9920	1.50633	{ 0.0,000,0.000,	0, (0.000,0.000,	0, (0.000,0.000,	0, (0.000,0.000,	0,)

TOTAL FLOW AREA = 41.4961 [CM²] = 0.004150 [M²]
 TOTAL HEATED PERIMETER = 160.3780 [CM] = 1.603780 [M]
 TOTAL WETTED PERIMETER = 193.8600 [CM] = 1.938600 [M]

SUBCHANNEL INTERCONNECTIONS - GAP MAPPING TABLE

GAP NUMBER [K]	INTERCONNECTED SUBCHANNELS [JII - IJJ]	GAP WIDTH [CM]	CENTROID DISTANCE [CM]	ORIENTATION ANGLE
1	1 7	0.38400	0.85450	270,00000
2	1 8	0.15470	1.35200	25,70000
3	1 2	0.38400	0.85450	141,40000
4	2 10	0.15470	1.35200	77,10000
5	2 3	0.38400	0.85450	192,90000
6	3 12	0.15470	1.35200	128,60000
7	3 4	0.38400	0.85450	244,30000
8	4 14	0.15470	1.35200	180,00000
9	4 5	0.38400	0.85450	255,70000
10	5 18	0.15470	1.35200	231,40000
11	5 6	0.38400	0.85450	347,10000
12	6 18	0.15470	1.35200	282,90000
13	6 7	0.38400	0.85450	38,60000
14	7 20	0.15470	1.35200	334,30000
15	8 21	0.18720	1.13300	217,60000
16	8 23	0.21850	1.35400	25,70000
17	8 9	0.18720	1.13300	113,80000
18	9 25	0.21850	0.85510	51,40000
19	9 10	0.18720	1.13300	169,10000
20	10 27	0.21850	1.35400	77,10000
21	10 11	0.18720	1.13300	165,20000
22	11 29	0.21850	1.35510	102,90000
23	11 12	0.18720	1.13300	220,50000
24	12 31	0.21850	1.35400	194,60000
25	12 13	0.18720	1.13300	216,50000
26	13 33	0.21850	0.85510	164,30000
27	13 14	0.18720	1.13300	271,90000
28	14 35	0.21850	1.35400	180,00000
29	14 15	0.18720	1.13300	284,10000
30	15 37	0.21850	0.85510	205,70000
31	15 16	0.18720	1.13300	321,30000
32	16 39	0.21850	1.35400	231,40000
33	16 17	0.18720	1.13300	319,50000
34	17 41	0.21850	0.85510	257,10000
35	17 18	0.18720	1.13300	14,80000
36	18 43	0.21850	1.35400	282,90000
37	18 19	0.18720	1.13300	10,90000
38	19 45	0.21850	0.85510	308,60000
39	19 20	0.18720	1.13300	13,20000
40	20 47	0.21850	1.35400	344,00000
41	20 21	0.18720	1.13300	62,40000
42	21 49	0.21850	0.85510	0,00000
43	22 39	0.15680	0.70500	241,80000
44	30 50	0.15680	1.31000	6,90000
45	51 23	0.18750	1.10400	119,40000
46	51 52	0.15680	1.52200	26,30000
47	52 24	0.18750	1.10400	112,00000
48	52 53	0.15680	1.25300	45,90000
49	53 25	0.18750	0.70500	169,70000
50	53 36	0.15680	1.21400	113,20000
51	54 37	0.18750	1.10400	59,10000
52	54 25	0.18750	1.35400	177,80000
53	55 38	0.18750	1.10400	163,40000
54	55 26	0.15680	1.10700	97,10000
55	56 39	0.18750	0.70500	221,00000
56	56 30	0.18750	0.70500	164,60000
57	56 35	0.15680	1.05300	109,00000
58	56 31	0.18750	1.10400	222,30000
59	57 31	0.15680	1.23000	124,10000
60	57 32	0.18750	1.10400	214,90000
61	58 32	0.15680	0.925670	147,40000
62	58 33	0.18750	0.70500	272,50000
63	59 34	0.15680	0.70500	216,10000
64	59 38	0.15680	0.92760	159,50000
65	60 35	0.18750	1.10400	273,70000
66	60 36	0.15680	1.14500	104,00000
67	60 38	0.18750	1.10400	266,30000
68	61 36	0.15680	0.92760	200,50000
69	61 37	0.18750	0.70500	323,90000
70	61 38	0.15680	0.70500	267,50000
71	62 38	0.18750	0.923670	212,60000
72	62 39	0.15680	1.10400	16,50000
73	63 38	0.18750	1.10400	325,10000
74	63 39	0.15680	1.23000	231,90000
75	63 40	0.18750	1.10400	317,70000
76	64 41	0.15680	0.925200	251,00000
77	64 42	0.18750	0.70500	318,90000
78	64 43	0.15680	1.10700	262,90000
79	64 45	0.18750	1.10400	16,50000
80	65 45	0.15680	1.23000	262,00000
81	65 46	0.18750	1.10400	300,00000
82	65 47	0.15680	1.21400	300,00000
83	65 48	0.18750	0.70500	66,80000

26	46	68	0.15680	1.26100	314.10000
27	46	47	0.18750	1.10400	68.00000
28	47	69	0.15680	1.52200	333.70000
29	47	48	0.18750	1.10400	60.60000
30	48	70	0.15680	1.31000	333.10000
31	48	49	0.39580	0.70300	118.20000
32	50	70	0.70200	1.55800	270.00000
33	50	51	0.64620	1.55400	107.90000
34	51	52	0.64060	1.54300	125.70000
35	52	53	0.57000	1.52600	143.30000
36	53	54	0.48190	1.50700	160.80000
37	54	55	0.38480	1.48700	178.00000
38	55	56	0.24760	1.46800	193.00000
39	56	57	0.18290	1.45100	210.50000
40	57	58	0.12550	1.44400	228.00000
41	58	59	0.07349	1.41100	245.30000
42	59	60	0.04649	1.41100	261.80000
43	60	61	0.04649	1.41100	278.20000
44	61	62	0.07340	1.41100	294.70000
45	62	63	0.12550	1.44400	311.30000
46	63	64	0.18880	1.45300	328.10000
47	64	65	0.28760	1.46800	345.00000
48	65	66	0.38480	1.48700	352.00000
49	66	67	0.48190	1.50700	36.20000
50	67	68	0.57000	1.52600	36.70000
51	68	69	0.64060	1.54300	34.30000
52	69	70	0.64620	1.55400	32.00000

-----GROUP 5: SUBCHANNEL FLOW VARIATION TABLE-----

-----GROUP 6: GAP SIZE VARIATION TABLE-----

-----GROUP 7: GRID SPACER DATA-----

Form Losses at 73 Axial Locations

AXIAL LOCATION (X/L)	LOSS TYPE (No.)										
0.0002	1	0.0091	2	0.0209	3	0.0417	4	0.0624	5	0.0743	2
0.0833	5	0.0924	2	0.1043	3	0.1250	4	0.1457	3	0.1576	2
0.1667	5	0.1757	2	0.1876	3	0.2083	4	0.2291	3	0.2409	2
0.2500	5	0.2691	2	0.2799	3	0.2917	4	0.3124	3	0.3243	2
0.3333	5	0.3424	2	0.3533	3	0.3750	4	0.3857	3	0.4076	2
0.4167	5	0.4257	2	0.4366	3	0.4583	4	0.4701	3	0.4920	2
0.5000	5	0.5091	2	0.5209	3	0.5417	4	0.5624	3	0.5743	2
0.5833	5	0.5924	2	0.6043	3	0.6250	4	0.6457	3	0.6576	2
0.6667	5	0.6757	2	0.6876	3	0.7083	4	0.7291	3	0.7409	2
0.7500	5	0.7391	2	0.7709	3	0.7917	4	0.8124	3	0.8243	2
0.8333	5	0.8424	2	0.8543	3	0.8750	4	0.8957	3	0.9076	2
0.9167	5	0.9257	2	0.9376	3	0.9583	4	0.9791	3	0.9891	2
0.9998	5										

Form Loss Type: 1

CHANNEL LOSS NO. COEFF.											
1	0.3586	2	0.3586	3	0.3586	4	0.3586	5	0.3586	6	0.3586
13	0.3586	14	0.3586	15	0.3586	16	0.3586	17	0.3586	18	0.3586
19	0.3586	20	0.3586	21	0.3586	22	0.3586	23	0.3586	24	0.3586
25	0.3586	26	0.3586	27	0.3586	28	0.3586	29	0.3586	30	0.3586
31	0.3586	32	0.3586	33	0.3586	34	0.3586	35	0.3586	36	0.3586
37	0.3586	38	0.3586	39	0.3586	40	0.3586	41	0.3586	42	0.3586
43	0.3586	44	0.3586	45	0.3586	46	0.3586	47	0.3586	48	0.3586
51	0.3586	52	0.3586	53	0.3586	54	0.3586	55	0.3586	56	0.3586
61	0.3586	62	0.3586	63	0.3586	64	0.3586	65	0.3586	66	0.3586
67	0.3586	68	0.3586	69	0.3586	70	0.3586				

Form Loss Type: 2

CHANNEL LOSS NO. COEFF.											
1	0.0001	2	0.0001	3	0.0001	4	0.0001	5	0.0001	6	0.0001
7	0.0001	8	0.0001	9	0.0001	10	0.0001	11	0.0001	12	0.0001
13	0.0001	14	0.0001	15	0.0001	16	0.0001	17	0.0001	18	0.0001
19	0.0001	20	0.0001	21	0.0001	22	0.0001	23	0.0001	24	0.0001
25	0.0001	26	0.0001	27	0.0001	28	0.0001	29	0.0001	30	0.0001
31	0.0001	32	0.0001	33	0.0001	34	0.0001	35	0.0001	36	0.0001
37	0.0001	38	0.0001	39	0.0001	40	0.0001	41	0.0001	42	0.0001
43	0.0001	44	0.0001	45	0.0001	46	0.0001	47	0.0001	48	0.0001
49	0.0001	50	0.0001	51	0.0001	52	0.0001	53	0.0001	54	0.0001
55	0.0001	56	0.0001	57	0.0001	58	0.0001	59	0.0001	60	0.0001
61	0.0001	62	0.0001	63	0.0001	64	0.0001	65	0.0001	66	0.0001
67	0.0001	68	0.0001	69	0.0001	70	0.0001				

Form Loss Type: 3

CHANNEL LOSS NO. COEFF.											
1	0.0707	2	0.0707	3	0.0707	4	0.0707	5	0.0707	6	0.0707
7	0.0707	8	0.0707	9	0.0707	10	0.0707	11	0.0707	12	0.0707
13	0.0707	14	0.0707	15	0.0707	16	0.0707	17	0.0707	18	0.0707
19	0.0707	20	0.0707	21	0.0707	22	0.0707	23	0.0707	24	0.0707
25	0.0707	26	0.0707	27	0.0707	28	0.0707	29	0.0707	30	0.0707
31	0.0707	32	0.0707	33	0.0707	34	0.0707	35	0.0707	36	0.0707
37	0.0707	38	0.0707	39	0.0707	40	0.0707	41	0.0707	42	0.0707
43	0.0707	44	0.0707	45	0.0707	46	0.0707	47	0.0707	48	0.0707
49	0.0707	50	0.0707	51	0.0707	52	0.0707	53	0.0707	54	0.0707
55	0.0707	56	0.0707	57	0.0707	58	0.0707	59	0.0707	60	0.0707
61	0.0707	62	0.0707	63	0.0707	64	0.0707	65	0.0707	66	0.0707
67	0.0707	68	0.0707	69	0.0707	70	0.0707				

Form Loss Type: 4

CHANNEL LOSS NO. COEFF.											
1	0.1325	2	0.1325	3	0.1325	4	0.1325	5	0.1325	6	0.1325
7	0.1325	8	0.1325	9	0.1325	10	0.1325	11	0.1325	12	0.1325
13	0.1325	14	0.1325	15	0.1325	16	0.1325	17	0.1325	18	0.1325
19	0.1325	20	0.1325	21	0.1325	22	0.1325	23	0.1325	24	0.1325

25	0.1325	26	0.1325	27	0.1325	28	0.1325	29	0.1325	30	0.1325
31	0.1325	32	0.1325	33	0.1325	34	0.1325	35	0.1325	36	0.1325
37	0.1325	38	0.1325	39	0.1325	40	0.1325	41	0.1325	42	0.1325
43	0.1325	44	0.1325	45	0.1325	46	0.1325	47	0.1325	48	0.1325
49	0.1325	50	0.1325	51	0.1325	52	0.1325	53	0.1325	54	0.1325
55	0.1325	56	0.1325	57	0.1325	58	0.1325	59	0.1325	60	0.1325
61	0.1325	62	0.1325	63	0.1325	64	0.1325	65	0.1325	66	0.1325
67	0.1325	68	0.1325	69	0.1325	70	0.1325				

Form Loss Type: 5

CHANNEL NO.	LOSS COEFF.										
1	0.3586	2	0.3586	3	0.3586	4	0.3586	5	0.3586	6	0.3586
7	0.3586	8	0.3586	9	0.3586	10	0.3586	11	0.3586	12	0.3586
13	0.3586	14	0.3586	15	0.3586	16	0.3586	17	0.3586	18	0.3586
20	0.3586	21	0.3586	22	0.3586	23	0.3586	24	0.3586		
25	0.3586	26	0.3586	27	0.3586	28	0.3586	29	0.3586	30	0.3586
31	0.3586	32	0.3586	33	0.3586	34	0.3586	35	0.3586	36	0.3586
37	0.3586	38	0.3586	39	0.3586	40	0.3586	41	0.3586	42	0.3586
43	0.3586	44	0.3586	45	0.3586	46	0.3586	47	0.3586	48	0.3586
49	0.3586	50	0.3586	51	0.3586	52	0.3586	53	0.3586	54	0.3586
55	0.3586	56	0.3586	57	0.3586	58	0.3586	59	0.3586	60	0.3586
61	0.3586	62	0.3586	63	0.3586	64	0.3586	65	0.3586	66	0.3586
67	0.3586	68	0.3586	69	0.3586	70	0.3586				

-----GROUP 8: FUEL ROD LAYOUT AND PROPERTY DATA-----

ROD INPUT DATA

ROD NO.	TYPE NO.	DIAMETER [CM]	RADIAL POWER FACTOR	FRACTION OF POWER TO ADJACENT CHANNELS	(ADJ. CHANNEL NO.)
1	1	1.1500	0.8890	0.1429	11
2	1	1.1500	0.9080	0.1786	11
3	1	1.1500	0.9080	0.1786	11
4	1	1.1500	0.9080	0.1786	11
5	1	1.1500	0.9080	0.1786	11
6	1	1.1500	0.9080	0.1786	11
7	1	1.1500	0.9080	0.1786	11
8	1	1.1500	0.9080	0.1786	11
9	1	1.1500	0.8890	0.2575	10
10	1	1.1500	0.8890	0.2575	10
11	1	1.1500	0.8890	0.1700	21
12	1	1.1500	0.8890	0.2575	20
13	1	1.1500	0.8890	0.1710	21
14	1	1.1500	0.8890	0.2575	31
15	1	1.1500	0.8890	0.1710	31
16	1	1.1500	0.8890	0.2575	31
17	1	1.1500	0.8890	0.1710	37
18	1	1.1500	0.8890	0.2575	31
19	1	1.1500	0.8890	0.1710	41
20	1	1.1500	0.8890	0.2575	41
21	1	1.1500	0.8890	0.1710	19
22	1	1.1500	0.8890	0.2575	47
23	1	1.1500	1.1180	0.1532	48
24	1	1.1500	1.1180	0.1897	23
25	1	1.1500	1.1180	0.2303	23
26	1	1.1500	1.1180	0.1532	24
27	1	1.1500	1.1180	0.1897	26
28	1	1.1500	1.1180	0.2303	27
29	1	1.1500	1.1180	0.1532	28
30	1	1.1500	1.1180	0.1897	30
31	1	1.1500	1.1180	0.2303	31
32	1	1.1500	1.1180	0.1532	32
33	1	1.1500	1.1180	0.1897	34
34	1	1.1500	1.1180	0.2303	35
35	1	1.1500	1.1180	0.1532	36
36	1	1.1500	1.1180	0.1897	37
37	1	1.1500	1.1180	0.2303	47
38	1	1.1500	1.1180	0.1532	49
39	1	1.1500	1.1180	0.1897	49
40	1	1.1500	1.1180	0.2303	49
41	1	1.1500	1.1180	0.1532	44
42	1	1.1500	1.1180	0.1897	46
43	1	1.1500	1.1180	0.2303	47

ROD INPUT DATA POWER BALANCE SUMMARY

THE TOTAL HEATED PERIMETER OF THE RODS = 160.87678147 [CM]
 THE COMPUTED NUMBER OF RODS (SUM OF FRACTIONS) = 43.13780000
 THE OVERALL AVERAGE ROD RADIAL POWER FACTOR = 1.0004225

FUEL MODEL OPTION (INC=0) = NO FUEL MODEL SELECTED

CRITICAL HEAT FLUX OPTION (INCHF=5) = LW-T-1995 CHF TABLE LOOK UP METHOD

CHF CALCULATION OPTION (INHFC=0) = POST MORTEM CHF CALCULATION, NEGLECTS PDO

Pre-CHF Wall Heat Transfer Division Option (INHFW = 0): Chen correlation

CHF LOOK-UP TABLE CORRECTION FACTOR FOR FLOW ORIENTATION IS APPLIED

-----GROUP 9: CALCULATION CONTROL AND AXIAL NODING DATA-----

IMPLICIT SOLUTION

DATA FOR IMPLICIT SOLUTION

EXTERNAL ITERATION LIMIT (NTRIES) = 200
 INTERNAL ITERATION LIMIT (MAXINR) = 18
 (REBALANCING EVERY 1 INNER ITERATIONS)
 ENERGY ITERATION LIMIT (ELIMIT) = 18

CONVERGENCE CRITERIA :

DH II ENTHALPY ERROR (HERR0) = 1.00E-06
 DF II FLOW ERROR (FERRO) = 1.00E-06
 DC II CONTINUITY ERROR (NCER0) = 1.00E-06
 LATERAL MOMENTUM ERROR (TERR0) = 1.00E-02 (KG1 (NOT USED))
 ANAX. MOMENTUM ERROR (GAXERO) = 1.00E-02 (KG1 (NOT USED))

STEADY STATE SOLUTION PARAMETERS :

STEP SIZE (SSDT) = 1.0E+15 [SECONDS]
 NUMBER OF STEPS (NSSL) = 1

TRANSIENT SOLUTION PARAMETERS :

TOTAL TRANSIENT TIME (TTIME) = 0.0000 [SECONDS]
 TIME STEP SIZE (TDT) = 0.5000 [SECONDS]
 NUMBER OF TIME STEPS (NDT) = 0

CALCULATION PARAMETERS

CHANNEL LENGTH (Z) = 594.3600 [CM]
 NUMBER OF AXIAL NODES (NDX) = 133
 BUNDLE ORIENTATION (THETA) = 90.0000 [DEGREES]
 LATERAL K FACTOR (KU) = 1.0000
 LATERAL RELAXATION (WRELAX) = 0.6670
 AXIAL RELAXATION (FRELAX) = 0.6670
 ENTHALPY RELAXATION (HRELAX) = 0.6670
 DENSITY RELAXATION (RRELAX) = 1.0000

CANDU BUNDLES DATA

NUMBER OF CANDU BUNDLES = 12
 LENGTH OF ONE CANDU BUNDLE = 49.3300 [CM]
 HEATED LENGTH OF ONE CANDU BUNDLE = 48.0300 [CM]
 NO. OF AXIAL NODES IN HEATED LENGTH OF ONE BUNDLE = 10

The heated zone in each bundle is discretized axially following a geometric progression where $L_0 / (L_0 - 1) = 1.41689154804915$

AXIAL NODING AND POWER FACTORS FOR 133 NODES

NODE J	X(J) [CM]	DX(J) [CM]	FACTOR Q(X(J))	NODE ID
1	0.00	0.00	0.0000	1
2	0.75	0.75	0.0000	2
3	2.28	2.13	0.0343	0
4	5.89	3.01	0.0820	0
5	10.30	4.27	0.1518	0
6	16.30	6.05	0.2460	0
7	24.77	8.57	0.3520	0
8	33.33	8.57	0.4718	0
9	39.38	6.05	0.5622	0
10	43.64	4.27	0.6221	0
11	46.65	3.01	0.6533	0
12	48.78	2.13	0.6918	0
13	50.28	1.50	0.0000	2
14	52.41	2.13	0.7207	0
15	55.42	3.01	0.7365	0
16	59.68	4.27	0.7933	0
17	65.73	6.05	0.8417	0
18	74.30	8.57	0.9062	0
19	82.86	8.57	0.9754	0
20	88.91	6.05	1.0306	0
21	93.17	4.27	1.0676	0
22	96.18	3.01	1.0881	0
23	98.31	2.13	1.1029	0
24	98.84	1.50	0.0000	2
25	101.34	2.13	1.1239	0
26	104.95	3.01	1.1497	0
27	108.21	4.27	1.1716	0
28	115.26	6.05	1.2019	0
29	123.83	8.57	1.2416	0
30	132.39	8.57	1.2847	0
31	138.44	6.05	1.3192	0
32	142.70	4.27	1.3426	0
33	145.71	3.01	1.3570	0
34	147.84	2.13	1.3695	0
35	149.34	1.50	0.0000	2
36	151.37	2.13	1.3788	0
37	154.39	3.01	1.3897	0
38	158.74	4.27	1.3932	0
39	164.79	6.05	1.4045	0
40	173.36	8.57	1.4080	0
41	181.94	8.57	1.3884	0
42	187.97	6.05	1.3298	0
43	192.23	4.27	1.2703	0
44	195.24	3.01	1.2606	0
45	197.37	2.13	1.2538	0
46	198.87	1.50	0.0000	2
47	201.00	2.13	1.3438	0
48	204.01	3.01	1.3354	0
49	208.27	4.27	1.3261	0
50	214.32	6.05	1.3129	0
51	222.89	8.57	1.2964	0
52	231.45	8.57	1.2808	0
53	237.50	6.05	1.2883	0
54	241.76	4.27	1.2506	0
55	247.77	3.01	1.2324	0
56	250.40	2.13	1.2381	0
57	258.40	1.50	0.0000	2
58	260.33	2.13	1.2229	0
59	263.54	3.01	1.2286	0
60	267.80	4.27	1.2227	0
61	268.85	6.05	1.2249	0
62	272.42	8.57	1.2149	0
63	280.98	8.57	1.2044	0
64	287.03	6.05	1.1930	0
65	291.29	4.27	1.1905	0
66	294.39	3.01	1.1807	0
67	296.43	2.13	1.1842	0
68	297.93	1.50	0.0000	2
69	300.06	2.13	1.1808	0
70	303.03	3.01	1.1783	0
71	307.53	4.27	1.1732	0
72	313.38	6.05	1.1709	0
73	314.95	8.57	1.1701	0
74	320.51	8.57	1.1611	0
75	326.56	6.05	1.1579	0
76	340.82	4.27	1.1563	0
77	348.83	3.01	1.1554	0
78	345.96	2.13	1.1549	0
79	347.46	1.50	0.0000	2
80	349.39	2.13	1.1541	0
81	352.60	3.01	1.1538	0
82	356.86	4.27	1.1534	0

83	362.91	6.05	1.1529	0
84	371.48	8.57	1.1522	0
85	380.04	8.57	1.1523	0
86	386.09	6.05	1.1536	0
87	390.35	4.27	1.1502	0
88	393.36	3.01	1.1623	0
89	395.49	2.13	1.1644	0
90	396.99	1.50	0.0000	0
91	399.12	2.13	1.1673	0
92	402.13	3.01	1.1693	0
93	406.39	4.27	1.1719	0
94	412.44	6.05	1.1746	0
95	421.01	8.57	1.1760	0
96	429.57	8.57	1.1707	0
97	435.62	6.05	1.1583	0
98	439.88	4.27	1.1444	0
99	442.89	3.01	1.1332	0
100	445.02	2.13	1.1247	0
101	446.52	1.50	0.0000	0
102	448.00	2.13	1.1105	0
103	451.66	3.01	1.1093	0
104	453.92	4.27	1.0857	0
105	461.97	6.05	1.0620	0
106	470.54	8.57	1.0206	0
107	479.10	8.57	0.9882	0
108	485.15	6.05	0.9534	0
109	489.41	4.27	0.9261	0
110	492.42	3.01	0.9055	0
111	494.55	2.13	0.8923	0
112	496.05	1.50	0.0000	0
113	498.18	2.13	0.8722	0
114	501.19	3.01	0.8579	0
115	503.45	4.27	0.8363	0
116	511.50	6.05	0.8203	0
117	520.77	8.57	0.7901	0
118	528.63	8.57	0.7611	0
119	534.68	6.05	0.6526	0
120	538.94	4.27	0.6141	0
121	541.95	3.01	0.5851	0
122	544.08	2.13	0.5641	0
123	545.58	1.50	0.0000	0
124	547.71	2.13	0.5344	0
125	550.72	3.01	0.5121	0
126	554.98	4.27	0.4801	0
127	561.03	6.05	0.4337	0
128	569.60	8.57	0.3638	0
129	578.16	8.57	0.2746	0
130	584.21	6.05	0.1838	0
131	588.47	4.27	0.1000	0
132	591.48	3.01	0.0649	0
133	593.61	2.13	0.0235	0
134	594.96	0.75	0.0000	0
135	594.96	0.00	0.0000	0

WEIGHTED AVERAGE AXIAL HEAT FLUX (assuming AFD normalized over channel length) = 0.97017
 WEIGHTED AVERAGE AXIAL HEAT FLUX (assuming AFD normalized over heated length) = 1.00046

-----GROUP 10: MIXING OPTIONS AND DATA-----

THERMAL MIXING PARAMETERS 1 0.0000 0.0000

VOID DIFFUSION PARAMETERS 0 0.0500 0.0000

VOID DRIFT MODEL OPTION [NEQMIX=0]: NO VOID DRIFT MODEL

-----GROUP 11: OPERATING CONDITIONS AND TRANSIENT FORCING FUNCTIONS-----

OPERATING CONDITIONS :

SYSTEM PRESSURE (P.EXIT) = 10.0000 [MPA]
 INLET TEMPERATURE (T.IN) = 256.00 [DEGREES C]
 INLET ENTHALPY (H.IN) = 1076.45 [KJ/KG]
 AVG. MASS VELOCITY (V.IN) = 5.3350 [MGM/SEC]
 AVG. HEAT FLUX (APLUX) = 1.02988 [MW/M2]
 EXIT ENTHALPY (H.OUT) = 2462 [KJ/KG]

THEORETICAL ENERGY ADDED (ASSUMING NORMALIZED AXIAL AND RADIAL HEAT FLUX PROFILES)
 ENERGY ADDED = APLUX * PHTOT * Z = 0.98333E+04 [KW]

THEORETICAL ENERGY ADDED (assuming axial heat flux profile normalized by heated length)
 ENERGY ADDED = APLUX * PHTOT * HEATL = 0.93333E+04 [KW]

BOUNDARY CONDITIONS:

INLET REFERENCE CHANNEL IS 1

EXIT REFERENCE CHANNEL IS 1

UNIFORM INLET ON ALL CHANNEL TEMPERATURE

INLET FLOW BOUNDARY, NO PLUNGE MODEL

FLOW SPLIT FOR EQUAL DP/DX APPLIED AT INLET (CHANNEL-FLOW)
 (1 - 2.503E-01) (2 - 2.503E-01) (3 - 2.503E-01) (4 - 2.503E-01) (5 - 2.503E-01) (6 - 2.503E-01)
 (7 - 2.503E-01) (8 - 4.504E-01) (9 - 1.292E-01) (10 - 4.504E-01) (11 - 1.292E-01) (12 - 4.504E-01)
 (13 - 1.292E-01) (14 - 4.504E-01) (15 - 1.292E-01) (16 - 4.504E-01) (17 - 1.292E-01) (18 - 4.504E-01)
 (19 - 1.292E-01) (20 - 4.504E-01) (21 - 1.292E-01) (22 - 1.514E-01) (23 - 4.009E-01) (24 - 1.514E-01)
 (25 - 2.433E-01) (26 - 1.514E-01) (27 - 4.009E-01) (28 - 1.514E-01) (29 - 2.433E-01) (30 - 1.514E-01)
 (31 - 4.009E-01) (32 - 1.514E-01) (33 - 2.433E-01) (34 - 1.514E-01) (35 - 4.009E-01) (36 - 1.514E-01)
 (37 - 2.433E-01) (38 - 1.514E-01) (39 - 4.009E-01) (40 - 1.514E-01) (41 - 2.433E-01) (42 - 1.514E-01)
 (43 - 4.009E-01) (44 - 1.514E-01) (45 - 2.433E-01) (46 - 1.514E-01) (47 - 4.009E-01) (48 - 1.514E-01)
 (49 - 2.433E-01) (50 - 9.444E-01) (51 - 8.936E-01) (52 - 8.064E-01) (53 - 6.888E-01) (54 - 5.604E-01)
 (55 - 4.344E-01) (56 - 3.233E-01) (57 - 2.551E-01) (58 - 1.732E-01) (59 - 1.375E-01) (60 - 1.239E-01)
 (61 - 1.373E-01) (62 - 1.732E-01) (63 - 2.331E-01) (64 - 3.233E-01) (65 - 4.344E-01) (66 - 5.604E-01)
 (67 - 6.894E-01) (68 - 8.064E-01) (69 - 8.936E-01) (70 - 9.444E-01)

EXIT PRESSURE BOUNDARY: NO PLUNGE MODEL

No onset-of-dryout iterations requested.

-----GROUP 12: OUTPUT OPTION SELECT DATA-----

Print Subchannel Data at Channel Exit Only

Print Axial Data for the Specified Subchannels

Print No Axial Fuel Rod Data

Print Cross-flow Data for the Specified Gaps

NO PLOTS WILL BE PRODUCED

-----GROUP 13: HEATED PERIMETER VARIATION TABLE-----

-----GROUP 14: WETTED PERIMETER VARIATION TABLE-----

CHANNEL MASS BALANCE AND ENERGY BALANCE SUMMARY TIME = 0.000000 SECONDS

MASS BALANCE:

MASS STORAGE*	= 0.0000E+00 [KG/S]
MASS FLOW OUT+	= 0.22939E-02 [KG/S]
MASS FLOW IN-	= -0.22939E-02 [KG/S]
MASS FLOW ERROR	= 0.38937E-08 [KG/S]
% FLOW ERROR	= 0.16822E-07 (%)

ENERGY BALANCE:

ENERGY STORAGE*	= 0.0000E+00 [KW]
FLOW ENERGY OUT+	= 0.34269E-03 [KW]
FLOW ENERGY IN-	= -0.24724E-03 [KW]
ENERGY SOURCE-	= -0.95439E-04 [KW]
ENERGY ERROR	= -0.14912E-02 [KW]
% ENERGY ERROR	= -0.15625E-04 (%)

CASE80101 ASSERT-PV V2R8 Input Modelling : RUFIC(CANFLEX-RC) CANDU Base DATE 101- 1-18 TIME 18:28:27

CHANNEL EXIT SUMMARY RESULTS											TIME = 0.000000 SECONDS								
AXIAL LOCATION = 594.36 cm											AXIAL LOCATION = 594.36 cm								
SUB-NCM#	RELATIVE-ICM#	LIQUID-DEG-CI	VAPOUR-DEG-CI	MIXTURE-DEG-CI	TEMP-ICM#	TEMP-DEG-CI	DENSITY-KG/M3	VOID-FRACTION	FLOW-ICM#	FLOW-DEG-CI	FLOW-ICM#	FLOW-DEG-CI	FLOW-ICM#	FLOW-DEG-CI	MASS-ICM#	MASS-DEG-CI	FLUX-ICM#	VELOCITY-ICM#	AREA
1	0.00	313.62	310.13	257.63	0.7156		1610.42	0.2067	0.2194	0.2040	4.4464	17.2577	0.43970						
2	0.02	313.63	310.13	250.53	0.7144		1607.70	0.20340	0.21624	0.20611	4.4895	17.2596	0.43970						
3	0.04	313.63	310.13	265.43	0.7026		1600.44	0.19717	0.21092	0.20932	4.5578	17.1712	0.43970						
4	0.05	313.63	310.13	267.12	0.7019		1584.32	0.19164	0.20912	0.21160	4.6030	17.2319	0.43970						
5	0.04	313.63	310.13	265.42	0.7042		1600.45	0.19708	0.21093	0.20933	4.5579	17.1722	0.43970						
6	0.02	313.63	310.13	260.63	0.7116		1605.57	0.20283	0.21613	0.20615	4.4845	17.2057	0.43970						
7	0.00	313.62	310.13	257.78	0.71543		1610.25	0.20653	0.21926	0.20447	4.4478	17.2545	0.43970						
8	-0.04	313.63	310.13	257.78	0.58572		1519.82	0.12195	0.14239	0.43042	5.1701	14.9103	0.83330						
9	-0.02	313.17	310.13	347.17	0.58608		1517.11	0.12810	0.14009	0.13116	4.6969	13.5290	0.28350						
10	0.01	313.61	310.13	293.79	0.66299		1567.65	0.16976	0.18305	0.39433	4.7321	16.1072	0.83330						
11	0.04	313.05	310.13	271.30	0.69654		1590.65	0.19196	0.20203	0.11732	4.1382	15.2532	0.28350						
12	0.06	313.43	310.13	230.90	0.75474		1648.73	0.20447	0.23191	0.34946	4.1936	18.1626	0.83330						
13	0.08	312.76	310.13	198.02	0.80327		1705.59	0.25287	0.30114	0.09393	3.5163	17.7566	0.28350						
14	0.08	313.33	310.13	199.06	0.80123		1705.59	0.20297	0.30115	0.32553	3.9066	19.0231	0.83330						
15	0.08	312.77	310.13	198.66	0.80234		1705.27	0.21972	0.30005	0.09387	3.5228	17.7332	0.28350						
16	0.00	313.44	310.13	231.81	0.75344		1647.28	0.23223	0.23073	0.33012	4.2016	18.1249	0.83330						
17	0.04	313.00	310.13	273.37	0.69632		1584.18	0.18980	0.20630	0.11784	4.1537	15.2016	0.28350						
18	0.01	313.61	310.13	294.89	0.66181		1566.49	0.16976	0.18160	0.07110	4.7414	16.0316	0.83330						
19	-0.02	313.24	310.13	261.73	0.66183		1519.94	0.12763	0.13237	0.43545	5.1295	14.5205	0.28350						
20	-0.04	313.65	310.13	347.61	0.58448		1519.94	0.12767	0.14177	0.42164	5.1287	14.8899	0.83330						
21	-0.06	313.24	310.13	301.09	0.52191		1489.05	0.10142	0.11446	0.14039	4.9589	12.6717	0.28350						
22	0.00	311.96	310.13	477.47	0.49002		1456.15	0.06235	0.07043	0.17857	5.6768	12.6738	0.30050						
23	0.02	313.03	310.13	432.79	0.46196		1461.70	0.08097	0.09300	0.43197	5.7604	13.3100	0.74300						
24	0.04	313.00	310.13	418.17	0.48328		1469.40	0.08777	0.09354	0.16557	5.3489	12.7891	0.30060						
25	0.07	313.56	310.13	405.68	0.50010		1491.28	0.09365	0.10714	0.24602	5.7333	14.1325	0.42910						
26	0.08	313.27	310.13	419.62	0.48053		1481.90	0.08933	0.09597	0.10637	5.3782	12.8054	0.30060						
27	0.12	313.64	310.13	358.16	0.56915		1510.97	0.12066	0.13487	0.38939	5.1953	14.5033	0.74190						
28	0.16	313.36	310.13	330.88	0.60346		1531.36	0.13952	0.15221	0.14579	4.7091	14.2335	0.30060						
29	0.17	313.00	310.13	315.16	0.61334		1547.83	0.15183	0.16621	0.21638	5.0472	16.0150	0.42910						
30	0.20	313.41	310.13	343.31	0.59124		1521.30	0.13062	0.14363	0.14928	4.8218	14.0452	0.30060						
31	0.22	313.53	310.13	279.62	0.68374		1582.93	0.18327	0.19600	0.34038	4.5470	16.2616	0.74300						
32	0.24	313.14	310.13	244.34	0.73561		1626.92	0.22285	0.23344	0.12378	3.9981	16.3632	0.30060						
33	0.24	313.61	310.13	209.68	0.78533		1695.52	0.27244	0.24040	0.17601	4.1019	19.5628	0.42910						
34	0.25	313.12	310.13	223.05	0.76637		1606.48	0.25184	0.26195	0.11971	3.8635	17.3335	0.30060						
35	0.23	313.36	310.13	191.74	0.80021		1705.29	0.28593	0.30024	0.23008	3.8683	19.3662	0.74300						
36	0.25	313.12	310.13	223.06	0.76687		1631.44	0.26883	0.28083	0.11984	3.8740	17.3208	0.30060						
37	0.24	313.27	310.13	247.42	0.72330		1624.63	0.22097	0.22148	0.12417	4.1084	17.3204	0.30060						
38	0.19	313.14	310.13	342.42	0.58267		1518.50	0.18118	0.19207	0.32208	5.1517	16.1313	0.74300						
39	0.19	313.40	310.13	345.75	0.58267		1518.55	0.12428	0.11322	0.15006	4.8470	13.6760	0.30060						
40	0.17	313.89	310.13	318.65	0.62627		1545.44	0.14587	0.16342	0.21770	5.0734	15.6216	0.42910						
41	0.16	313.31	310.13	335.70	0.60236		1526.55	0.13035	0.14845	0.14692	4.7456	14.1326	0.30060						
42	0.12	313.55	310.13	363.56	0.56147		1505.60	0.11730	0.13116	0.32228	5.2378	14.4099	0.74300						
43	0.08	313.06	310.13	426.16	0.47153		1495.32	0.08338	0.09407	0.16783	5.4215	12.7218	0.30060						
44	0.07	313.89	310.13	408.40	0.49354		1473.33	0.09211	0.10798	0.24718	5.7604	14.1048	0.42910						
45	0.04	312.58	310.13	425.93	0.47303		1463.08	0.08432	0.09417	0.16746	5.4001	12.6914	0.30060						
46	0.02	312.88	310.13	438.17	0.45454		1453.80	0.06249	0.06902	0.35497	5.8020	13.2412	0.74300						
47	0.00	313.85	310.13	460.46	0.41954		1452.22	0.06884	0.08489	0.26355	6.1374	13.3289	0.42910						
48	-0.07	313.64	310.13	573.49	0.26878		1388.44	0.03451	0.03073	0.191317	7.8139	13.6251	1.32900						
49	-0.04	310.91	310.13	532.01	0.29553		1401.73	0.0372	0.04203	0.21233	7.6007	13.7690	1.34400						
50	0.00	312.41	310.13	524.03	0.33134		1419.01	0.04723	0.03671	0.39934	7.2532	13.8444	1.24000						
51	0.00	312.81	310.13	503.39	0.34005		1426.79	0.03670	0.03502	0.36497	6.9344	13.7734	1.10300						
52	0.13	312.20	310.13	476.85	0.37149		1441.83	0.03624	0.03483	0.47212	6.4293	13.7690	0.74300						
53	0.20	312.69	310.13	377.74	0.58892		1480.62	0.10748	0.11738	0.23031	4.8484	12.7210	0.61630						
54	0.31	312.23	310.13	428.29	0.61520		1528.37	0.14194	0.14936	0.17572	4.1640	12.6836	0.42200						

85.88	454.18	264.40	313.91	865.96	0.00000	88.91	1115.14	0.00000	-0.22122	22.96809	5.5350	6.3017	41.49610
91.04	451.37	265.09	313.89	864.59	0.00000	93.17	1118.42	0.00000	-0.21824	22.96809	5.5350	6.4019	41.49610
94.68	450.27	265.59	313.89	863.61	0.00000	96.18	1120.79	0.00000	-0.21613	22.96809	5.5350	6.4019	41.49610
97.23	449.52	265.95	313.88	862.95	0.00000	98.31	1122.49	0.00000	-0.21462	22.96809	5.5350	6.4141	41.49610
99.06	449.04	265.95	313.88	863.04	0.00000	99.81	1122.49	0.00000	-0.21459	22.96809	5.5350	6.4134	41.49610
100.87	442.16	265.95	313.83	863.03	0.00000	101.93	1124.23	0.00000	-0.21279	22.96809	5.5350	6.4187	41.49610
101.44	441.39	265.94	313.82	863.02	0.00000	102.05	1125.72	0.00000	-0.21274	22.96809	5.5350	6.4203	41.49610
107.08	436.76	265.69	312.15	857.78	0.00000	109.21	1129.39	0.00000	-0.20741	22.96809	5.5350	6.4264	41.49610
112.24	437.39	270.29	312.14	854.21	0.00000	115.26	1125.55	0.00000	-0.20274	22.96809	5.5350	6.4346	41.49610
119.54	435.13	270.29	312.14	854.21	0.00000	123.83	1143.23	0.00000	-0.19399	22.96809	5.5350	6.4701	41.49610
128.11	430.01	271.93	312.10	850.81	0.00005	132.30	1151.16	0.00000	-0.18889	22.96809	5.5350	6.5056	41.49610
135.41	427.81	273.11	312.08	848.30	0.00001	138.44	1156.90	0.00000	-0.18380	22.96809	5.5350	6.5248	41.49610
140.57	424.92	273.96	312.06	846.45	0.00014	142.77	1161.03	0.00000	-0.18010	22.96809	5.5350	6.5391	41.49610
144.21	423.78	274.56	312.06	845.14	0.00018	145.71	1163.98	0.00000	-0.17749	22.96809	5.5350	6.5432	41.49610
146.78	423.00	274.99	312.05	844.28	0.00020	147.84	1166.07	0.00000	-0.17564	22.96809	5.5350	6.5539	41.49610
148.59	422.50	274.99	312.05	844.58	0.00001	149.34	1166.07	0.00000	-0.17349	22.96809	5.5350	6.5615	41.49610
150.40	415.47	275.42	312.05	843.55	0.00018	151.47	1168.18	0.00000	-0.17085	22.96809	5.5350	6.5722	41.49610
152.97	414.66	276.04	312.05	842.18	0.00023	154.48	1171.19	0.00000	-0.16708	22.96809	5.5350	6.5875	41.49610
156.61	413.50	276.91	312.05	840.22	0.00031	158.74	1175.48	0.00000	-0.16163	22.96809	5.5350	6.6103	41.49610
161.77	410.53	278.14	312.06	837.30	0.00047	164.79	1181.60	0.00000	-0.15402	22.96809	5.5350	6.6431	41.49610
169.07	408.20	278.93	312.05	834.19	0.00079	173.36	1190.29	0.00000	-0.14630	22.96809	5.5350	6.6780	41.49610
177.14	403.02	281.61	312.01	828.84	0.01126	181.32	1193.92	0.00000	-0.13914	22.96809	5.5350	6.7029	41.49610
181.34	400.62	281.61	312.01	828.84	0.01126	183.33	1195.13	0.00000	-0.13191	22.96809	5.5350	6.7209	41.49610
189.02	397.57	282.63	312.07	828.38	0.00210	192.23	1209.16	0.00000	-0.12724	22.96809	5.5350	6.7329	41.49610
193.74	395.50	284.21	312.06	828.01	0.00236	195.24	1212.11	0.00000	-0.13464	22.96809	5.5350	6.7390	41.49610
196.31	393.72	284.62	312.06	828.33	0.00242	197.37	1214.19	0.00000	-0.13281	22.96809	5.5350	6.7323	41.49610
198.12	388.51	284.62	312.01	828.11	0.00134	198.87	1214.19	0.00000	-0.13252	22.96809	5.5350	6.7455	41.49610
199.93	387.95	285.02	312.00	828.80	0.00022	201.00	1216.24	0.00000	-0.13071	22.96809	5.5350	6.7337	41.49610
202.50	387.09	285.59	312.00	818.83	0.00258	204.01	1219.14	0.00000	-0.12816	22.96809	5.5350	6.7794	41.49610
206.14	385.87	286.38	312.00	816.44	0.00334	208.27	1223.22	0.00000	-0.12459	22.96809	5.5350	6.8102	41.49610
211.30	382.82	287.48	312.77	812.77	0.00043	214.32	1228.94	0.00000	-0.11951	22.96809	5.5350	6.8548	41.49610
218.60	380.36	288.99	312.75	807.47	0.00678	220.89	1236.04	0.00000	-0.11249	22.96809	5.5350	6.9060	41.49610
227.17	374.94	294.47	312.71	801.48	0.00985	231.45	1244.85	0.00046	-0.10543	22.96809	5.5350	6.9432	41.49610
234.47	372.41	294.47	312.71	797.19	0.01239	237.50	1250.38	0.00063	-0.10056	22.96809	5.5350	6.9716	41.49610
239.63	369.27	292.18	312.67	793.01	0.01432	241.76	1254.25	0.00077	-0.09708	22.96809	5.5350	7.0032	41.49610
243.27	367.59	292.87	312.67	791.70	0.01575	244.77	1256.07	0.00088	-0.09488	22.96809	5.5350	7.0345	41.49610
245.84	367.11	293.01	312.66	791.60	0.01650	246.90	1258.88	0.00097	-0.09219	22.96809	5.5350	7.0674	41.49610
247.63	366.30	293.03	312.66	791.54	0.01651	248.50	1259.54	0.00100	-0.09044	22.96809	5.5350	7.0993	41.49610
252.02	362.16	293.26	312.66	788.40	0.01642	250.79	1262.79	0.00100	-0.08814	22.96809	5.5350	7.2016	41.49610
253.67	356.83	294.50	312.58	783.38	0.02126	257.80	1272.67	0.00105	-0.08335	22.96809	5.5350	7.0655	41.49610
260.83	353.53	295.42	312.56	777.40	0.02607	263.85	1272.60	0.00170	-0.08061	22.96809	5.5350	7.1191	41.49610
268.13	350.78	297.67	312.54	768.97	0.03336	272.42	1280.10	0.00203	-0.07402	22.96809	5.5350	7.1979	41.49610
276.70	344.85	297.87	312.50	730.29	0.04239	290.98	1287.53	0.00314	-0.06738	22.96809	5.5350	7.2897	41.49610
284.00	341.96	298.68	312.49	725.55	0.04892	287.03	1282.74	0.00379	-0.06277	22.96809	5.5350	7.3550	41.49610
289.16	338.45	299.24	312.45	747.48	0.05387	291.29	1286.40	0.00429	-0.05448	22.96809	5.5350	7.4049	41.49610
292.80	336.97	299.63	312.44	747.07	0.05742	294.30	1288.98	0.00466	-0.05720	22.96809	5.5350	7.4388	41.49610
295.37	335.95	299.94	312.44	747.02	0.05742	296.43	1300.79	0.00494	-0.05559	22.96809	5.5350	7.4500	41.49610
297.18	335.35	299.91	312.43	743.62	0.05743	297.93	1300.79	0.00494	-0.05573	22.96809	5.5350	7.4433	41.49610
298.99	327.32	300.18	312.37	740.90	0.06044	300.06	1302.60	0.00519	-0.05371	22.96809	5.5350	7.4706	41.49610
301.56	326.32	300.59	312.37	735.82	0.06074	303.07	1305.16	0.00661	-0.05147	22.96809	5.5350	7.5117	41.49610
305.20	324.60	301.07	312.36	731.03	0.07100	307.33	1308.77	0.00625	-0.04821	22.96809	5.5350	7.5715	41.49610
310.36	320.89	301.26	312.36	721.95	0.08104	314.77	1320.72	0.00721	-0.04375	22.96809	5.5350	7.6668	41.49610
317.60	317.60	301.75	312.36	719.83	0.08104	321.93	1321.07	0.00722	-0.04264	22.96809	5.5350	7.7976	41.49610
323.23	310.77	302.62	312.26	694.30	0.10203	324.50	1324.24	0.01077	-0.03100	22.96809	5.5350	7.8901	41.49610
324.33	302.25	302.43	312.23	687.48	0.12114	326.56	1328.49	0.01219	-0.02562	22.96809	5.5350	8.0011	41.49610
342.33	301.39	301.79	312.19	677.08	0.13367	343.93	1335.95	0.01402	-0.02109	22.96809	5.5350	8.1748	41.49610
344.90	300.20	301.13	312.18	675.29	0.13592	348.96	1341.11	0.01453	-0.01952	22.96809	5.5350	8.1954	41.49610
346.71	291.29	301.12	312.12	675.29	0.13604	347.46	1341.11	0.01465	-0.01921	22.96809	5.5350	8.1954	41.49610
348.52	291.44	301.32	312.11	671.90	0.14017	349.59	1342.88	0.01520	-0.01765	22.96809	5.5350	8.2378	41.49610
351.01	289.09	301.60	311.88	666.86	0.23622	356.99	1381.08	0.02073	-0.01649	22.96809	5.5350	8.3007	41.49610
354.73	287.16	301.98	312.09	593.75	0.24037	359.12	1382.87	0.03153	-0.01826	22.96809	5.5350	8.3895	41.49610
359.81	287.71	301.94	311.87	591.88	0.24038	361.54	1385.45	0.03274	-0.02050	22.96809	5.5350	9.4050	41.49610
404.26	282.62	311.51	311.77	581.72	0.25661	406.39	1389.01	0.03448	-0.02568	22.96809	5.5350	9.5220	41.49610
405.30	282.32	311.44	311.44	574.63	0.27168	412.44	1394.13	0.03704	-0.02825	22.96809	5.5350	9.7108	41.49610
407.11	314.01	310.05	310.99	553.85	0.42201	421.01	1401.39	0.04086	-0.04116	22.96809	5.5350	10.2290	41.49610
409.64</td													

LOCATION NAME	RELATIVE PRESSURE (DGC-CI)	LIQUID TEMP. (DGC-CI)	VAPOUR TEMP. (DGC-CI)	MIXTURE DENSITY (kg/m ³)	VOID FRACTION (ICMI)	AXIAL FLOW RATE (kg/m ² s)	FLOW RATE (kg/s)	FLOW RATE (kg/s)	MASS FLOW RATE (kg/s)	MASS FLOW RATE (kg/s)	FILM THICKNESS (m)	FLOW AREA		
												INLET (kg/m ³)	OUTLET (kg/m ³)	
1	0.00	409.97	295.12	314.80	0.81	0.0000	0.00	0.007645	0.00000	-0.25566	0.29564	5,491	6,1816	0.4570
2	0.38	483.72	295.12	313.45	0.81	0.0000	0.00	0.007645	0.00000	-0.25567	0.29566	5,4916	6,1822	0.4570
3	1.81	483.31	295.14	313.54	0.81	0.0000	0.00	0.007651	0.00000	-0.25568	0.29568	5,4918	6,1831	0.4570
4	4.38	492.36	295.18	313.54	0.81	0.0000	0.00	0.007651	0.00000	-0.25569	0.29569	5,4919	6,1832	0.4570
5	8.02	401.51	295.22	313.53	0.81	0.0000	0.00	0.007670	0.00000	-0.25570	0.29567	5,4920	6,1833	0.4570
6	13.18	488.84	295.26	313.51	0.81	0.0000	0.00	0.007721	0.00000	-0.25571	0.29568	5,4920	6,1823	0.4570
7	20.46	498.73	295.30	313.50	0.81	0.0000	0.00	0.007724	0.00000	-0.25572	0.29567	5,4921	6,1824	0.4570
8	25.05	492.00	295.34	313.47	0.81	0.0000	0.00	0.00774	0.00000	-0.25573	0.29568	5,4922	6,1821	0.4570
9	36.35	479.96	295.36	313.45	0.81	0.0000	0.00	0.00777	0.00000	-0.25577	0.29566	5,4923	6,1820	0.4570
10	41.51	477.16	295.37	313.43	0.81	0.0000	0.00	0.00777	0.00000	-0.25578	0.29566	5,4924	6,1819	0.4570
11	45.13	476.08	295.35	313.42	0.81	0.0000	0.00	0.00778	0.00000	-0.25579	0.29565	5,4925	6,1818	0.4570
12	48.33	487.70	295.36	313.42	0.81	0.0000	0.00	0.00779	0.00000	-0.25580	0.29564	5,4926	6,1817	0.4570
13	51.34	486.23	295.37	313.42	0.81	0.0000	0.00	0.00780	0.00000	-0.25581	0.29563	5,4927	6,1816	0.4570
14	55.31	53.51	295.35	313.37	0.81	0.0000	0.00	0.00781	0.00000	-0.25582	0.29562	5,4928	6,1815	0.4570
15	59.17	486.27	295.36	313.36	0.81	0.0000	0.00	0.00782	0.00000	-0.25583	0.29561	5,4929	6,1814	0.4570
16	63.17	486.32	295.36	313.35	0.81	0.0000	0.00	0.00783	0.00000	-0.25584	0.29560	5,4930	6,1813	0.4570
17	67.06	486.37	295.36	313.35	0.81	0.0000	0.00	0.00784	0.00000	-0.25585	0.29559	5,4931	6,1812	0.4570
18	71.95	486.42	295.36	313.35	0.81	0.0000	0.00	0.00785	0.00000	-0.25586	0.29558	5,4932	6,1811	0.4570
19	75.84	486.47	295.36	313.35	0.81	0.0000	0.00	0.00786	0.00000	-0.25587	0.29557	5,4933	6,1810	0.4570
20	79.73	486.52	295.36	313.35	0.81	0.0000	0.00	0.00787	0.00000	-0.25588	0.29556	5,4934	6,1809	0.4570
21	83.62	486.57	295.36	313.35	0.81	0.0000	0.00	0.00788	0.00000	-0.25589	0.29555	5,4935	6,1808	0.4570
22	87.51	486.62	295.36	313.35	0.81	0.0000	0.00	0.00789	0.00000	-0.25590	0.29554	5,4936	6,1807	0.4570
23	91.40	486.67	295.36	313.35	0.81	0.0000	0.00	0.00790	0.00000	-0.25591	0.29553	5,4937	6,1806	0.4570
24	95.29	486.72	295.36	313.35	0.81	0.0000	0.00	0.00791	0.00000	-0.25592	0.29552	5,4938	6,1805	0.4570
25	99.18	486.77	295.36	313.35	0.81	0.0000	0.00	0.00792	0.00000	-0.25593	0.29551	5,4939	6,1804	0.4570
26	103.07	486.82	295.36	313.35	0.81	0.0000	0.00	0.00793	0.00000	-0.25594	0.29550	5,4940	6,1803	0.4570
27	106.96	486.87	295.36	313.35	0.81	0.0000	0.00	0.00794	0.00000	-0.25595	0.29549	5,4941	6,1802	0.4570
28	110.85	486.92	295.36	313.35	0.81	0.0000	0.00	0.00795	0.00000	-0.25596	0.29548	5,4942	6,1801	0.4570
29	114.74	486.97	295.36	313.35	0.81	0.0000	0.00	0.00796	0.00000	-0.25597	0.29547	5,4943	6,1800	0.4570
30	118.63	487.02	295.36	313.35	0.81	0.0000	0.00	0.00797	0.00000	-0.25598	0.29546	5,4944	6,1799	0.4570
31	122.52	487.07	295.36	313.35	0.81	0.0000	0.00	0.00798	0.00000	-0.25599	0.29545	5,4945	6,1798	0.4570
32	126.41	487.12	295.36	313.35	0.81	0.0000	0.00	0.00799	0.00000	-0.25600	0.29544	5,4946	6,1797	0.4570
33	130.30	487.17	295.36	313.35	0.81	0.0000	0.00	0.00800	0.00000	-0.25601	0.29543	5,4947	6,1796	0.4570
34	134.19	487.22	295.36	313.35	0.81	0.0000	0.00	0.00801	0.00000	-0.25602	0.29542	5,4948	6,1795	0.4570
35	137.98	487.27	295.36	313.35	0.81	0.0000	0.00	0.00802	0.00000	-0.25603	0.29541	5,4949	6,1794	0.4570
36	141.87	487.32	295.36	313.35	0.81	0.0000	0.00	0.00803	0.00000	-0.25604	0.29540	5,4950	6,1793	0.4570
37	145.76	487.37	295.36	313.35	0.81	0.0000	0.00	0.00804	0.00000	-0.25605	0.29539	5,4951	6,1792	0.4570
38	149.65	487.42	295.36	313.35	0.81	0.0000	0.00	0.00805	0.00000	-0.25606	0.29538	5,4952	6,1791	0.4570
39	153.54	487.47	295.36	313.35	0.81	0.0000	0.00	0.00806	0.00000	-0.25607	0.29537	5,4953	6,1790	0.4570
40	157.43	487.52	295.36	313.35	0.81	0.0000	0.00	0.00807	0.00000	-0.25608	0.29536	5,4954	6,1789	0.4570
41	161.32	487.57	295.36	313.35	0.81	0.0000	0.00	0.00808	0.00000	-0.25609	0.29535	5,4955	6,1788	0.4570
42	165.21	487.62	295.36	313.35	0.81	0.0000	0.00	0.00809	0.00000	-0.25610	0.29534	5,4956	6,1787	0.4570
43	169.10	487.67	295.36	313.35	0.81	0.0000	0.00	0.00810	0.00000	-0.25611	0.29533	5,4957	6,1786	0.4570
44	172.99	487.72	295.36	313.35	0.81	0.0000	0.00	0.00811	0.00000	-0.25612	0.29532	5,4958	6,1785	0.4570
45	176.88	487.77	295.36	313.35	0.81	0.0000	0.00	0.00812	0.00000	-0.25613	0.29531	5,4959	6,1784	0.4570
46	180.77	487.82	295.36	313.35	0.81	0.0000	0.00	0.00813	0.00000	-0.25614	0.29530	5,4960	6,1783	0.4570
47	184.66	487.87	295.36	313.35	0.81	0.0000	0.00	0.00814	0.00000	-0.25615	0.29529	5,4961	6,1782	0.4570
48	188.55	487.92	295.36	313.35	0.81	0.0000	0.00	0.00815	0.00000	-0.25616	0.29528	5,4962	6,1781	0.4570
49	192.44	487.97	295.36	313.35	0.81	0.0000	0.00	0.00816	0.00000	-0.25617	0.29527	5,4963	6,1780	0.4570
50	196.33	488.02	295.36	313.35	0.81	0.0000	0.00	0.00817	0.00000	-0.25618	0.29526	5,4964	6,1779	0.4570
51	200.22	488.07	295.36	313.35	0.81	0.0000	0.00	0.00818	0.00000	-0.25619	0.29525	5,4965	6,1778	0.4570
52	204.11	488.12	295.36	313.35	0.81	0.0000	0.00	0.00819	0.00000	-0.25620	0.29524	5,4966	6,1777	0.4570
53	207.99	488.17	295.36	313.35	0.81	0.0000	0.00	0.00820	0.00000	-0.25621	0.29523	5,4967	6,1776	0.4570
54	211.88	488.22	295.36	313.35	0.81	0.0000	0.00	0.00821	0.00000	-0.25622	0.29522	5,4968	6,1775	0.4570
55	215.77	488.27	295.36	313.35	0.81	0.0000	0.00	0.00822	0.00000	-0.25623	0.29521	5,4969	6,1774	0.4570
56	219.66	488.32	295.36	313.35	0.81	0.0000	0.00	0.00823	0.00000	-0.25624	0.29520	5,4970	6,1773	0.4570
57	223.55	488.37	295.36	313.35	0.81	0.0000	0.00	0.00824	0.00000	-0.25625	0.29519	5,4971	6,1772	0.4570
58	227.44	488.42	295.36	313.35	0.81	0.0000	0.00	0.00825	0.00000	-0.25626	0.29518	5,4972	6,1771	0.4570
59	231.33	488.47	295.36	313.35	0.81	0.0000	0.00	0.00826	0.00000	-0.25627	0.29517	5,4973	6,1770	0.4570
60	235.22	488.52	295.36	313.35	0.81	0.0000	0.00	0.00827	0.00000	-0.25628	0.29516	5,4974	6,1769	0.4570
61	239.11	488.57	295.36	313.35	0.81	0.0000	0.00	0.00828	0.00000	-0.25629	0.29515	5,4975	6,1768	0.4570
62	242.99	488.62	295.36	313.35	0.81	0.0000	0.00	0.00829	0.000					

543.02	84.01	316.24	310.63	282.16	0.67646	544.08	1593.46	0.18101	0.20328	0.20456	4.4489	15.7711	0.43970
344.83	82.31	316.06	310.62	281.44	0.67778	545.58	1593.45	0.18178	0.20332	0.20466	4.4521	15.8189	0.43970
346.64	68.00	315.97	310.52	279.96	0.67997	547.71	1594.45	0.18297	0.20432	0.20500	4.4395	15.9212	0.43970
349.21	65.50	315.86	310.50	278.21	0.68270	550.72	1595.89	0.18472	0.20580	0.20518	4.4334	16.0429	0.43970
352.85	62.12	315.69	310.47	275.90	0.68534	554.98	1597.77	0.18701	0.20749	0.20537	4.4673	16.1926	0.43970
358.01	54.78	315.44	310.42	272.75	0.69171	561.03	1600.24	0.19330	0.20978	0.20525	4.4649	16.3889	0.43970
365.31	48.17	315.07	310.37	268.89	0.69746	569.01	1603.16	0.20441	0.21242	0.20518	4.4891	16.6240	0.43970
373.86	37.71	314.53	310.23	265.59	0.70307	584.16	1602.36	0.19380	0.20710	0.20536	4.4673	16.8324	0.43970
381.94	28.71	313.31	310.23	260.59	0.70559	584.21	1601.41	0.20028	0.21562	0.20538	4.4677	16.9603	0.43970
383.24	21.34	314.04	310.18	261.88	0.70894	588.47	1605.47	0.20188	0.21622	0.20538	4.4677	17.0503	0.43970
383.98	18.03	313.84	310.15	261.11	0.71032	591.48	1605.92	0.20275	0.21633	0.20550	4.4724	17.1286	0.43970
382.55	15.68	313.68	310.14	260.77	0.71100	593.61	1606.65	0.20313	0.21616	0.20609	4.4831	17.1918	0.43970
383.99	14.22	313.63	310.13	260.63	0.71126	594.36	1606.37	0.20324	0.21613	0.20615	4.4845	17.2067	0.43970
344.36	0.02												

SUBCHANNEL AXIAL AVERAGE VOID = 21.800002 (%)

¹CASE0101 ASSERT-PV V2R8 Input Modelling : RUFIC(CANFLEX-RU) CANDU Base DATE 101-1-18 TIME 18:28:27

MIXTURE CROSSFLOW BETWEEN ADJACENT CHANNELS, W01JJ TIME = 0.00000 SECONDS

AXIAL ZONE [CM]	W ¹ , 0, 0, 0	W ¹ , 2, 10, 0	W ¹ , 2, 31, 0	W ¹ , 3, 12, 0	W ¹ , 3, 4, 0	W ¹ , 4, 14, 0	W ¹ , 48, 49, 0	W ¹ , 1, 71, 0	W ¹ , 5, 6, 0
[KG M ⁻³ S ⁻¹]									
0.0 - 0.8	0.00000	0.01029	-0.07043	-0.0571	-0.03061	-0.06499	-0.04261	0.00003	0.07045
0.8 - 2.9	0.00000	0.01139	-0.06479	-0.03893	-0.02729	-0.05760	-0.03463	0.00003	0.06481
2.9 - 5.9	0.00000	0.00700	-0.04163	-0.02534	-0.01716	-0.05577	-0.02344	0.00003	0.04165
5.9 - 10.2	0.00000	-0.00107	0.01391	0.01243	0.00701	0.02117	0.01988	0.00004	-0.01381
10.2 - 16.2	0.00000	0.00635	-0.03246	-0.01988	-0.01301	-0.02751	-0.02311	0.00004	0.03248
16.2 - 24.8	0.00000	0.01073	0.03385	0.03266	0.02848	0.03187	0.03050	0.00006	0.03581
24.8 - 33.3	0.00000	0.00499	-0.03446	-0.01656	-0.01137	-0.02501	-0.01807	0.00008	0.02652
33.3 - 39.4	0.00000	-0.00697	0.03661	0.02218	0.01652	0.03535	0.01785	0.00007	-0.03657
39.4 - 43.6	0.00000	-0.01389	0.05784	0.02513	0.02650	0.04431	-0.00051	0.00008	-0.05779
43.6 - 46.7	0.00000	-0.03170	0.16386	0.09132	0.07693	0.14971	0.04767	0.00009	-0.16779
46.7 - 48.8	0.00000	-0.03272	0.25423	0.19016	0.11003	0.27626	0.21705	0.00010	-0.23117
48.8 - 50.3	0.00000	-0.03460	0.19190	0.10227	0.08136	0.15640	0.10131	0.00009	-0.19183
50.3 - 52.4	0.00000	-0.03275	0.08169	0.02844	0.03198	0.03923	0.00780	0.00010	-0.08161
52.4 - 55.4	0.00000	-0.03973	-0.01000	-0.01626	-0.00796	-0.03265	-0.02542	0.00012	0.01008
55.4 - 59.7	0.00000	-0.03495	-0.02545	-0.01306	-0.01418	-0.03069	-0.00390	0.00013	0.02354
59.7 - 63.7	0.00000	-0.00702	-0.07780	-0.04603	-0.03930	-0.07692	-0.04331	0.00014	0.07790
63.7 - 74.3	0.00000	-0.00923	-0.00840	-0.06263	-0.06221	0.06723	-0.03897	0.00014	-0.00831
74.3 - 82.9	0.00000	-0.00914	-0.00843	-0.06220	-0.06203	0.06709	-0.03871	0.00012	-0.02544
82.9 - 84.9	0.00000	-0.00945	-0.00822	-0.06222	-0.06188	0.06642	-0.03857	0.00010	-0.00555
84.9 - 102.2	0.00000	-0.00847	-0.00844	-0.06476	-0.06024	-0.07034	-0.03348	0.00010	-0.00532
102.2 - 162.2	0.00000	-0.00656	-0.07680	0.03482	0.03173	0.03098	0.01681	0.00007	-0.07670
162.2 - 183.3	0.00000	-0.00407	0.17445	0.10309	0.07801	0.16607	0.07501	0.00007	-0.17434
183.3 - 198.8	0.00000	-0.01788	0.21363	0.18185	0.14397	0.23047	0.20936	0.00008	-0.21349
198.8 - 208.3	0.00000	-0.01789	0.13486	0.06748	0.05983	0.10335	0.05770	0.00007	-0.13473
208.3 - 210.9	0.00000	-0.01938	0.13035	0.06547	0.05274	0.09274	-0.01349	0.00011	-0.01291
210.9 - 104.9	0.00000	-0.01939	0.13486	0.06748	0.05983	0.10335	0.05770	0.00013	0.03490
104.9 - 109.2	0.00000	-0.01938	0.13486	0.06748	0.05983	0.10335	0.05770	0.00013	0.03490
109.2 - 115.3	0.00000	-0.00734	0.09448	0.05326	0.04253	0.08948	-0.05321	0.00015	0.09466
115.3 - 123.8	0.00000	-0.00842	-0.01147	-0.00470	-0.00548	-0.00908	-0.00587	0.00010	0.01165
123.8 - 132.4	0.00000	-0.00319	-0.06345	-0.04013	-0.03015	-0.06174	-0.04361	0.00010	0.03635
132.4 - 138.4	0.00000	-0.00617	-0.07000	-0.02545	-0.01626	-0.06576	-0.04134	0.00008	0.01627
138.4 - 142.7	0.00000	-0.00841	-0.01444	-0.01351	-0.00570	-0.01806	-0.01314	0.00007	0.01461
142.7 - 145.7	0.00000	-0.02690	0.06065	0.02520	0.02302	0.04939	-0.00799	0.00002	-0.06044
145.7 - 147.8	0.00000	-0.04488	0.15382	0.09217	0.07183	0.15643	0.06257	0.00000	-0.15361
147.8 - 149.3	0.00000	-0.01650	0.14330	0.06118	0.04865	0.24670	0.05215	0.00000	-0.18307
149.3 - 151.5	0.00000	-0.04225	0.14320	0.06151	0.04988	0.24688	0.05197	0.00000	-0.11149
151.5 - 152.5	0.00000	-0.00848	0.09160	0.06160	0.04440	0.24243	0.04360	0.00005	0.00351
152.5 - 154.5	0.00000	-0.03771	-0.02528	-0.03982	-0.02426	-0.05057	-0.02550	0.00007	0.02512
154.5 - 162.2	0.00000	-0.00324	-0.11123	-0.05551	-0.04852	-0.10073	-0.06481	0.00009	0.11553
162.2 - 173.4	0.00000	-0.00673	-0.02885	-0.10554	-0.01614	-0.02088	-0.01620	0.00000	0.02912
173.4 - 181.9	0.00000	-0.00445	-0.08549	-0.05063	-0.03835	-0.07415	-0.05256	0.00001	0.08580
181.9 - 188.0	0.00000	-0.00631	-0.02812	-0.0570	-0.01030	-0.08189	-0.01143	-0.00005	0.02842
188.0 - 192.2	0.00000	-0.01917	-0.00615	-0.01188	-0.00635	-0.00946	-0.03279	-0.00007	0.00648
192.2 - 195.2	0.00000	-0.03548	0.04857	0.04996	0.04801	0.05658	0.01171	-0.00010	-0.04823
195.2 - 197.4	0.00000	-0.02598	0.17780	0.14575	0.14575	0.22630	0.15846	-0.00003	-0.17737
197.4 - 198.9	0.00000	-0.04443	0.11296	0.05888	0.05142	0.10237	0.05488	-0.00014	-0.11262
198.9 - 201.0	0.00000	-0.02434	0.01901	-0.01104	-0.00579	-0.02098	-0.01262	-0.00003	-0.03434
201.0 - 204.0	0.00000	-0.00051	-0.08142	-0.01523	-0.01528	-0.07381	-0.04844	-0.00012	0.08070
204.0 - 208.3	0.00000	-0.00719	-0.10777	-0.05714	-0.04042	-0.07051	-0.14660	-0.00008	0.15984
208.3 - 214.3	0.00000	-0.02039	-0.15444	-0.04042	-0.03731	-0.14490	-0.20760	-0.00008	0.13765
214.3 - 222.9	0.00000	-0.00442	-0.07556	-0.04391	-0.03251	-0.06495	-0.20762	0.00021	0.07431
222.9 - 231.5	0.00000	-0.01921	-0.14157	-0.06302	-0.06123	-0.12672	-0.05413	0.00021	0.14197
231.5 - 237.5	0.00000	-0.00151	-0.03531	-0.01717	-0.01393	-0.07648	-0.03381	0.00028	0.01535
237.5 - 241.8	0.00000	-0.00837	-0.01758	-0.01232	-0.01107	-0.07777	-0.03224	0.00028	0.02848
241.8 - 248.8	0.00000	-0.01001	-0.02184	-0.01709	-0.01098	-0.07277	-0.03221	0.00022	0.02532
248.8 - 263.9	0.00000	-0.00272	-0.15223	-0.05551	-0.04211	-0.16378	-0.14736	-0.00018	-0.15167
263.9 - 271.5	0.00000	-0.02466	-0.19251	-0.07233	-0.06313	-0.16378	-0.12426	-0.00012	0.13765
271.5 - 307.9	0.00000	-0.01766	-0.14378	-0.08973	-0.07421	-0.16378	-0.12349	-0.00002	0.14844
307.9 - 309.1	0.00000	-0.01111	-0.08933	-0.03114	-0.01053	-0.17204	-0.13388	-0.00004	0.03888
309.1 - 303.1	0.00000	-0.00364</							

442.9	-	445.0	0.00000	-0.00003	0.07671	0.01771	0.05182	0.00122	0.04004	0.00034	-0.07461
445.0	-	446.5	0.00000	-0.02070	0.14430	0.10486	0.07290	0.02074	0.27158	0.00028	-0.14208
446.5	-	448.6	0.00000	0.00275	0.03066	-0.01366	0.02773	0.03395	-0.00636	0.00074	-0.02842
448.6	-	451.7	0.00000	0.04984	-0.11969	-0.08053	-0.03835	-0.08376	-0.11091	0.00133	0.12223
451.7	-	453.9	0.00000	0.05824	-0.16984	-0.07076	-0.06007	-0.10894	-0.09215	0.00139	0.17238
453.9	-	462.0	0.00000	0.08923	-0.22854	-0.12772	-0.08333	-0.15561	-0.13734	0.00169	0.23118
462.0	-	470.5	0.00000	0.04493	-0.13303	-0.08193	-0.04389	-0.08245	-0.03723	0.00029	0.13484
470.5	-	479.1	0.00000	0.05493	-0.19886	-0.11382	-0.04921	-0.13133	-0.10641	0.00035	0.19531
479.1	-	484.4	0.00000	0.0101	-0.12175	-0.06000	-0.04449	-0.07883	-0.03616	-0.00033	0.12836
484.4	-	492.4	0.00000	0.03872	-0.05370	-0.07441	-0.02312	-0.08882	-0.01621	-0.00120	-0.00451
492.4	-	494.6	0.00000	-0.02305	0.08864	0.06467	0.03835	0.15319	0.23096	-0.00280	-0.00888
494.6	-	496.1	0.00000	-0.01778	0.04203	-0.01080	0.03110	0.04988	0.03031	-0.00717	-0.01158
496.1	-	498.2	0.00000	-0.01521	-0.06774	-0.06629	-0.01809	-0.05287	-0.00650	-0.00048	0.06885
498.2	-	501.2	0.00000	0.04010	-0.15250	-0.10174	-0.05400	-0.11356	-0.10331	0.00028	0.15402
501.2	-	505.5	0.00000	0.03895	-0.16293	-0.09349	-0.05836	-0.11000	-0.09550	0.00013	0.16425
505.5	-	511.5	0.00000	0.05303	-0.20073	-0.12124	-0.07319	-0.14320	-0.10868	0.00054	0.30228
511.5	-	520.1	0.00000	0.02857	-0.11925	-0.07789	-0.03873	-0.07564	-0.04053	-0.00112	0.11966
520.1	-	528.6	0.00000	0.04395	-0.17512	-0.10838	-0.05303	-0.12311	-0.08616	-0.00079	0.17364
528.6	-	534.7	0.00000	0.03058	-0.12195	-0.07874	-0.04119	-0.07937	-0.04219	-0.00160	0.12185
534.7	-	538.9	0.00000	0.03035	-0.11660	-0.08219	-0.03846	-0.08491	-0.06629	-0.00148	0.11662
538.9	-	542.0	0.00000	0.01114	-0.04580	-0.04858	-0.00727	-0.03126	-0.03626	-0.00212	0.04341
542.0	-	544.1	0.00000	-0.01681	0.05216	0.00881	0.03712	0.07081	0.06143	-0.00350	-0.05337
544.1	-	545.6	0.00000	-0.01387	0.08647	0.08403	0.04558	0.16996	0.23360	-0.00459	-0.08843
545.6	-	547.7	0.00000	-0.01975	0.02491	-0.01716	0.02081	0.02210	0.03646	-0.00292	-0.02395
547.7	-	550.7	0.00000	0.01248	-0.08812	-0.07529	-0.02801	-0.07529	-0.03400	-0.00147	0.08807
550.7	-	553.0	0.00000	0.02243	-0.13147	-0.08912	-0.04785	-0.08944	-0.04793	-0.00129	0.13138
553.0	-	560.0	0.00000	0.03620	-0.10832	-0.11355	-0.06111	-0.13344	-0.11717	0.00063	0.78953
561.0	-	569.6	0.00000	0.05757	-0.10537	-0.07145	-0.03777	-0.10229	-0.03153	-0.00177	0.11673
569.6	-	578.2	0.00000	0.03573	-0.15257	-0.10220	-0.05358	-0.11677	-0.07271	-0.00179	0.15404
578.2	-	584.2	0.00000	0.01623	-0.02554	-0.00929	-0.00349	-0.00227	-0.01188	-0.00262	0.16135
584.2	-	588.5	0.00000	0.01147	-0.07138	-0.06115	-0.02107	-0.03556	-0.04416	-0.00271	0.07007
588.5	-	591.5	0.00000	-0.02248	0.05057	-0.00336	0.03513	0.04811	0.00561	-0.00426	-0.03277
591.5	-	593.6	0.00000	-0.06417	0.19427	0.04352	0.09627	0.20276	0.18539	-0.00636	-0.19797
593.6	-	594.4	0.00000	-0.04479	0.20204	0.15678	0.09532	0.27897	0.29488	-0.00707	-0.20621

1 CASE80101 ASSERT-PV V2R8 Input Modelling : RUPIC(CANFLEX-RUC CANUD Base DATE 101- 1-18 TIME 18:28:27

CRITICAL HEAT FLUX SUMMARY: TABLE CHF CORRELATION TIME = 0.00000 SECONDS

MINIMUM CRITICAL HEAT FLUX RATIO (MCHFR) RESULTS

AXIAL ZONE	HEAT FLUX [MW/m ²]	MCHFR RATIO	IN[0]	ROD CHANNEL	IN[0]
0.0	-	0.8	0.00000	99.0000	0
0.8	-	2.9	0.00000	98.0000	0
2.9	-	5.9	0.00541	83.1970	33
5.9	-	10.2	0.17450	45.6539	33
10.2	-	16.2	0.27683	28.5232	34
16.2	-	24.8	0.40914	19.4257	33
24.8	-	33.3	0.54243	14.4201	34
33.3	-	39.4	0.64634	12.0733	34
39.4	-	43.6	0.71521	10.8118	33
43.6	-	46.7	0.76258	10.2809	33
46.7	-	48.8	0.79541	10.1467	33
48.8	-	50.3	0.00000	99.0000	0
50.3	-	52.4	0.83838	95.9396	33
52.4	-	53.4	0.86979	91.5115	34
53.4	-	59.7	0.91207	86.6480	33
59.7	-	63.7	0.92778	79.5366	34
63.7	-	74.3	1.04184	72.077	33
74.3	-	82.9	1.12150	65.9115	33
82.9	-	88.0	1.18391	61.5122	33
88.0	-	93.2	1.27741	56.8359	33
93.2	-	96.2	1.25681	56.6265	33
96.2	-	103.3	1.27603	56.6274	34
103.3	-	109.9	0.00000	99.0000	0
109.9	-	110.9	1.36205	56.3235	33
110.9	-	104.9	1.32187	54.7639	33
104.9	-	109.2	1.34701	52.2766	33
109.2	-	115.3	1.38190	49.9067	33
115.3	-	123.8	1.42750	46.6740	33
123.8	-	132.4	1.47709	44.2905	33
132.4	-	138.4	1.51676	40.0549	35
138.4	-	142.7	1.54357	38.8118	33
142.7	-	145.7	1.56015	37.822	33
145.7	-	147.8	1.57109	37.7338	33
147.8	-	149.3	0.00000	99.0000	0
149.3	-	151.5	1.58444	37.7953	33
151.5	-	154.5	1.59433	36.6583	33
154.5	-	158.7	1.60413	35.5057	33
158.7	-	164.8	1.61483	35.2225	33
164.8	-	173.4	1.61880	34.0211	33
173.4	-	181.9	1.60739	27.9349	33
181.9	-	188.0	1.58881	27.0011	33
188.0	-	192.2	1.57545	26.5257	34
192.2	-	195.2	1.56434	26.2721	33
195.2	-	197.4	1.55048	26.3637	34
197.4	-	198.9	0.00000	99.0000	0
198.9	-	201.0	1.54497	26.3007	34
201.0	-	204.0	1.53633	25.9933	34
204.0	-	208.3	1.52461	25.5486	34
208.3	-	213.3	1.50707	25.2477	34
213.3	-	214.3	1.50050	25.0653	34
214.3	-	222.9	1.47254	23.1114	34
222.9	-	231.5	1.43825	22.5116	34
231.5	-	237.5	1.44819	22.1332	34
237.5	-	244.8	1.44111	21.844	34
244.8	-	246.9	1.43511	21.651	34
246.9	-	248.4	0.00000	99.0000	0
248.4	-	250.5	1.42905	21.658	34
250.5	-	253.5	1.42405	21.4248	33
253.5	-	257.8	1.41722	21.061	34
257.8	-	263.8	1.40834	20.6338	34
263.8	-	272.4	1.39684	20.0000	33
272.4	-	281.0	1.38472	19.938	33
281.0	-	287.0	1.37509	19.203	33
287.0	-	291.3	1.36978	18.926	33
291.3	-	297.2	1.37111	18.701	33
297.2	-	304.3	1.36136	18.533	34
304.3	-	307.9	0.00000	99.0000	0
307.9	-	300.1	1.33756	18.268	33
300.1	-	303.1	1.33476	18.010	33
303.1	-	307.3	1.33115	17.964	32
307.3	-	313.4	1.34622	17.839	33
313.4	-	321.9	1.34037	17.361	34
321.9	-	330.5	1.33407	16.463	34
330.5	-	336.6	1.33133	15.826	33
336.6	-	340.8	1.32945	15.345	33
340.8	-	343.8	1.32843	15.026	32
343.8	-	346.0	1.32781	14.965	32
346.0	-	347.5	0.00000	99.0000	0
347.5	-	349.6	1.32693	14.734	32

CASE-0101		ASSERT-PV V2RN Input Modelling : RUFIC/CANFLEX-RU CANDU Base										DATE 101- 1-18 TIME 18:28:27											
CRITICAL HEAT FLUX SUMMARY: TABLE CHF CORRELATION												TIME = 0.000000 SECONDS											
SUBSEQUENT CHFR RESULTS																							
AXIAL ZONE [CM]													RADIAL LOCATION (CHFR - ROD - SUBCHANNEL)										
0.0	0.8	91.000-	0-	0	90.000-	0-	0	90.000-	0-	0	90.000-	0-	0										
0.8	239	199.000-	20-	20	199.000-	20-	20	199.000-	20-	20	199.000-	20-	20										
239	539	83.100-	34-	60	84.278-	32-	59	84.278-	33-	59	84.278-	34-	61										
539	102	45.654-	34-	60	46.223-	31-	61	46.223-	32-	61	46.223-	32-	61										
102	162	28.523-	33-	60	28.884-	34-	61	28.884-	35-	61	28.884-	35-	61										
162	248	19.426-	34-	60	19.666-	34-	61	19.666-	35-	61	19.666-	35-	61										
248	333	14.420-	33-	60	14.608-	34-	61	14.608-	35-	61	14.608-	35-	61										
333	394	12.057-	33-	60	12.233-	34-	61	12.233-	35-	61	12.233-	35-	61										
394	436	10.882-	34-	60	11.020-	35-	61	11.020-	35-	61	11.020-	35-	61										
436	467	10.281-	34-	60	10.384-	34-	61	10.384-	35-	61	10.384-	35-	61										
467	488	10.147-	34-	60	10.211-	34-	61	10.211-	35-	61	10.211-	35-	61										
488	503	99.000-	0-	0	99.000-	0-	0	99.000-	0-	0	99.000-	0-	0										
503	524	9.934-	34-	60	9.670-	34-	61	9.670-	35-	61	9.670-	35-	61										
524	534	9.152-	33-	60	9.238-	35-	61	9.238-	32-	61	9.238-	33-	61										
534	597	8.648-	34-	60	8.740-	35-	61	8.740-	32-	61	8.740-	33-	61										
597	657	7.936-	33-	60	8.038-	35-	61	8.038-	32-	61	8.038-	32-	61										
657	743	7.310-	34-	60	7.411-	34-	61	7.411-	35-	61	7.411-	34-	61										
743	825	6.632-	34-	60	6.697-	35-	61	6.697-	32-	61	6.697-	33-	61										
825	889	6.162-	34-	60	6.249-	34-	61	6.249-	35-	61	6.249-	35-	61										
889	932	5.654-	34-	60	5.948-	34-	61	5.948-	35-	61	5.948-	32-	61										
932	962	5.983-	34-	60	5.770-	35-	61	5.770-	32-	61	5.770-	32-	61										
962	983	5.627-	33-	60	5.700-	34-	61	5.700-	34-	61	5.700-	32-	61										
983	918	99.000-	0-	0	99.000-	0-	0	99.000-	0-	0	99.000-	0-	0										
918	1019	5.633-	34-	60	5.688-	35-	61	5.688-	32-	61	5.688-	33-	61										
1019	1049	5.474-	34-	60	5.534-	34-	61	5.534-	35-	61	5.534-	32-	61										
1049	1012	5.288-	34-	60	5.350-	34-	61	5.350-	32-	61	5.350-	32-	61										
1012	1153	4.997-	34-	60	5.063-	35-	61	5.063-	32-	61	5.063-	33-	61										
1153	1238	4.674-	34-	60	4.750-	32-	59	4.750-	33-	59	4.750-	35-	61										
1238	1324	4.210-	34-	60	4.399-	32-	59	4.399-	33-	59	4.399-	34-	61										
1324	1384	4.033-	34-	60	4.133-	32-	59	4.133-	35-	61	4.133-	34-	61										
1384	1427	3.882-	34-	60	3.960-	32-	59	3.960-	33-	59	3.960-	34-	61										
1427	1478	3.782-	34-	60	3.839-	33-	59	3.839-	33-	59	3.839-	34-	61										
1478	1493	91.000-	0-	0	91.000-	0-	0	91.000-	0-	0	91.000-	0-	0										
1493	1513	3.770-	34-	60	3.830-	33-	59	3.830-	32-	59	3.830-	34-	61										
1513	1545	3.663-	34-	60	3.733-	32-	59	3.733-	32-	59	3.733-	34-	61										
1545	1387	3.506-	34-	60	3.577-	32-	59	3.577-	35-	61	3.577-	34-	61										
1387	1587	3.273-	34-	60	3.346-	32-	59	3.346-	35-	61	3.346-	34-	61										
1587	1648	3.021-	34-	60	3.094-	32-	59	3.094-	34-	61	3.094-	35-	61										
1648	1619	2.795-	34-	60	2.860-	32-	59	2.860-	35-	61	2.860-	34-	61										
1619	1680	2.700-	34-	60	2.742-	32-	59	2.742-	35-	61	2.742-	34-	61										
1680	1922	2.633-	33-	60	2.691-	32-	59	2.691-	34-	61	2.691-	35-	61										
1922	1952	2.627-	34-	60	2.664-	32-	59	2.664-	33-	61	2.664-	35-	61										
1952	1973	2.637-	33-	60	2.664-	33-	59	2.664-	35-	61	2.664-	35-	61										
1973	1883	99.000-	0-	0	99.000-	0-	0	99.000-	0-	0	99.000-	0-	0										
1883	2010	2.631-	33-	60	2.657-	33-	59	2.657-	32-	59	2.657-	34-	61										
2010	2041	2.593-	33-	60	2.621-	32-	59	2.621-	34-	61	2.621-	35-	61										
2041	2063	2.543-	33-	60	2.572-	32-	59	2.572-	33-	61	2.572-	35-	61										
2063	2083	2.483-	33-	60	2.508-	32-	59	2.508-	33-	61	2.508-	34-	61										
2083	2143	2.286-	33-	60	2.407-	32-	59	2.407-	34-	61	2.407-	35-	61										
2143	2229	2.286-	33-	60	2.407-	32-	59	2.407-	35-	61	2.407-	35-	61										
2229	2243	2.311-	33-	60	2.329-	33-	59	2.329-	32-	59	2.329-	34-	61										
2243	2375	2.252-	34-	60	2.269-	32-	59	2.269-	33-	59	2.269-	35-	61										
2375	2418	2.213-	34-	60	2.231-	32-	59	2.231-	34-	61	2.231-	35-	61										
2418	2448	2.184-	33-	60	2.202-	32-	59	2.202-	35-	61	2.202-	34-	61										
2448	2469	2.163-	33-	60	2.180-	32-	59	2.180-	33-	61	2.180-	35-	61										
2469	2484	99.000-	0-	0	99.000-	0-	0	99.000-	0-	0	99.000-	0-	0										
2484	2505	2.166-	33-	60	2.171-	32-	59	2.172-	34-	61	2.172-	35-	61										
2505	2535	2.143-	34-	60	2.149-	32-	59	2.149-	33-	61	2.149-	35-	61										
2535	2573	2.106-	33-	60	2.112-	32-	59	2.112-	34-	61	2.112-	35-	61										

257.8	-	263.8	2.064	-33- 60	2.008	-33- 59	2.068	-32- 59	2.068	-34- 61	2.038	-35- 61	2.245	-33- 34
264.8	-	272.4	2.000	-32- 59	2.000	-34- 61	2.000	-35- 61	2.001	-33- 60	2.001	-34- 60	2.160	-33- 34
272.4	-	281.0	1.960	-32- 59	1.960	-34- 61	1.960	-35- 61	1.963	-34- 60	1.963	-33- 60	2.083	-33- 34
281.0	-	287.0	1.920	-32- 59	1.920	-34- 61	1.920	-35- 61	1.922	-34- 60	1.925	-33- 60	2.028	-33- 34
287.0	-	281.3	1.900	-32- 59	1.900	-34- 61	1.900	-35- 61	1.904	-34- 60	1.904	-33- 60	1.987	-32- 34
281.3	-	284.3	1.880	-32- 59	1.880	-34- 61	1.880	-35- 61	1.882	-34- 60	1.882	-33- 60	1.939	-32- 34
284.3	-	296.4	1.853	-32- 59	1.854	-34- 59	1.854	-32- 59	1.854	-35- 61	1.854	-34- 61	1.939	-33- 34
296.4	-	237.9	99.000	- 0- 0	99.000	- 0- 0	99.000	- 0- 0	99.000	- 0- 0	99.000	- 0- 0	99.000	- 0- 0
297.9	-	300.1	1.827	-32- 59	1.827	-35- 61	1.827	-34- 61	1.827	-33- 60	1.829	-34- 60	1.930	-33- 34
300.1	-	303.1	1.817	-32- 59	1.817	-35- 61	1.817	-34- 61	1.820	-33- 60	1.820	-34- 60	1.902	-33- 34
303.1	-	307.3	1.795	-32- 59	1.797	-35- 61	1.797	-34- 61	1.801	-34- 60	1.801	-33- 60	1.865	-33- 34
307.3	-	313.4	1.784	-32- 59	1.784	-35- 61	1.784	-34- 61	1.790	-34- 60	1.790	-33- 60	1.816	-32- 34
313.4	-	321.9	1.736	-32- 59	1.736	-32- 59	1.736	-33- 59	1.736	-34- 61	1.736	-35- 61	1.740	-33- 34
321.9	-	330.5	1.646	-33- 35	1.671	-33- 34	1.671	-32- 34	1.671	-35- 36	1.671	-34- 36	1.673	-32- 33
330.5	-	336.6	1.583	-34- 35	1.591	-32- 33	1.591	-33- 33	1.616	-33- 34	1.616	-32- 34	1.616	-34- 36
336.6	-	340.8	1.535	-34- 35	1.543	-32- 33	1.543	-33- 33	1.584	-32- 34	1.584	-33- 34	1.584	-34- 36
340.8	-	343.8	1.503	-35- 37	1.511	-33- 35	1.511	-34- 35	1.539	-33- 34	1.539	-32- 34	1.539	-34- 36
343.8	-	346.0	1.497	-35- 37	1.504	-34- 35	1.504	-33- 35	1.540	-33- 34	1.540	-32- 34	1.540	-35- 36
346.0	-	347.5	99.000	- 0- 0	99.000	- 0- 0	99.000	- 0- 0	99.000	- 0- 0	99.000	- 0- 0	99.000	- 0- 0
347.5	-	349.6	1.476	-35- 37	1.485	-33- 35	1.485	-32- 35	1.512	-32- 34	1.512	-33- 34	1.529	-32- 35
349.6	-	351.6	1.450	-35- 37	1.459	-33- 35	1.459	-32- 35	1.488	-32- 34	1.488	-33- 34	1.488	-34- 36
351.6	-	352.6	1.422	-35- 37	1.430	-33- 35	1.430	-32- 35	1.455	-32- 34	1.455	-33- 34	1.455	-35- 36
352.6	-	356.9	1.379	-35- 37	1.397	-33- 35	1.397	-34- 35	1.398	-33- 34	1.398	-32- 34	1.398	-35- 36
356.9	-	362.9	1.316	-35- 37	1.335	-34- 35	1.335	-33- 35	1.346	-32- 34	1.346	-33- 34	1.346	-34- 36
362.9	-	371.5	1.250	-35- 37	1.273	-34- 35	1.273	-33- 35	1.290	-32- 34	1.290	-33- 34	1.290	-34- 36
371.5	-	380.0	1.203	-35- 37	1.220	-34- 35	1.206	-33- 35	1.224	-32- 34	1.224	-33- 34	1.224	-34- 36
380.0	-	386.1	1.181	-35- 37	1.187	-34- 35	1.187	-33- 35	1.204	-32- 34	1.204	-33- 34	1.204	-34- 36
386.1	-	390.4	1.163	-35- 37	1.174	-34- 35	1.174	-33- 35	1.196	-32- 34	1.196	-33- 34	1.196	-34- 36
390.4	-	393.4	1.151	-35- 37	1.164	-34- 35	1.164	-33- 35	1.186	-32- 34	1.186	-33- 34	1.186	-34- 36
393.4	-	395.5	99.000	- 0- 0	99.000	- 0- 0	99.000	- 0- 0	99.000	- 0- 0	99.000	- 0- 0	99.000	- 0- 0
395.5	-	397.0	1.145	-35- 37	1.167	-33- 35	1.167	-34- 35	1.221	-32- 34	1.221	-33- 34	1.221	-35- 36
397.0	-	399.1	1.128	-35- 37	1.150	-34- 35	1.150	-33- 35	1.205	-32- 34	1.205	-33- 34	1.206	-34- 36
399.1	-	402.1	1.108	-35- 37	1.120	-34- 35	1.120	-33- 35	1.186	-32- 34	1.186	-33- 34	1.186	-35- 36
402.1	-	404.6	1.083	-35- 37	1.102	-34- 35	1.102	-33- 35	1.163	-32- 34	1.163	-33- 34	1.163	-34- 36
404.6	-	412.4	1.046	-35- 37	1.062	-34- 35	1.062	-33- 35	1.123	-32- 34	1.123	-33- 34	1.123	-35- 36
412.4	-	421.0	1.017	-35- 37	1.030	-34- 35	1.030	-33- 35	1.093	-32- 34	1.093	-33- 34	1.093	-35- 36
421.0	-	429.6	1.012	-35- 37	1.023	-34- 35	1.023	-33- 35	1.077	-32- 34	1.077	-32- 34	1.077	-35- 36
429.6	-	431.9	1.013	-35- 37	1.021	-34- 35	1.021	-33- 35	1.077	-32- 34	1.077	-33- 34	1.077	-34- 36
431.9	-	439.4	1.014	-35- 37	1.021	-34- 35	1.021	-33- 35	1.077	-32- 34	1.077	-33- 34	1.077	-35- 36
439.4	-	445.0	99.000	- 0- 0	99.000	- 0- 0	99.000	- 0- 0	99.000	- 0- 0	99.000	- 0- 0	99.000	- 0- 0
445.0	-	446.5	99.000	- 0- 0	99.000	- 0- 0	99.000	- 0- 0	99.000	- 0- 0	99.000	- 0- 0	99.000	- 0- 0
446.5	-	448.6	1.026	-35- 37	1.033	-34- 35	1.033	-35- 37	1.081	-32- 34	1.081	-34- 36	1.081	-34- 36
448.6	-	451.7	1.027	-35- 37	1.032	-34- 35	1.032	-34- 35	1.082	-32- 34	1.082	-33- 34	1.083	-34- 36
451.7	-	455.9	1.030	-35- 37	1.033	-34- 35	1.033	-34- 35	1.086	-32- 34	1.086	-33- 34	1.086	-35- 36
455.9	-	462.0	1.037	-34- 35	1.037	-32- 33	1.037	-35- 37	1.095	-33- 34	1.095	-32- 34	1.096	-35- 36
462.0	-	470.5	1.043	-34- 35	1.048	-32- 33	1.049	-35- 37	1.105	-33- 34	1.105	-32- 34	1.105	-35- 36
470.5	-	479.1	1.054	-34- 35	1.063	-32- 33	1.070	-35- 37	1.129	-33- 34	1.129	-32- 34	1.130	-35- 36
479.1	-	485.1	1.066	-34- 35	1.086	-32- 33	1.086	-35- 37	1.171	-33- 34	1.154	-32- 34	1.155	-34- 36
485.1	-	489.4	1.080	-33- 35	1.105	-32- 33	1.105	-35- 37	1.176	-32- 34	1.176	-33- 34	1.177	-34- 36
489.4	-	492.4	1.092	-33- 35	1.120	-32- 33	1.122	-35- 37	1.183	-33- 36	1.183	-34- 36	1.191	-33- 34
492.4	-	494.6	1.098	-33- 35	1.123	-32- 33	1.125	-35- 37	1.174	-33- 36	1.174	-34- 36	1.201	-33- 34
494.6	-	496.1	99.000	- 0- 0	99.000	- 0- 0	99.000	- 0- 0	99.000	- 0- 0	99.000	- 0- 0	99.000	- 0- 0
496.1	-	498.2	1.121	-33- 35	1.150	-32- 33	1.152	-35- 37	1.208	-34- 36	1.208	-33- 36	1.229	-33- 34
498.2	-	501.2	1.129	-34- 35	1.162	-32- 33	1.165	-35- 37	1.217	-33- 36	1.217	-34- 36	1.240	-33- 34
501.2	-	505.5	1.139	-33- 35	1.170	-32- 33	1.182	-35- 37	1.227	-34- 36	1.227	-33- 36	1.238	-32- 34
505.5	-	511.5	1.138	-34- 35	1.169	-32- 33	1.212	-35- 37	1.248	-33- 36	1.248	-34- 36	1.261	-32- 34
511.5	-	520.1	1.152	-34- 35	1.237	-32- 33	1.251	-35- 37	1.283	-33- 36	1.283	-34- 36	1.298	-32- 34
520.1	-	530.6	1.154	-34- 35	1.238	-32- 33	1.244	-35- 37	1.284	-33- 36	1.284	-34- 36	1.321	-32- 34
530.6	-	534.7	1.151	-34- 35	1.229	-32- 33	1.242	-35- 37	1.286	-33- 36	1.286	-34- 36	1.309	-32- 34
534.7	-	538.9	1.141	-34- 35	1.514	-32- 33	1.520	-35- 37	1.346	-32- 36	1.346	-34- 36	1.509	-32- 34
538.9	-	542.0	1.471	-33- 35	1.580	-32- 33	1.585	-35- 37	1.607	-34- 36	1.607	-33- 36	1.638	-32- 34
542.0	-	544.1	1.645	-33- 35	1.646	-32- 33	1.653	-35- 37	1.668	-34- 36	1.668	-33- 36	1.698	-32- 34
544.1	-	545.6	99.000	- 0- 0	99.000	- 0- 0	99.000	- 0- 0	99.000	- 0- 0	99.000	- 0- 0	99.000	- 0- 0
545.6	-	547.7	1.601	-33- 35	1.727	-32- 33	1.735	-35- 37	1.773	-33- 36	1.773	-34- 36	1.835	-5- 13
547.7	-	550.7	1.671	-33- 35	1.891	-32- 33	1.818	-35- 37	1.856	-33- 36	1.856	-34- 36	1.889	-5- 13
550.7	-	555.0	1.773	-33- 35	1.930	-32- 33	1.939	-35- 37	1.981	-33- 36	1.981	-34- 36	2.010	-5- 13
555.0	-	561.0	1.933	-33- 35	2.145	-32- 33	2.136	-35- 37	2.198	-5- 13	2.198	-6- 13	2.231	-5- 13
561.0	-	569.6	2.315	-32- 33	2.563	-32- 33	2.577	-35- 37	2.608	-5- 13	2.624	-6- 13	2.663	-4- 13
569.6	-	578.2	3.079	-33- 35	3.420	-32- 33	3.448	-35- 37	3.454	-5- 13	3.477	-6- 13	3.528	-5- 13
578.2	-	584.2	4.575	-33- 35	5.102	-32- 33	5.133	-35- 37	5.145	-5- 13	5.182	-6- 13	5.253	-5- 13
584.2	-	588.5	7.333	-33- 35	8.185	-32- 33	8.227	-5- 13	8.236	-35- 37	8.289	-6- 13	8.402	-5- 13
588.5	-	591.5	13.614	-33- 35	15.109	-32- 33	15.203	-35- 37	15.244					

서지정보양식							
수행기관보고서번호 KAERI/TR-1756/2001	위탁기관보고서번호	표준보고서번호	INIS 주제코드				
제목/부제 순환우라늄 핵연료다발의 ASSERT-PV V2R8M1 코드 입력자료 모형							
연구책임자 및 부서명 (TR, AR인 경우 주저자)	박주환 (핵연료설계기술 개발팀)						
연구자 및 부서명	석호천 (핵연료설계기술 개발팀)						
출판지		발행기관	한국원자력연구소		발행년	2001.2	
페이지	62 p.	도표	있음()	없음()	크기	26 Cm.	
참고사항							
비밀여부	공개()	대외비()	금비밀, 소내만 공개()	보고서종류	Technical Report		
연구위탁기관						계약 번호	
초록 (15-20줄내외)							
<p>본 보고서는 ASSERT-PV V2R8M1 코드를 이용하여 CANDU 용 개량핵연료다발의 하나로 개발되고 있는 CANFLEX-RU (RUFIC) 핵연료다발의 부수로 해석을 수행할 경우 그 적용성 검토 및 해석을 위해 필요한 입력자료 모형 개발 보고서로 작성되었다. 본 ASSERT는 KAERI/AECL의 JRDC 협정에 의해 캐나다 AECL로부터 binary file 형태로 입수되었다.</p> <p>ASSERT 코드는 COBRA-IVi 코드와는 달리 CANDU-6 용 핵연료다발의 부수로 방법에 의한 열수력 해석을 위해 개발되었으며, 43개 핵연료봉을 갖는 CANDU 다발에 적용될 수 있도록 수정되었다. 따라서, ASSERT 코드를 RUFIC 핵연료 채널에 적용하는데 있어서 문제가 없으며, 이에 따라 ASSERT 코드를 순환우라늄 핵연료다발 적용시 요구되는 RUFIC 핵연료의 ASSERT 입력자료 모형을 제시하였다. 또한, ASSERT는 입력자료를 준비할 경우 사용자가 원하는 바에 따라 자신의 모형식을 이용할 수 있도록 되어 있으므로 사용자의 사용 방법에 따라 결과가 상이할 수 있다. 따라서, 본 보고서를 작성하므로써 입력자료의 근거와 사용의 정확성 및 계산 결과에 대한 신뢰성을 얻고자 했이었다.</p>							
주제명키워드 (10단어내외)	ASSERT, CANDU, 부수로 해석, RUFIC						

BIBLIOGRAPHIC INFORMATION SHEET					
Performing Org. Report No.	Sponsoring Org. Report No.	Standard Report No.		INIS Subject Code	
KAERI/TR-1756/2001					
Title/Subtitle	Input Modelling of ASSERT-PV V2R8M1 for RUFIC Fuel Bundle				
Project Manager and Department	Jooewan Park, Fuel Design Technology Development Team				
Researcher and Department	Hochun Suk, Fuel Design Technology Development Team				
Publication Place		Publisher	KAERI		Publication Date
Page	62 p.	Ill. & Tab.	Yes(<input checked="" type="checkbox"/>), No (<input type="checkbox"/>)		Size
Note					
Classified	Open(<input checked="" type="checkbox"/>), Restricted(<input type="checkbox"/>), Class Document, Internal Only (<input type="checkbox"/>)			Report Type	Technical Report
Sponsoring Org.				Contract No.	
Abstract (15-20 Lines)					
Subject Keywords (About 10 words)	ASSERT, CANDU, Subchannel Analysis, RUFIC				